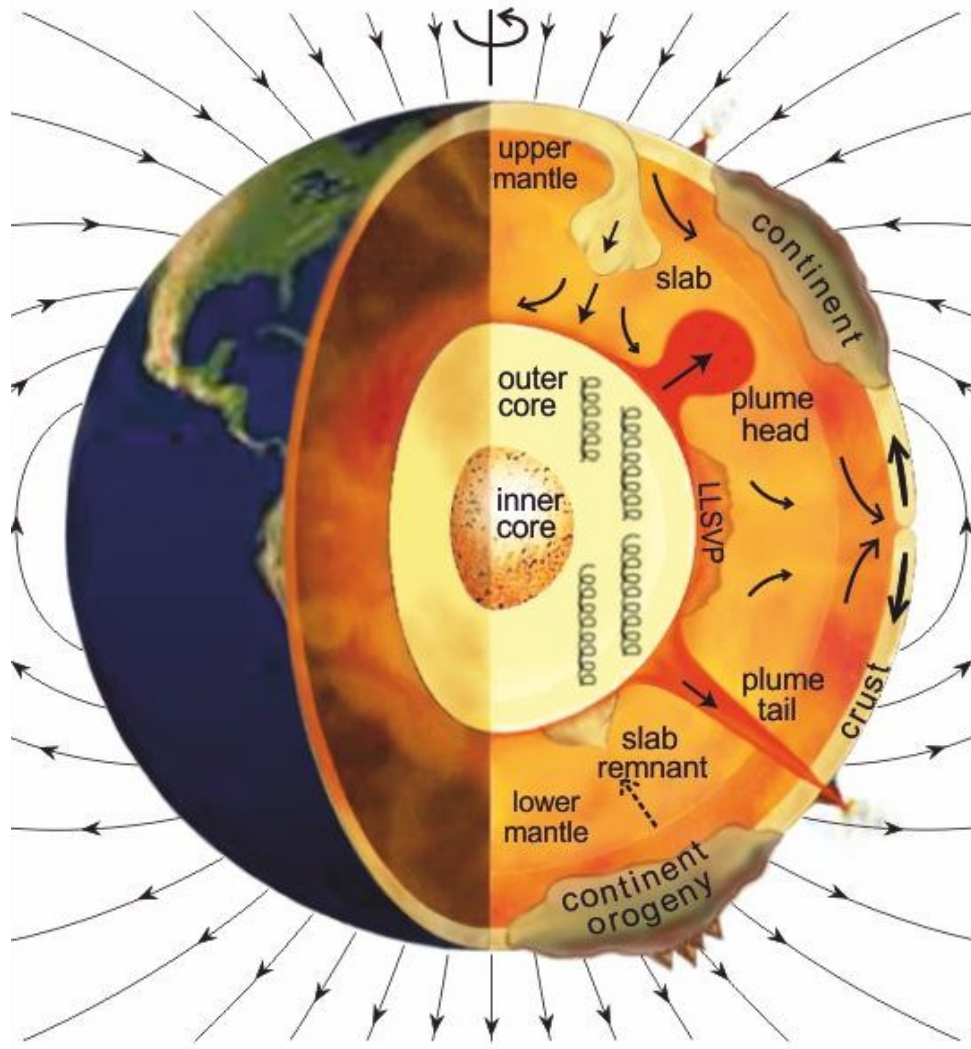


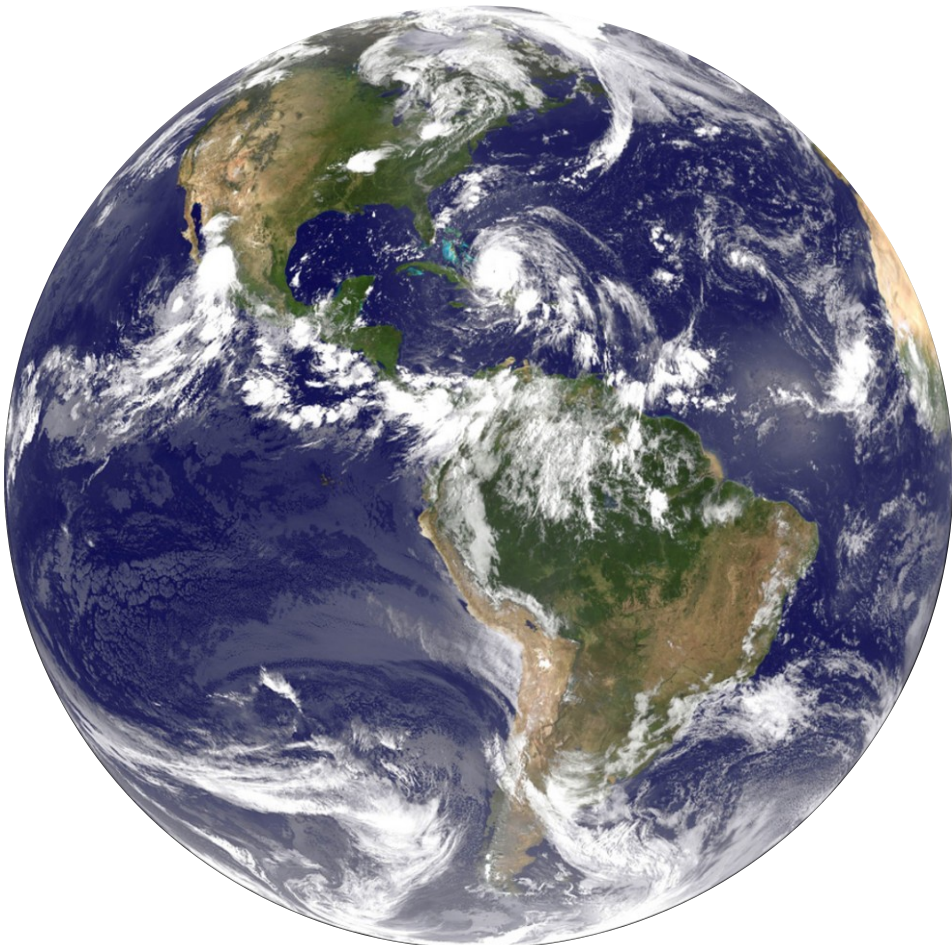
# 5. Interior e Magnetosferas



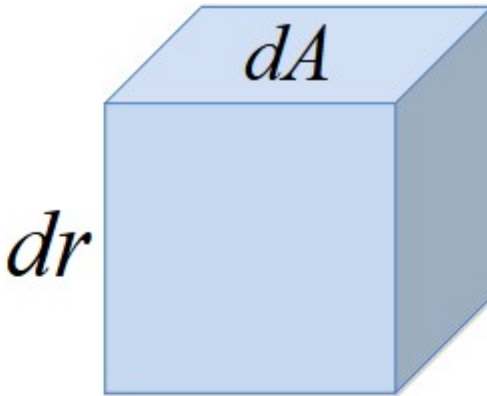
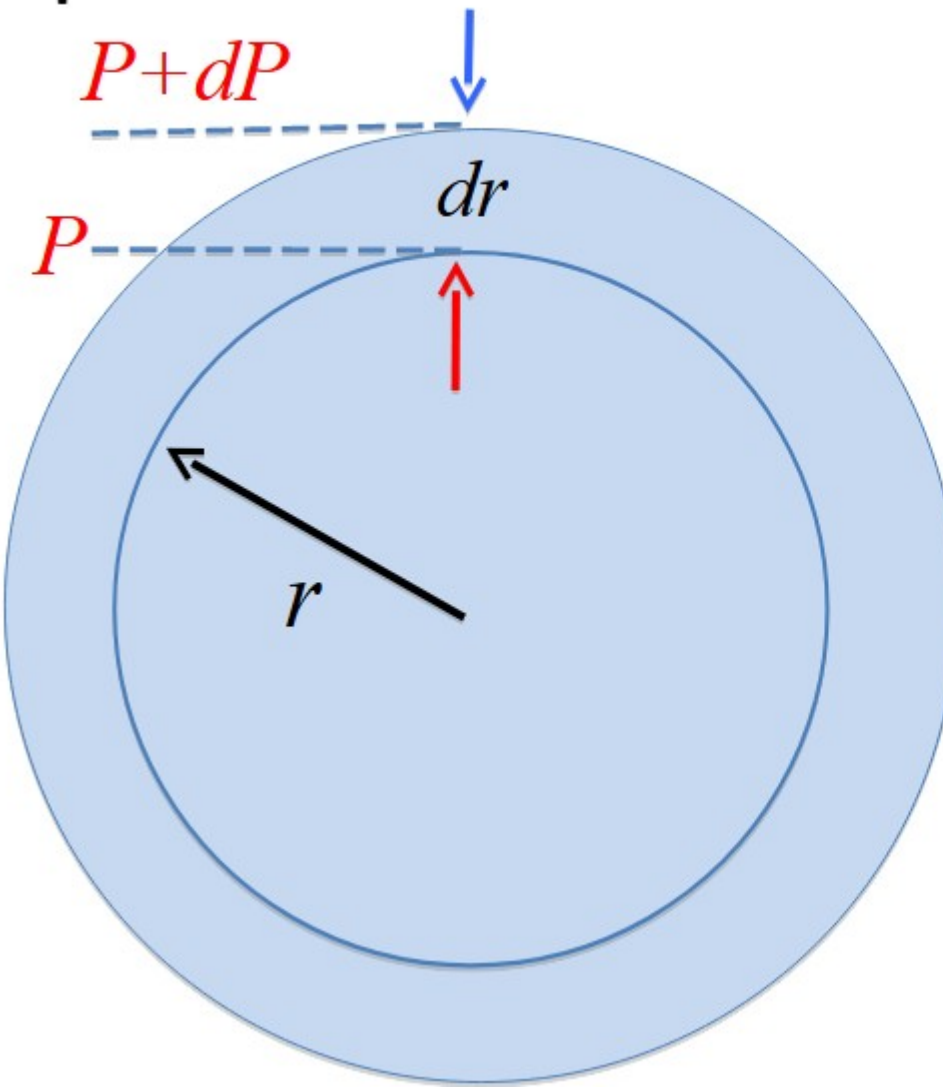
(c) Kay Lancaster, University of Liverpool

Para estudar o interior dos planetas, precisamos de diversas equações básicas, como por ex. a **equação de equilíbrio hidrostático**, que descreve a variação da pressão  $P$  com o raio  $r$ :

$$dP/dr = -\rho g$$



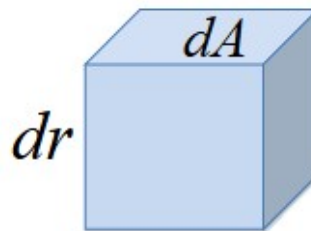
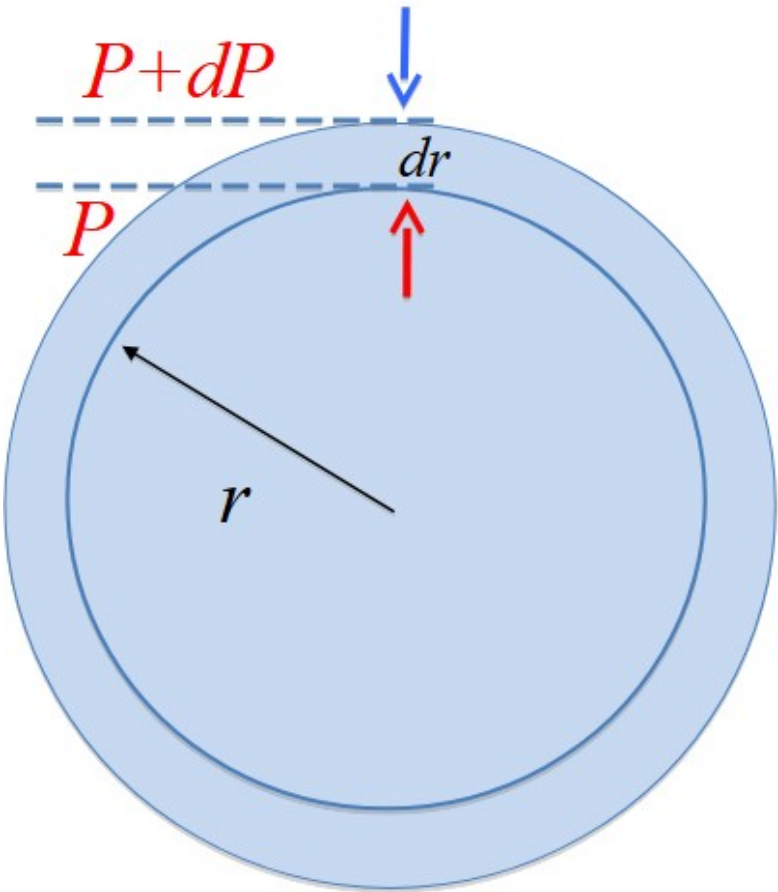
# Equilíbrio hidrostático



$$dV = dA \ dr$$

$$dM = \rho \ dV$$

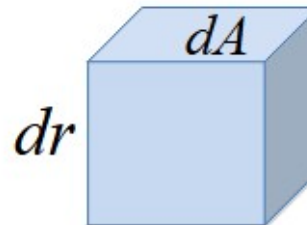
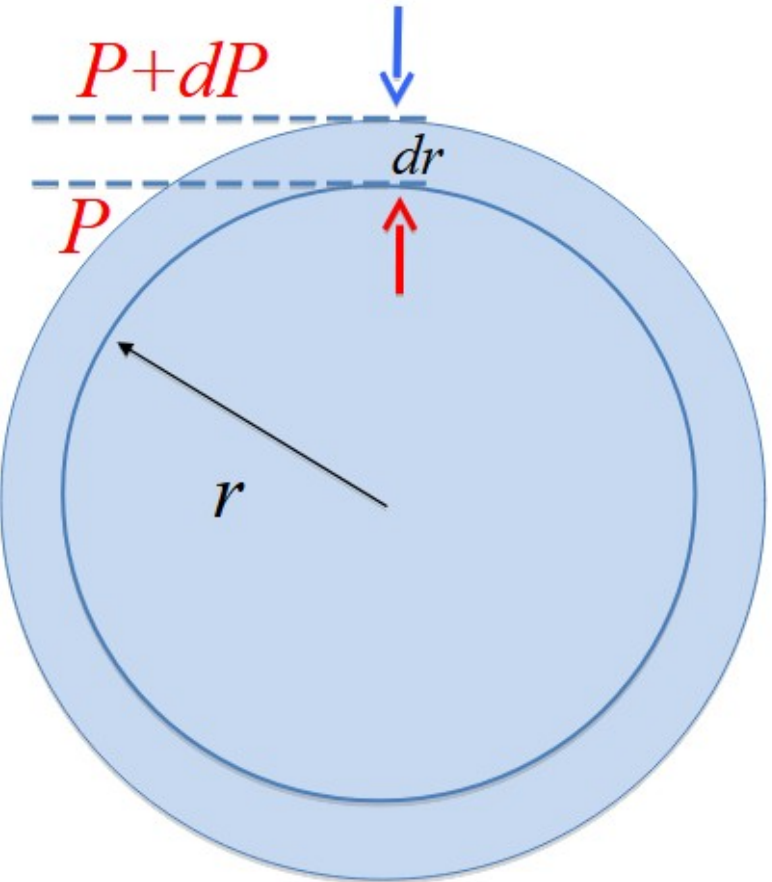
# Equilíbrio hidrostático



$$dV = dA \ dr$$
$$dM = \rho \ dV$$

$$F_{\text{grav}} = -dM \times g = -\rho \ dV \ g$$

# Equilíbrio hidrostático

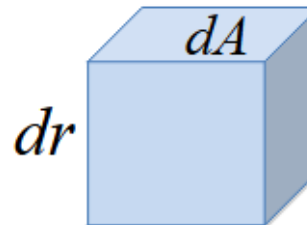
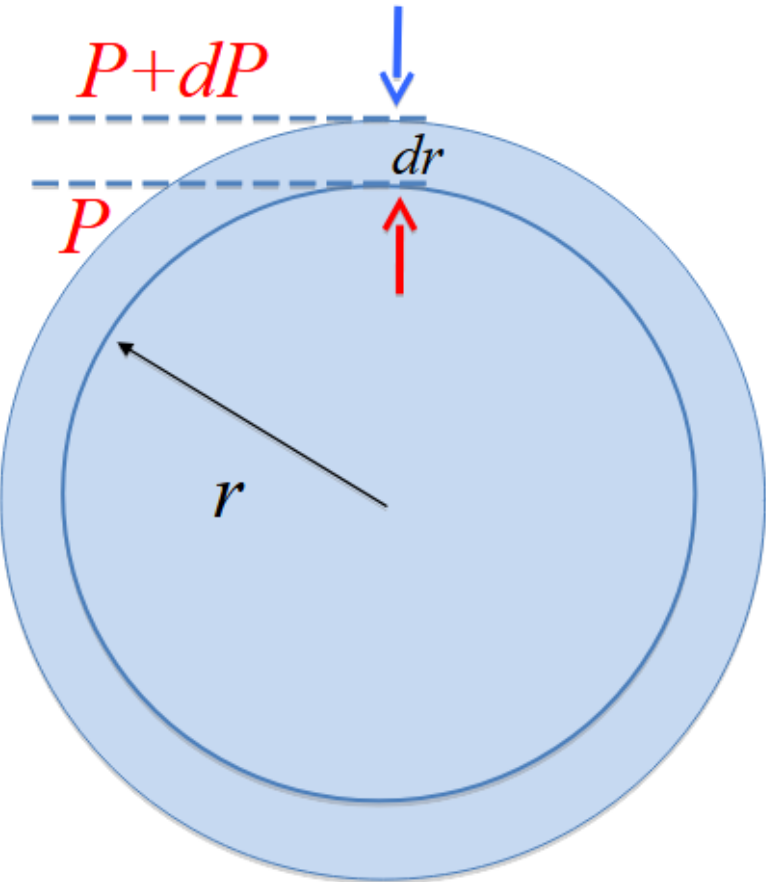


$$dV = dA \ dr$$
$$dM = \rho \ dV$$

$$F_{\text{grav}} = -dM \times g = -\rho \ dV \ g$$

$$F_{\text{pressão}} = dP \times dA = dP \ dV/dr$$

# Equilíbrio hidrostático



$$dV = dA \ dr$$
$$dM = \rho \ dV$$

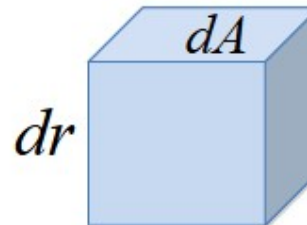
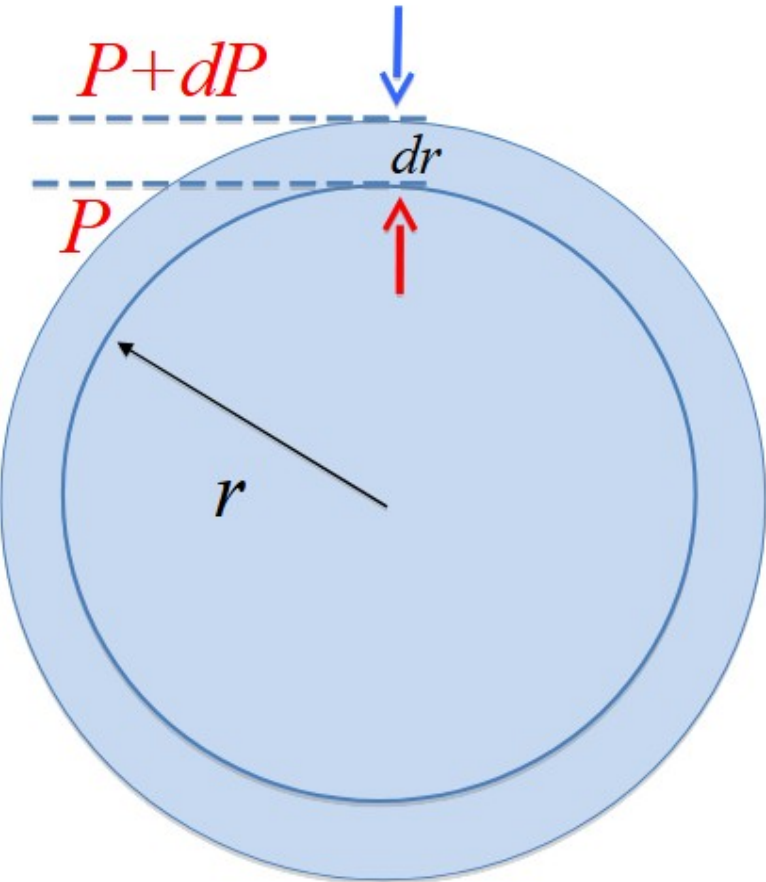
$$F_{\text{grav}} = -dM \times g = -\rho \ dV \ g$$

$$F_{\text{pressão}} = dP \times dA = dP \ dV/dr$$

$$\rightarrow dP \ dV/dr = -\rho \ dV \ g$$

$$dP/dr = -\rho \ g$$

# Equilíbrio hidrostático



$$dV = dA \ dr$$
$$dM = \rho dV$$

$$dP/dr = -\rho g$$

$$g \equiv GM_r/r^2$$

$$\frac{dP}{dr} = -G \frac{M_r \rho}{r^2}$$

Definição de planeta (União Astronômica Internacional, 2006):

- (a) está em órbita ao redor do Sol
- (b) tem massa suficiente para sua gravidade superar forças rígidas do corpo, de modo que ele assume um equilíbrio hidrostático (quase redondo) e
- (c) limpou a vizinhança em torno de sua órbita.





$$\text{Dens. média: } \rho_m = M/V$$

$$V = (4/3)\pi R^3$$

Características		Terrestres rocha/metal	Gigantes gás/gelo/rocha
Characteristic		Terrestrial	Giant
Basic form		Rock	Gas/Ice/Rock
Mean orbital distance (AU)		0.39–1.52	5.2–30.0
Mean “surface” temperature (K)		215–733	70–165
Mass ( $M_\oplus$ )		0.055–1.0	14.5–318
Equatorial radius ( $R_\oplus$ )		0.38–1.0	3.88–11.2
Mean density ( $\text{kg m}^{-3}$ )		3933–5515	687–1638
Sidereal rotation period (equator)	23.9 h–243 d	9.9 h–17.2 h	
Number of known moons	0–2		<del>13</del> 63 14 - 82
Ring systems	no		yes
			Net - Sat

**TABLE 19.1** General Characteristics of the Planets. The range of values for some features of the terrestrial and giant planets ( $M_\oplus$  and  $R_\oplus$  represent the mass and radius of Earth, respectively).

Table 3.1. Physical properties of the planets (Beatty et al., 1999; Hartmann, 2005; Hester et al., 2002)

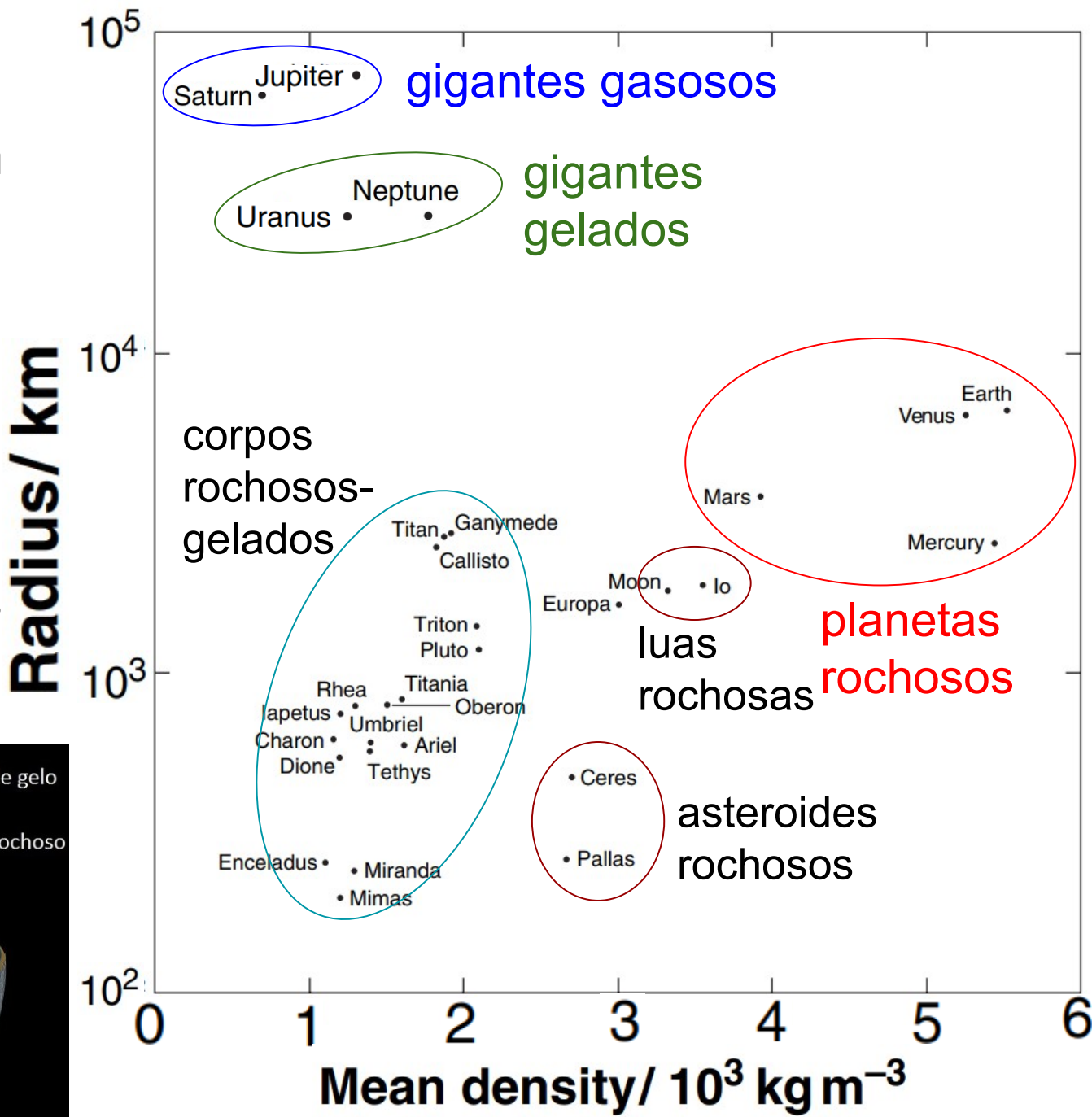
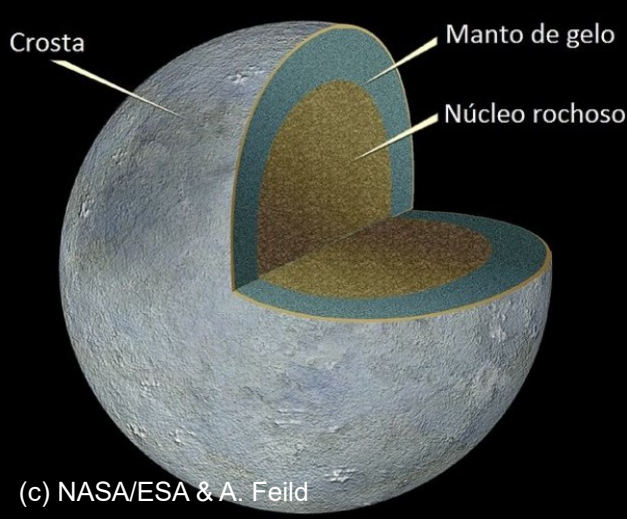
Planet	Distance from Sun, AU	Radius, km	Mass, $10^{24}$ kg	Density, g/cm <sup>3</sup>	Average surface temperature, °C
Sun	—	695,510	1,989,000	1.410	+5507
Mercury	0.3871	2440	0.3302	5.43	+167 (-173 to +452)
Venus	0.7233	6052	4.865	5.20	+464
Earth <small>planetas rochosos</small>	1.0000	6378	5.974	5.52	+15 (-90 to +58)
Mars	1.5237	3396	0.6419	3.91	-33 (-140 to +20)
Ceres	2.768	457	0.0012	2.3	
Jupiter <small>gigantes</small>	5.2026	71,492	1898	1.33	-123 to -153
Saturn <small>gasosos</small>	9.5549	60,268	568.5	0.69	-113 to -153
Uranus <small>gigantes gelados</small>	19.2184	25,559	86.83	1.318	-195*
Neptune	30.1100	24,766	102.4	1.638	-204*
Pluto	39.5447	1150	0.0132	2.0	-236
Lua	1737	0.073	3.34		

\* Temperature where the atmospheric pressure is 1.0 bar. Pluto and Ceres are included in this table even though they are dwarf planets.

Raio vs.  
densidade média  
de planetas e  
outros corpos do  
sistema solar.

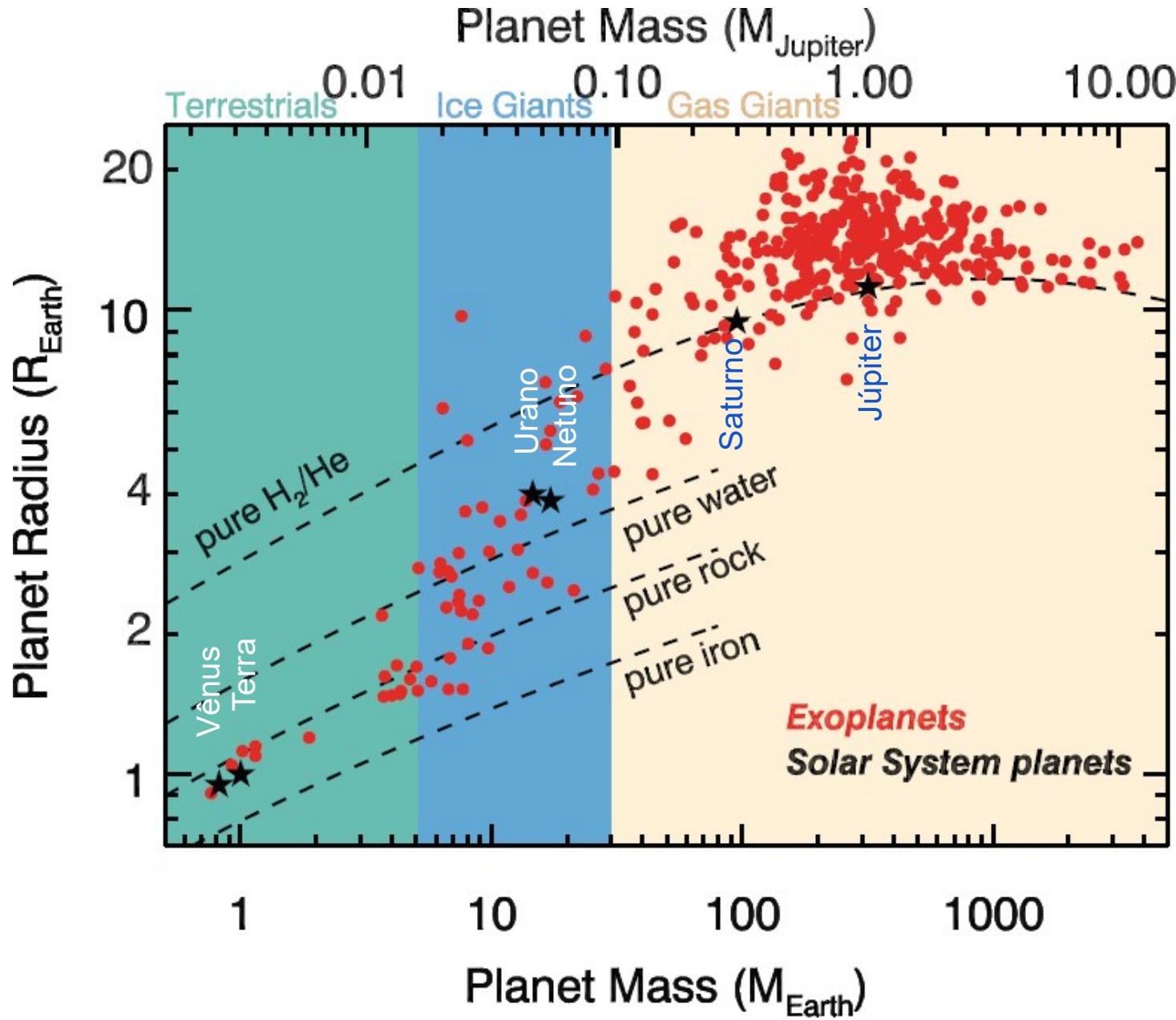
Observamos 3  
tipos de planetas

Ceres

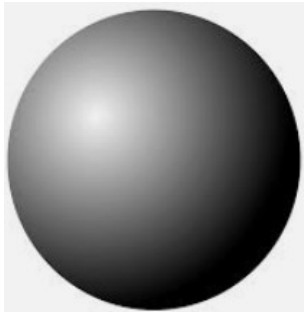


## 3 tipos de planetas:

- rochosos
- gigantes gelados
- gigantes gasosos



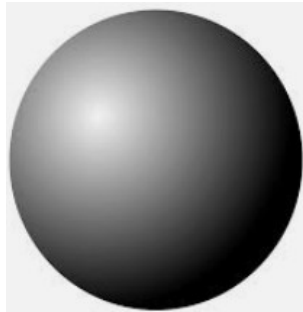
# Estudando em mais detalhe o interior de planetas.



Gravidade por um corpo  
perfeitamente esférico:

$$g = GM/r^2$$

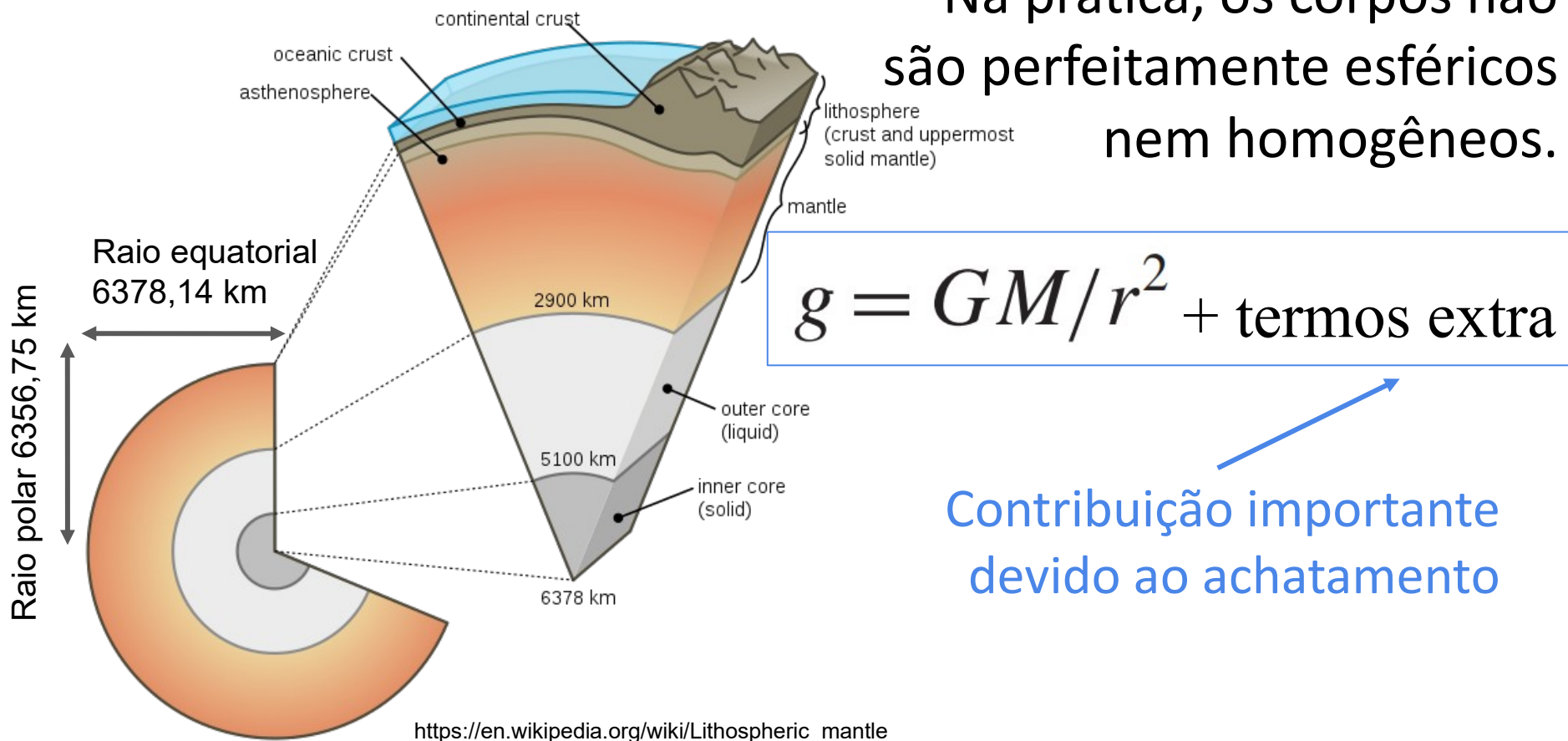
# Estudando em mais detalhe o interior de planetas.



Gravidade por um corpo perfeitamente esférico:

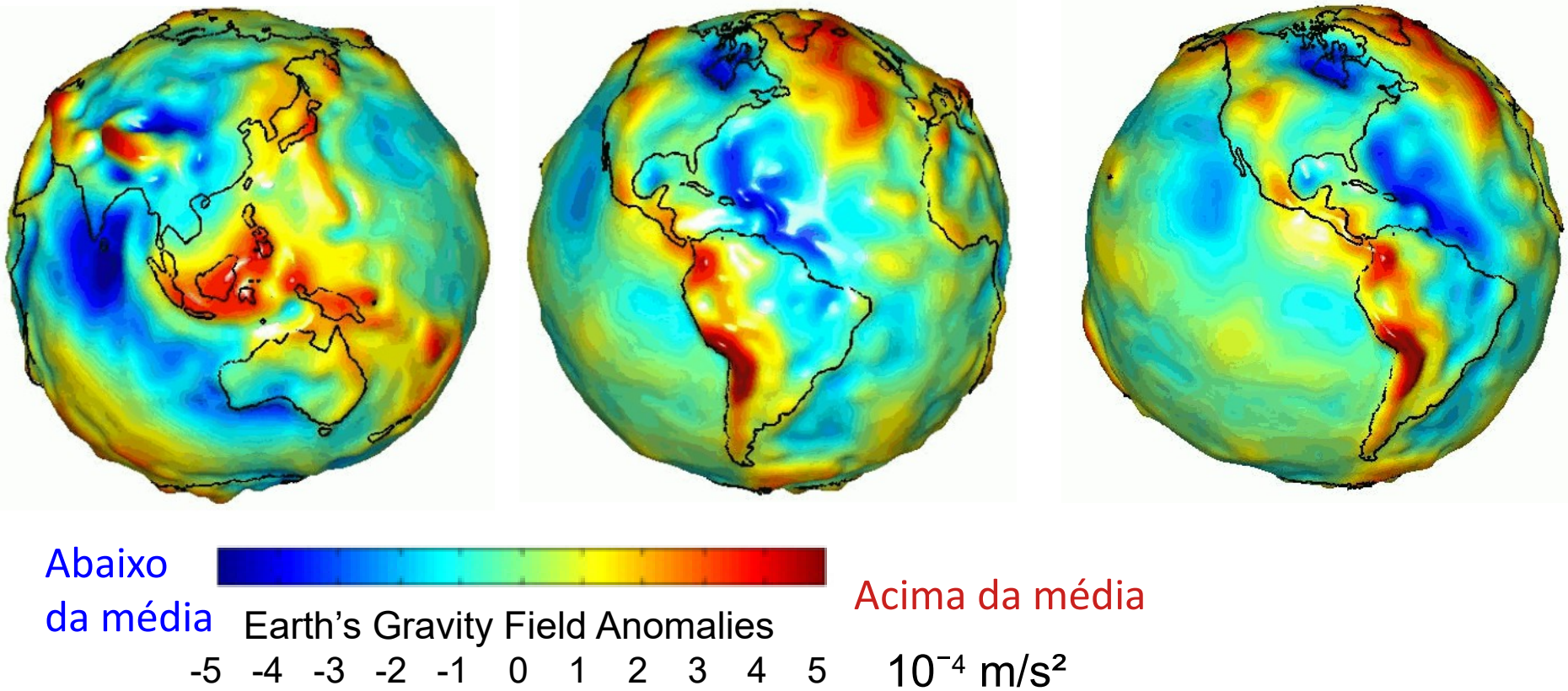
$$g = GM/r^2$$

Na prática, os corpos não são perfeitamente esféricos nem homogêneos.



Estudando em mais detalhe o interior de planetas.

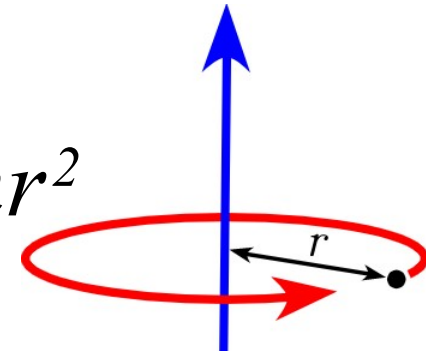
**Anomalias do campo gravitacional da Terra**, em relação à gravidade de uma Terra idealizada (lisa). Esses dados são importantes para estudar a distribuição de massa no planeta.



**Momento de Inércia**  $I$  é o equivalente rotacional de massa, e expressa o grau de dificuldade em alterar o movimento de um corpo em rotação.

Para uma partícula de massa  $m$  a uma distância  $r$  do eixo de rotação:

$$I = mr^2$$



Para um sistema de  $N$  partículas:

$$I = \sum_{i=1}^N m_i r_i^2$$

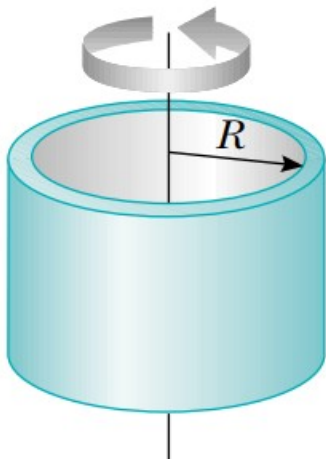
No geral, podemos obter  $I$  integrando:

$$I = \int r^2 dm.$$

Partícula a distância  $r$  do eixo de rotação  $I = mr^2$

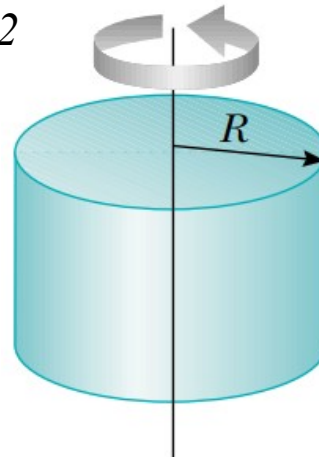
$$I = mR^2$$

Casca  
cilíndrica  
fina



$$I = \frac{1}{2} mR^2$$

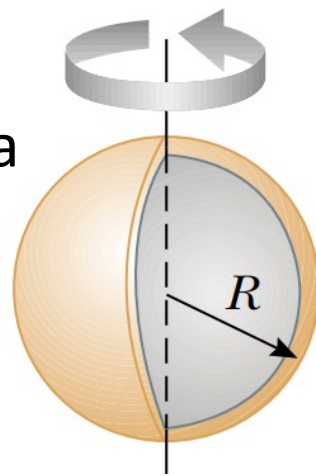
Cilindro  
sólido



$$I = CmR^2$$

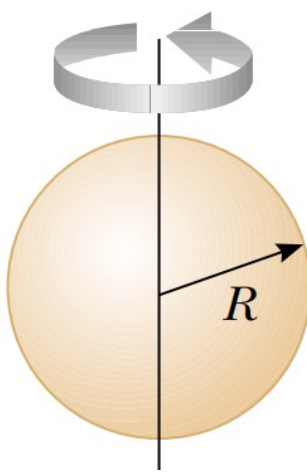
$$I = \frac{2}{3} mR^2$$

Esfera  
oca



$$I = \frac{2}{5} mR^2$$

Esfera  
sólida

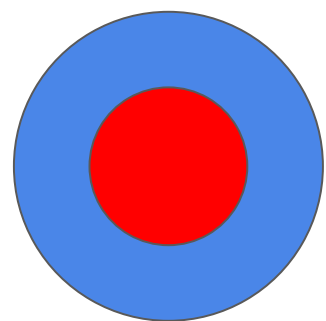


$$I = 0,67 mR^2$$

$$I = 0,40 mR^2$$

$$I = \frac{2}{6} mR^2$$

Esfera com  
núcleo: raio  $R/2$   
casca  $\Delta r = R/2$   
 $\rho_{\text{núcleo}} = 3\rho_{\text{casca}}$



$$I = 0,33 mR^2$$

*The moment-of-inertia factors of some planets and the Moon.*

$$I = C m R^2$$

---

Body	<b>C</b>
------	----------

---

Mercury 0.33

Venus 0.33

Earth 0.331

Moon 0.392

Mars 0.366

Jupiter 0.254

Saturn 0.210

Uranus 0.225

---

Neptune 0.29

Io 0.38

Europa 0.35

Ganymede 0.31

Callisto 0.36

Planetary Science (Topic S). Cole & Woolfson, 2002

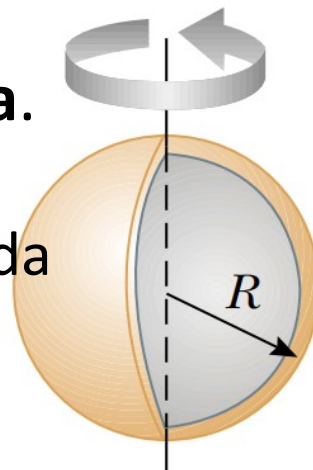
© Barrie Jones,  
Discovering the Solar System

$$I = \frac{2}{3} m R^2$$

$$I = 0,67 m R^2$$

$$I = \frac{2}{5} m R^2$$

$$I = 0,40 m R^2$$

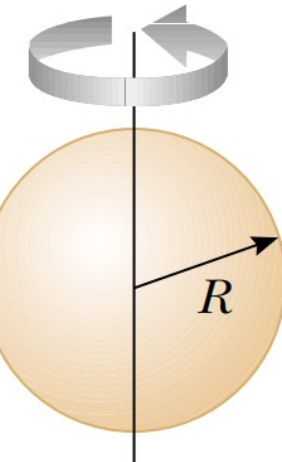


**Esfera oca.**

Massa  
concentrada  
próxima à  
superfície

**Esfera sólida.**

Massa  
distribuída  
homogeneamente



**Massa  
concentrada  
no interior**

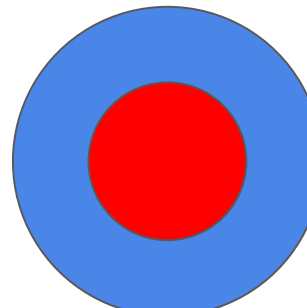
**Núcleo: raio  $R/2$**

**casca  $\Delta r = R/2$**

$\rho_{\text{núcleo}} = 3\rho_{\text{casca}}$

$$I = \frac{2}{6} m R^2$$

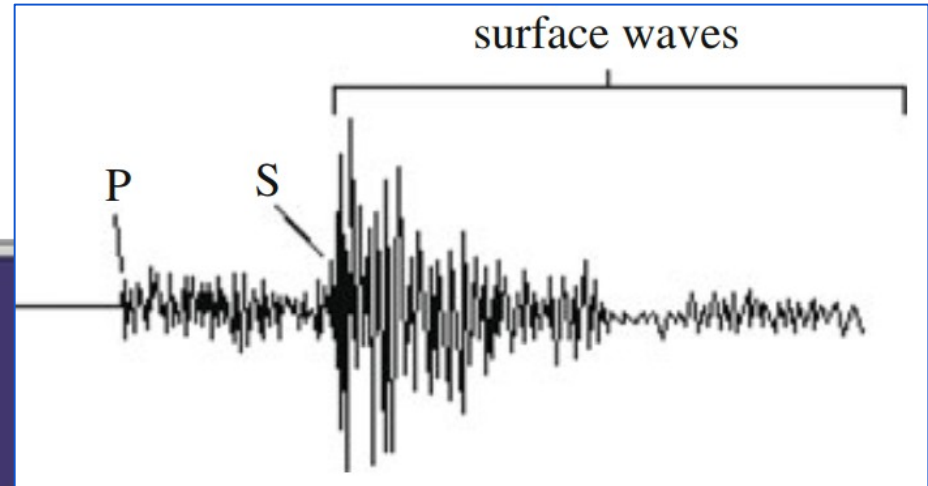
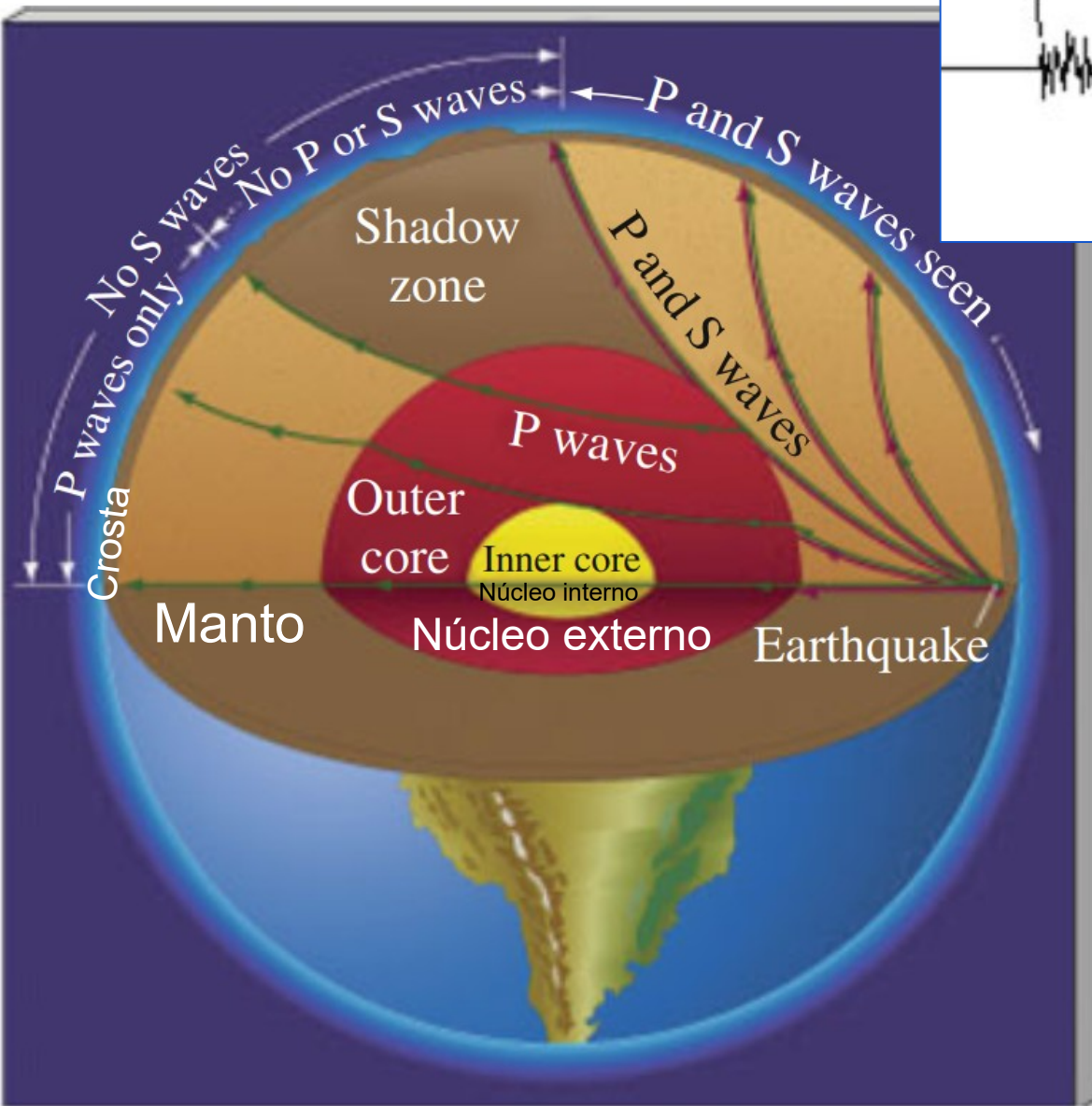
$$I = 0,33 m R^2$$



**Massa  
concentrada  
no centro**

$$I \sim 0$$

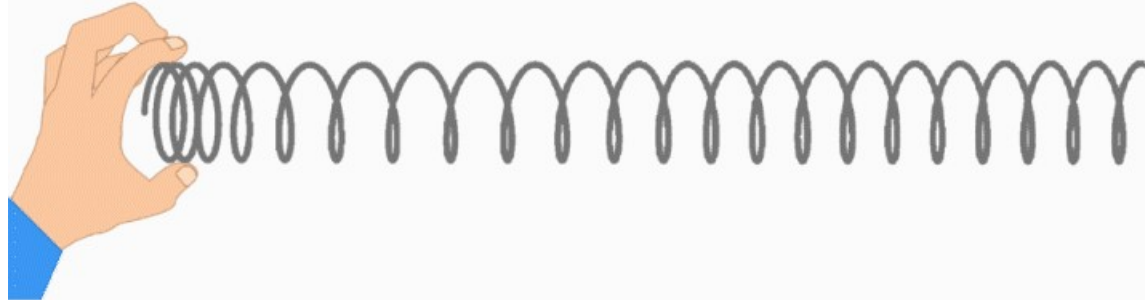
# Sismologia



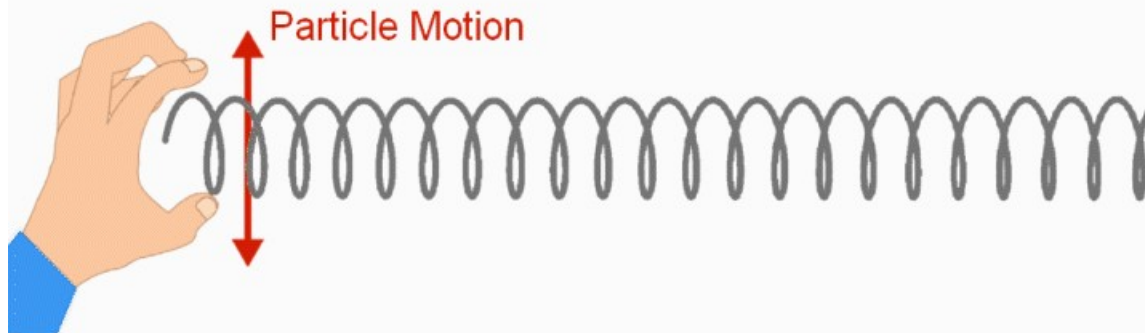
Ondas sísmicas fornecem vínculos importantes para o interior planetário.

**P** (primárias), mais rápidas  
**S** (secundárias), mais lentas

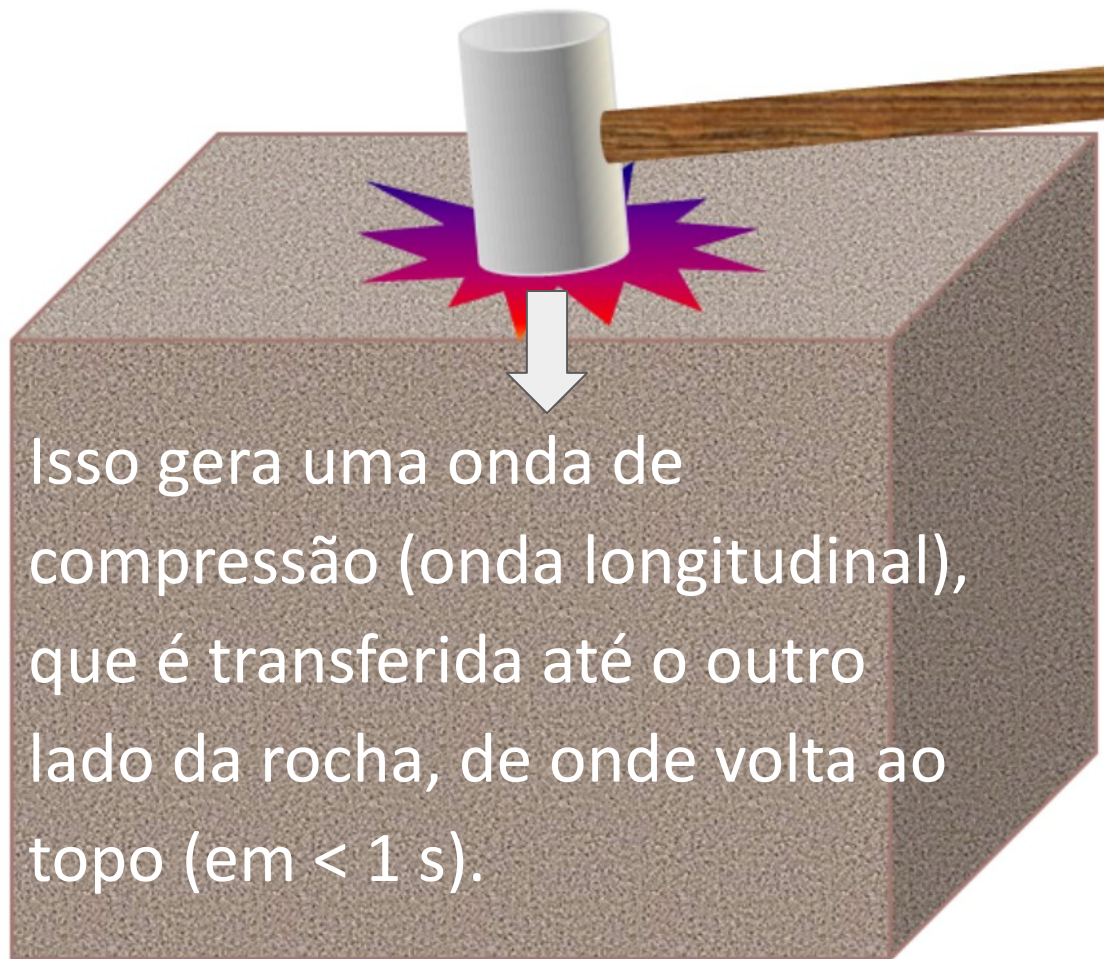
Ondas longitudinais (p.ex., ondas sísmicas de tipo P) são paralelas à direção de propagação



Ondas transversais (p.ex., ondas sísmicas de tipo S) são perpendiculares à direção de propagação



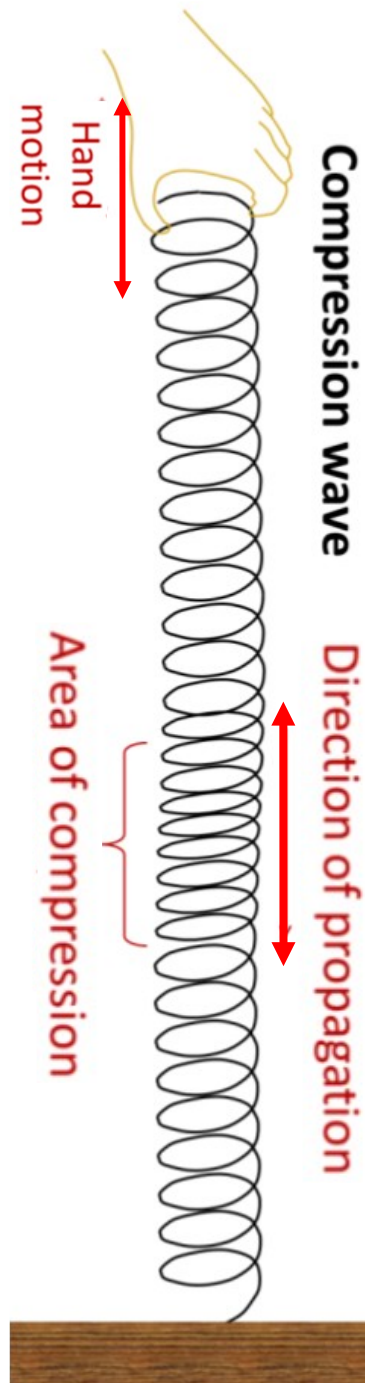
Ao bater uma rocha forte (p.ex. granito) com uma marreta, uma pequena parte será comprimida (< 1mm)



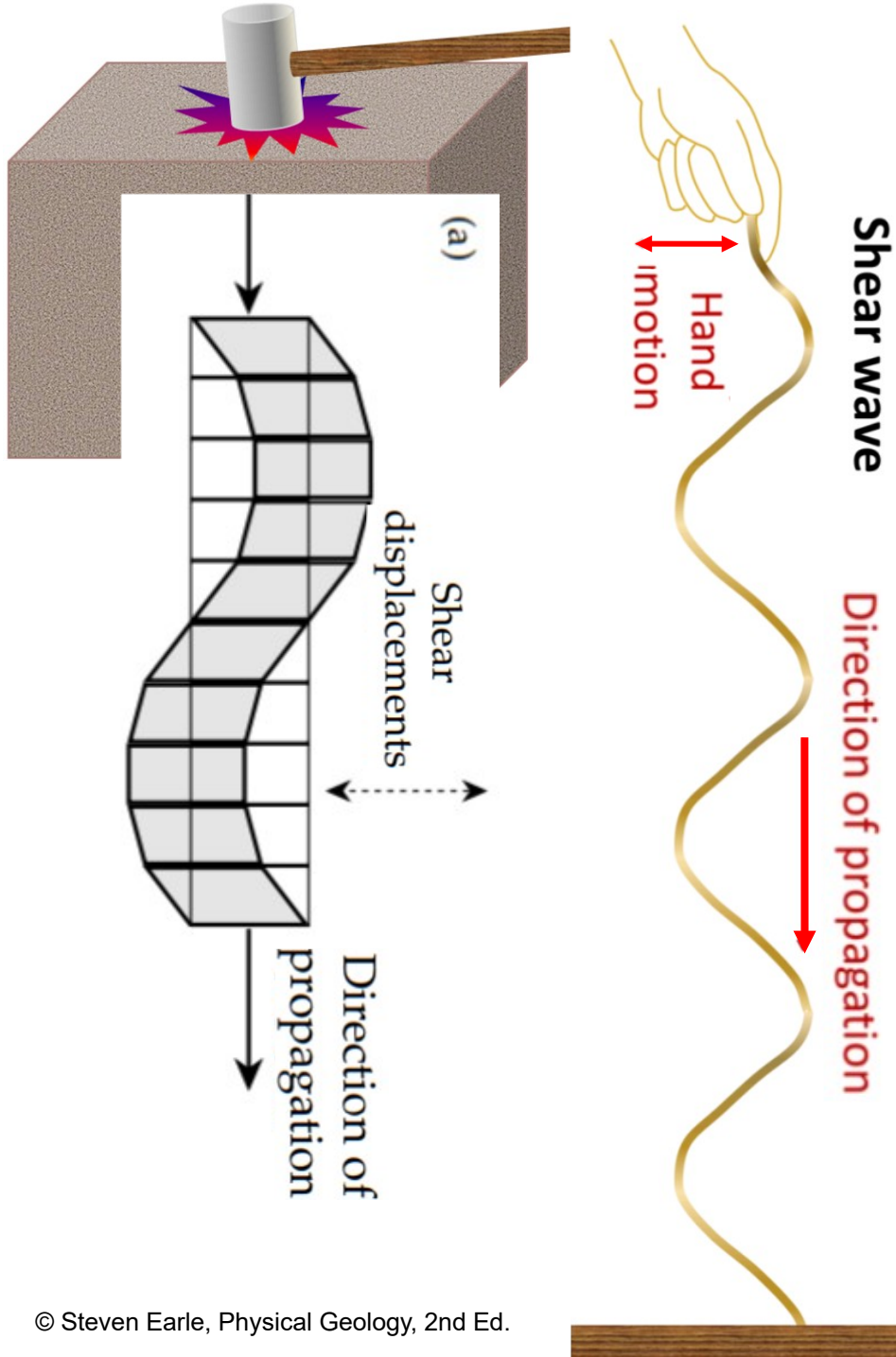
Isso gera uma onda de compressão (onda longitudinal), que é transferida até o outro lado da rocha, de onde volta ao topo (em < 1 s).

Ondas longitudinais são paralelas à direção de propagação.

Exemplo:  
ondas sísmicas  
de tipo P



*Figure 9.3 Hitting a large block of rock with a heavy hammer will create seismic waves within the rock. Please don't try this at home!*



Ao bater a rocha com a marreta, também são criadas ondas transversais, que têm vibrações perpendiculares à direção de propagação.

Exemplo:  
ondas sísmicas de tipo S

# Propagação de ondas sísmicas no interior da Terra.

As ondas S não viajam através do núcleo externo líquido → sombra no outro lado da Terra. As ondas P atravessam o núcleo, mas como as ondas que entram no núcleo são refratadas, também existem zonas de sombra das ondas P

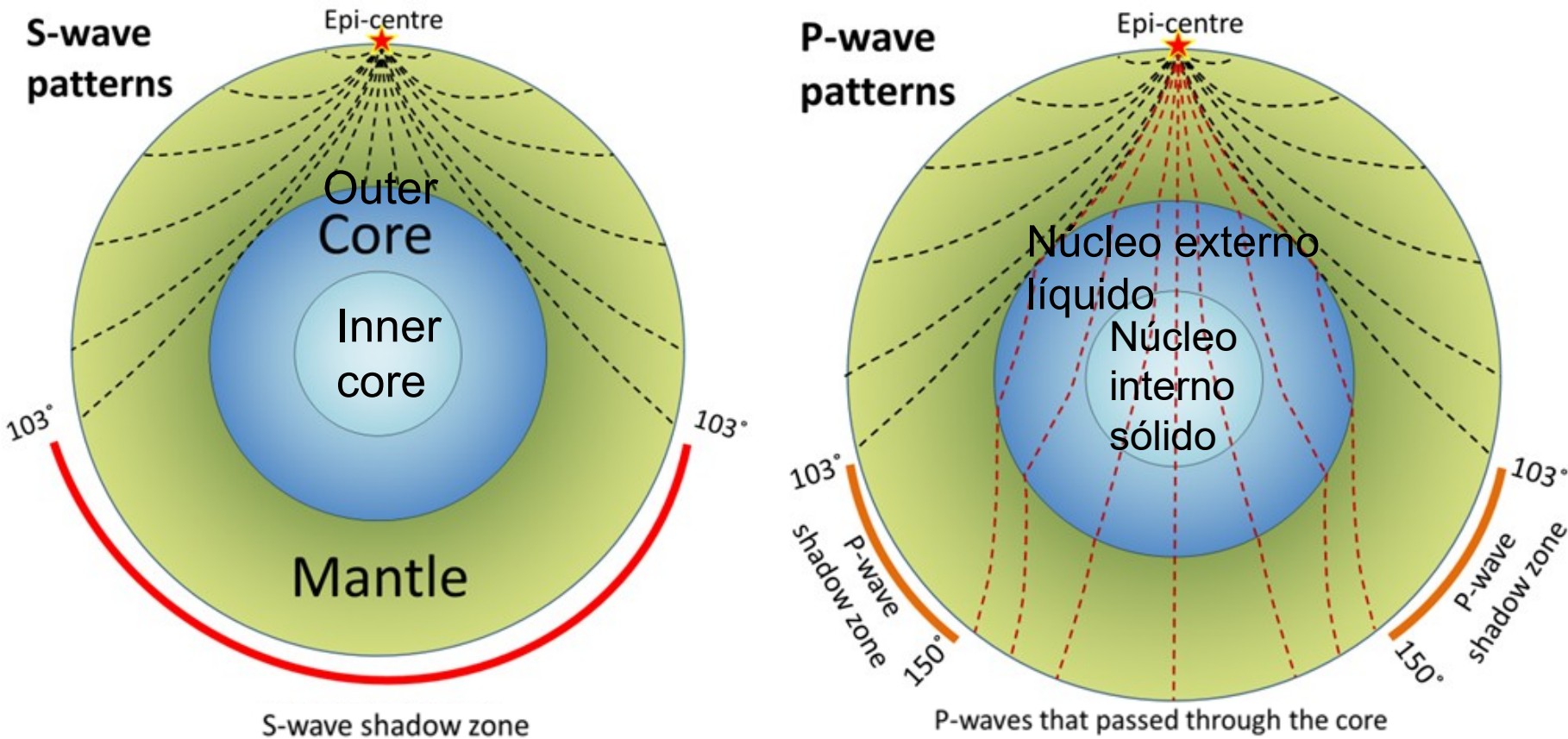
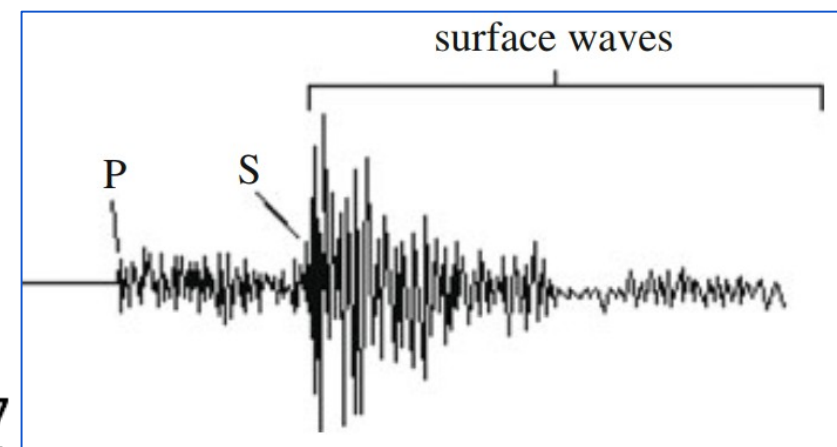
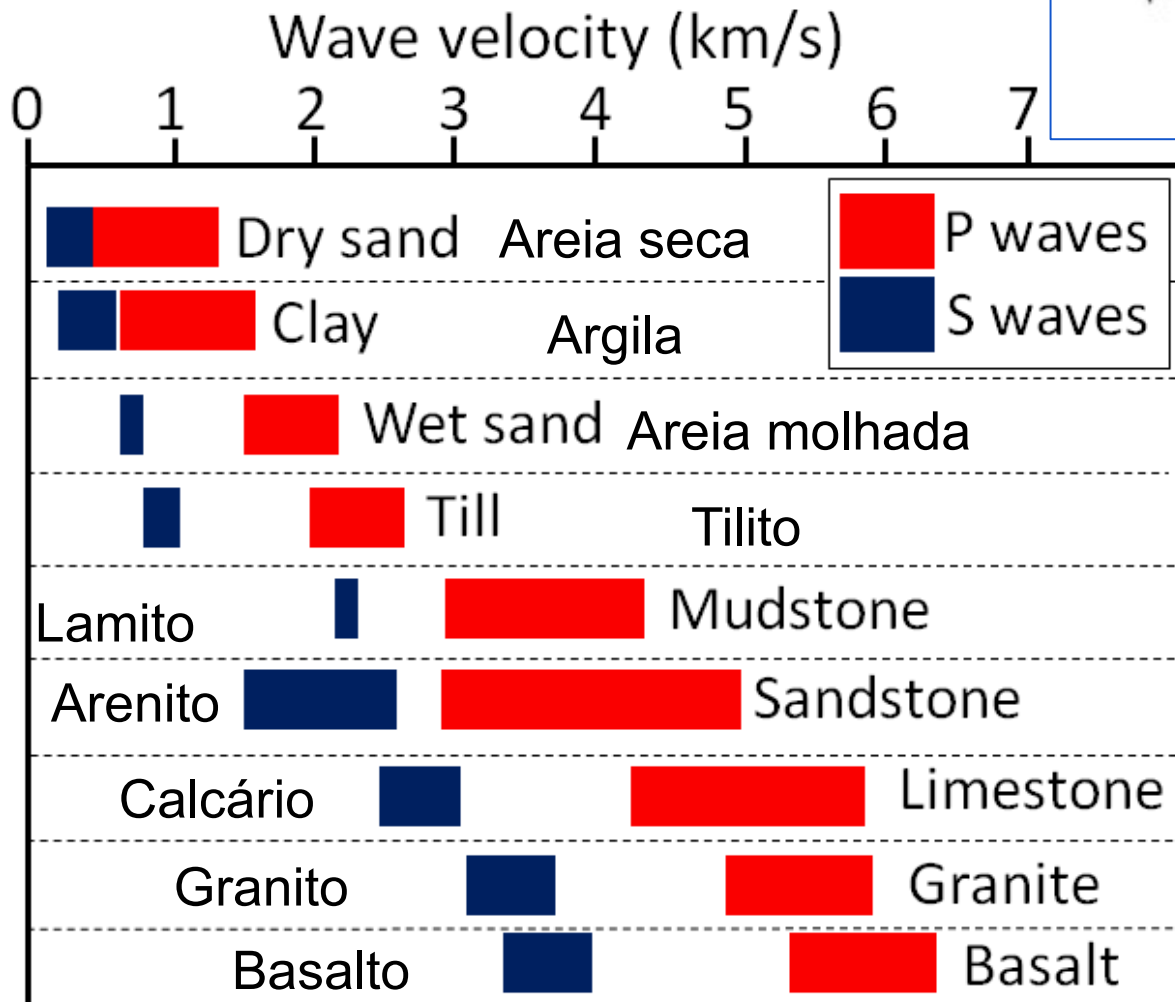


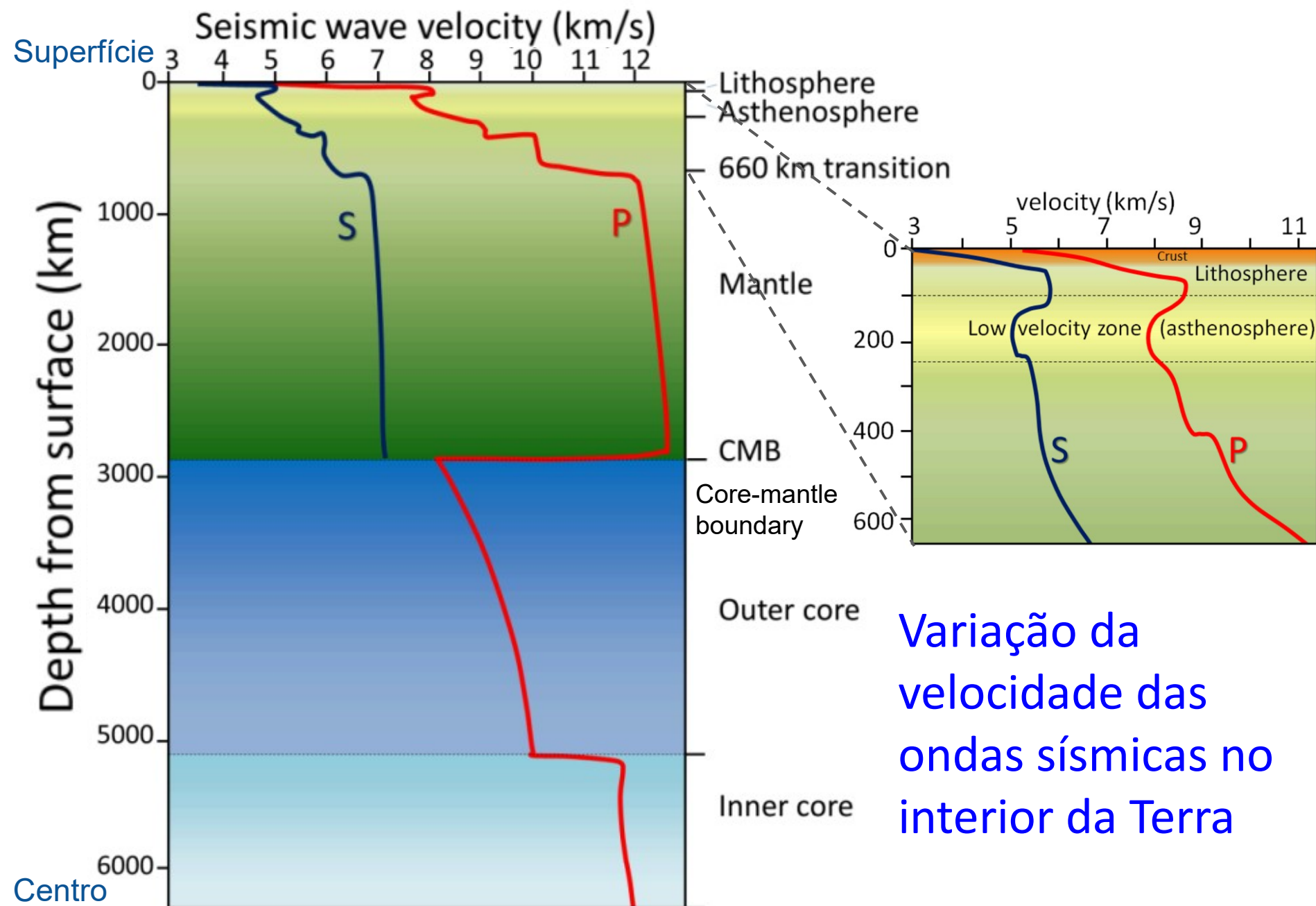
Fig 9.8 Patterns of seismic wave propagation through Earth's mantle and core. S-waves do not travel through the liquid outer core, so they leave a shadow on Earth's far side. P-waves do travel through the core, but because the waves that enter the core are refracted, there are also P-wave shadow zones.

As ondas de **tipo P** são mais rápidas que as de **tipo S**



Ambas ondas são mais rápidas em rochas sólidas

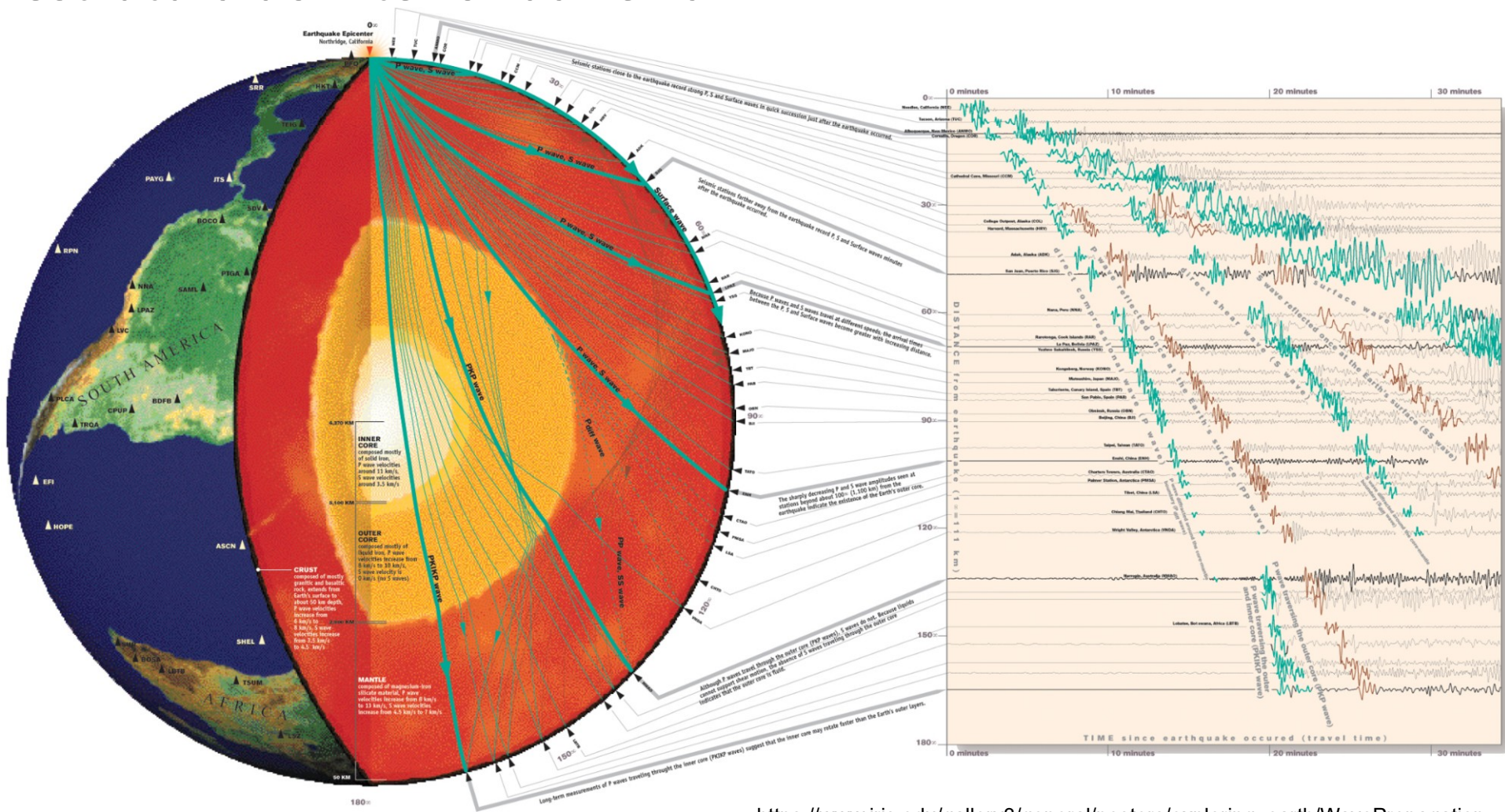
Figure 9.5 Typical velocities of P-waves (red) and S-waves (blue) in sediments and in solid crustal rocks [SE after: US Env. Prot. Agency]



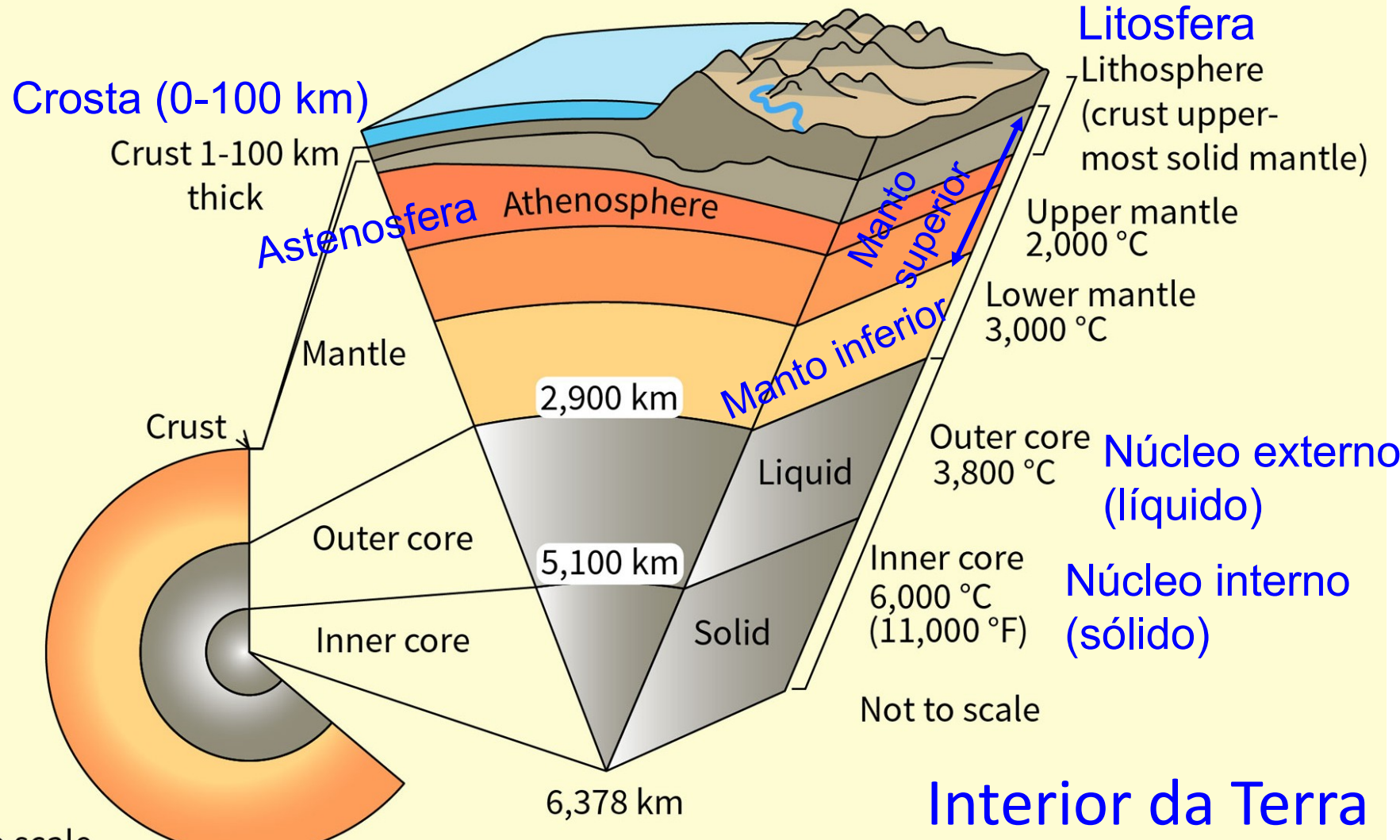
Variação da velocidade das ondas sísmicas no interior da Terra

Figure 9.6a P-wave and S-wave velocity variations with depth in Earth. [SE]

A partir da observação de ondas sísmicas registradas em diferentes sismógrafos, é determinada uma distribuição de velocidade, e com a ajuda de modelos é possível determinar a estrutura do interior da Terra



**Litosfera:** rocha rígida. **Astenosfera:** camada mais plástica. **Manto:** camada mais viscosa. **Núcleo externo** é líquido e **interno** é sólido



Adapted from the USGS

NOTA: maior viscosidade → maior resistência

## Crosta

0-100 km  
(silicatos)

oceânica: Crust  
basalto, (bimodal in  
contin.: composition  
granito approximated  
by basalt and  
granite)

## Manto

100-2900 km  
(silicatos)

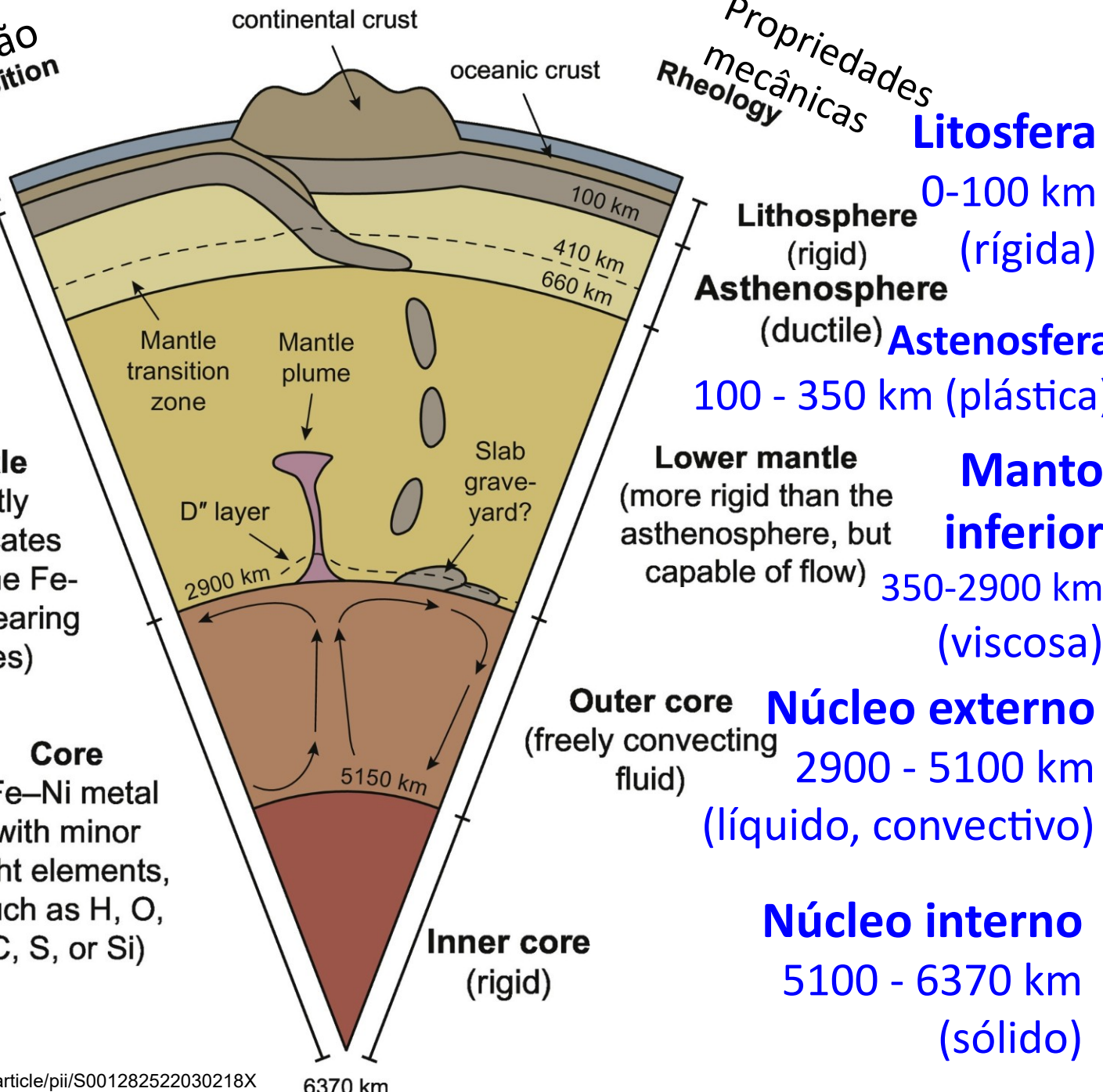
Mantle  
(mostly  
Mg-silicates  
with some Fe-  
and Al-bearing  
phases)

## Núcleo

2900-6370 km  
(ferro, nickel)

Core  
(Fe–Ni metal  
with minor  
light elements,  
such as H, O,  
C, S, or Si)

## Composição Composition



Propriedades  
mecânicas  
Rheology

## Litosfera

0-100 km  
(rígida)

Lithosphere  
(rigid)  
Asthenosphere  
(ductile)

Astenosfera  
100 - 350 km (plástica)

## Manto inferior

350-2900 km  
(viscosa)

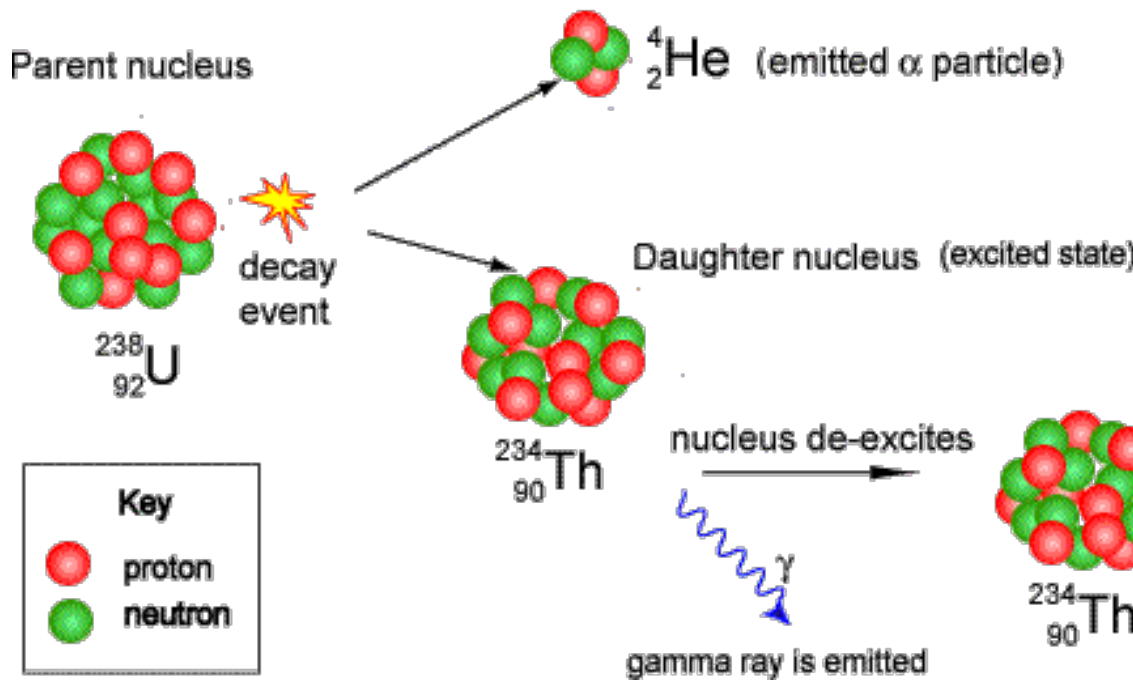
## Núcleo externo

2900 - 5100 km  
(líquido, convectivo)

## Núcleo interno

5100 - 6370 km  
(sólido)

## Alpha Decay of a Uranium-238 nucleus

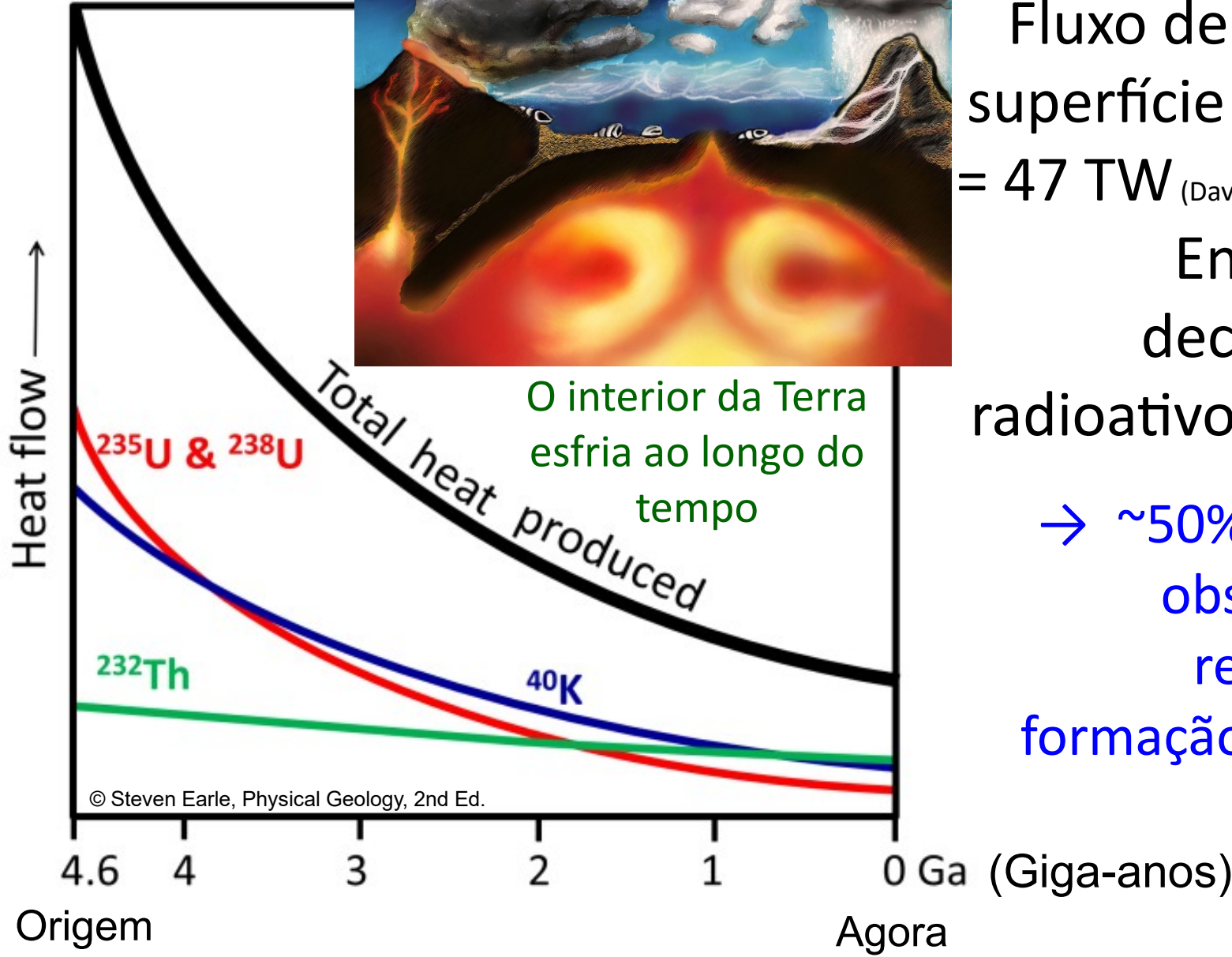


O decaimento radioativo é uma importante fonte de energia no interior da Terra

**Table 4.4** Radioactive isotopes that are important energy sources

Isotope	$^{26}\text{Al}$	$^{235}\text{U}$	$^{40}\text{K}$	$^{238}\text{U}$	$^{232}\text{Th}$
Half-life/ Ma	0.73	710	1300	4500	13 900
Power <sup>a</sup> /10 <sup>-12</sup> Wkg <sup>-1</sup>	$10^4$	3	30	2	1

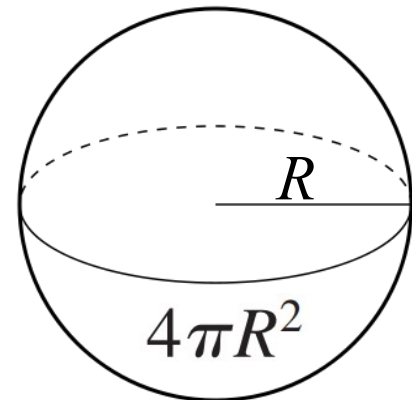
<sup>a</sup> This is per kg of ‘typical’ rocky material 4600 Ma ago. The values are only illustrative.



Fluxo de calor na superfície da Terra = 47 TW (Davies & Davies 2010)

Energia do decaimento radioativo ~24 TW  
(Die 2012)  
→ ~50% do calor observado é residual da formação da Terra

**Resfriamento de planetas.** Considerando planetas com fontes de energia e coeficientes de transferência de calor similares, planetas menores perdem sua energia mais rapidamente do que planetas maiores.

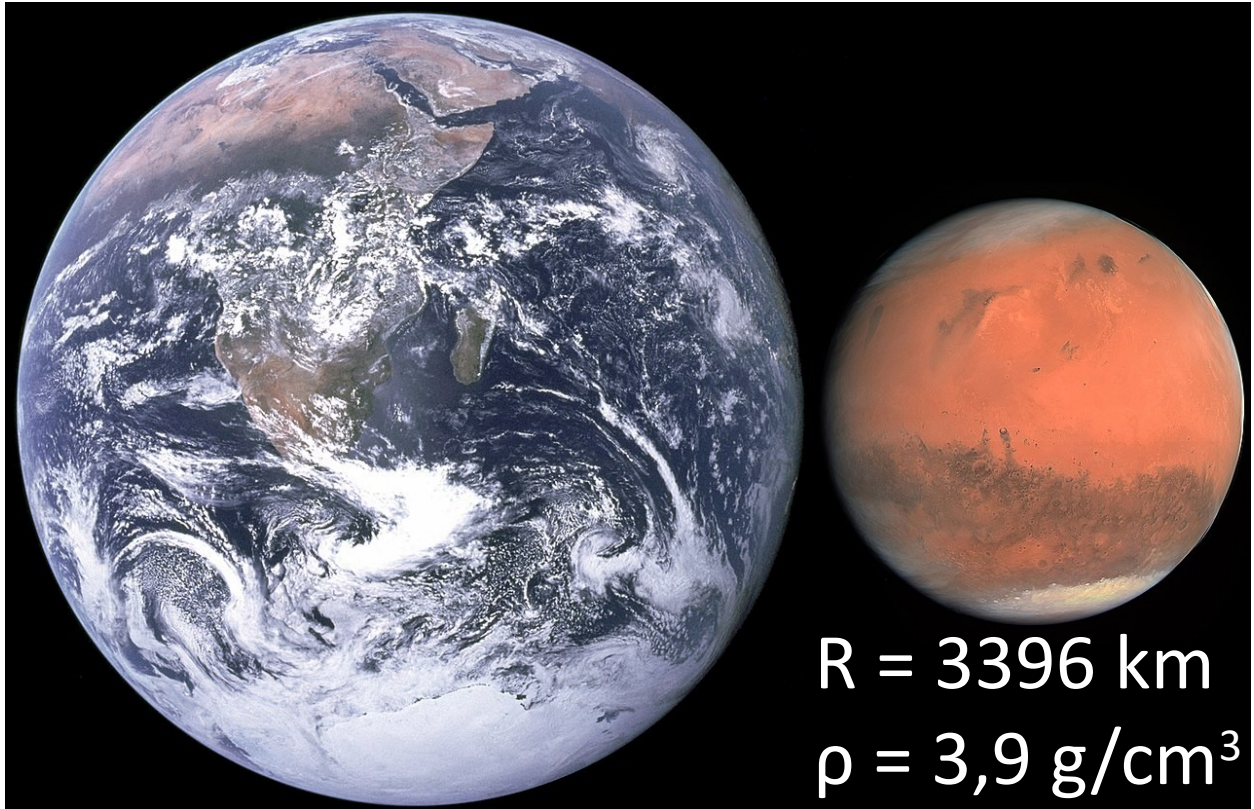


- A perda de energia interna é proporcional à área  $A$  
$$A = 4\pi R^2$$
- A taxa de liberação de energia interna aumenta com a massa  $M$  
$$M = 4\pi R^3 \rho_m / 3$$
- Taxa de perda de energia interna por unidade de massa é  $A/M$ : 
$$\frac{A}{M} = \frac{4\pi R^2}{4\pi R^3 \rho_m / 3} = \frac{3}{R \rho_m}$$

→ Corpos com raios menores perdem sua energia mais rápido

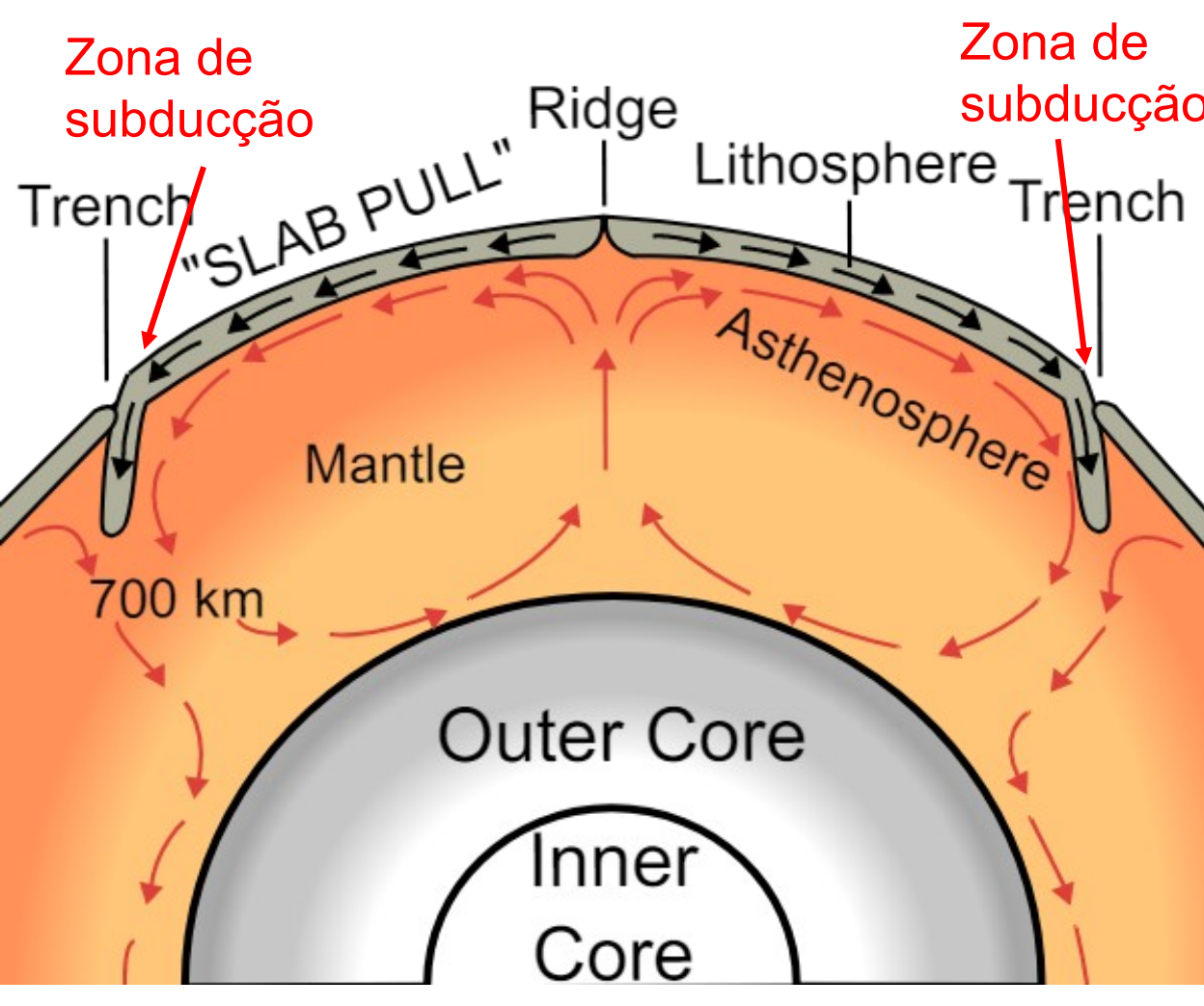
Como o resfriamento é proporcional a  $1/R\rho$ , Marte esfriou muito mais rapidamente que a Terra

$$R = 6378 \text{ km}$$
$$\rho = 5,4 \text{ g/cm}^3$$

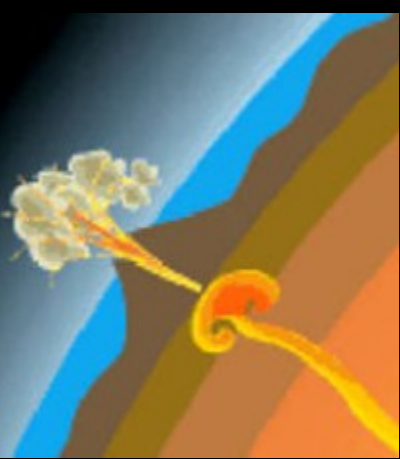


$$R = 3396 \text{ km}$$
$$\rho = 3,9 \text{ g/cm}^3$$

**A Terra é um planeta ativo**, devido à energia do decaimento radioativo e do calor residual da sua formação. O manto terrestre é convectivo.

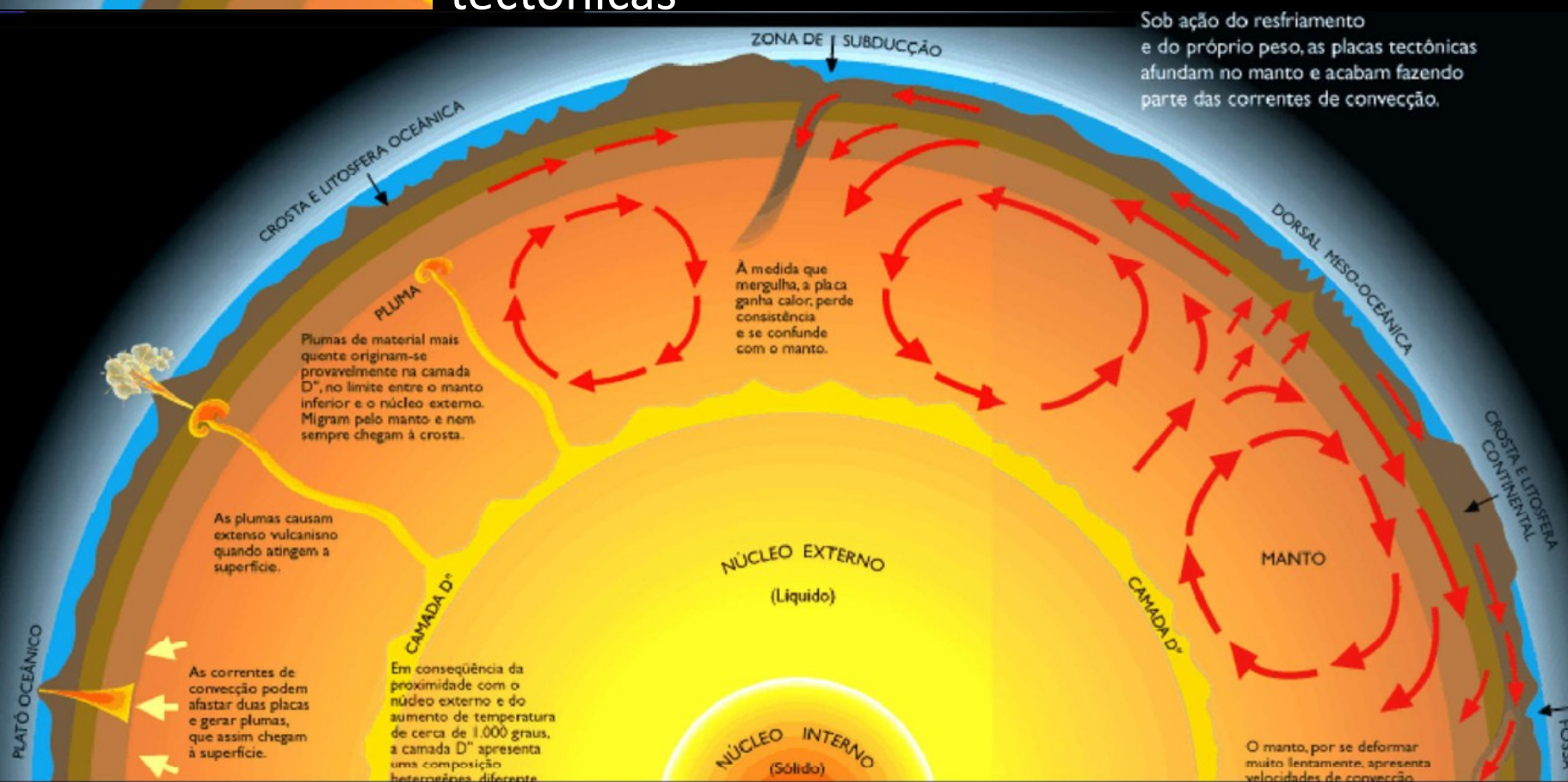


O fluxo quente emergente trinca a litosfera, a arrastando em direções opostas. Nessa região emerge lava (material rochoso fundido), causando o vulcanismo oceânico. Nas regiões de fluxo descendente as placas litosféricas são forçadas a se mover umas contra as outras, causando a subducção.



# Convecção no interior da Terra

Nessa figura do Prof. Marcelo Assumpção, podemos ver em mais detalhe o efeito da convecção do manto no vulcanismo e no movimento das placas tectônicas



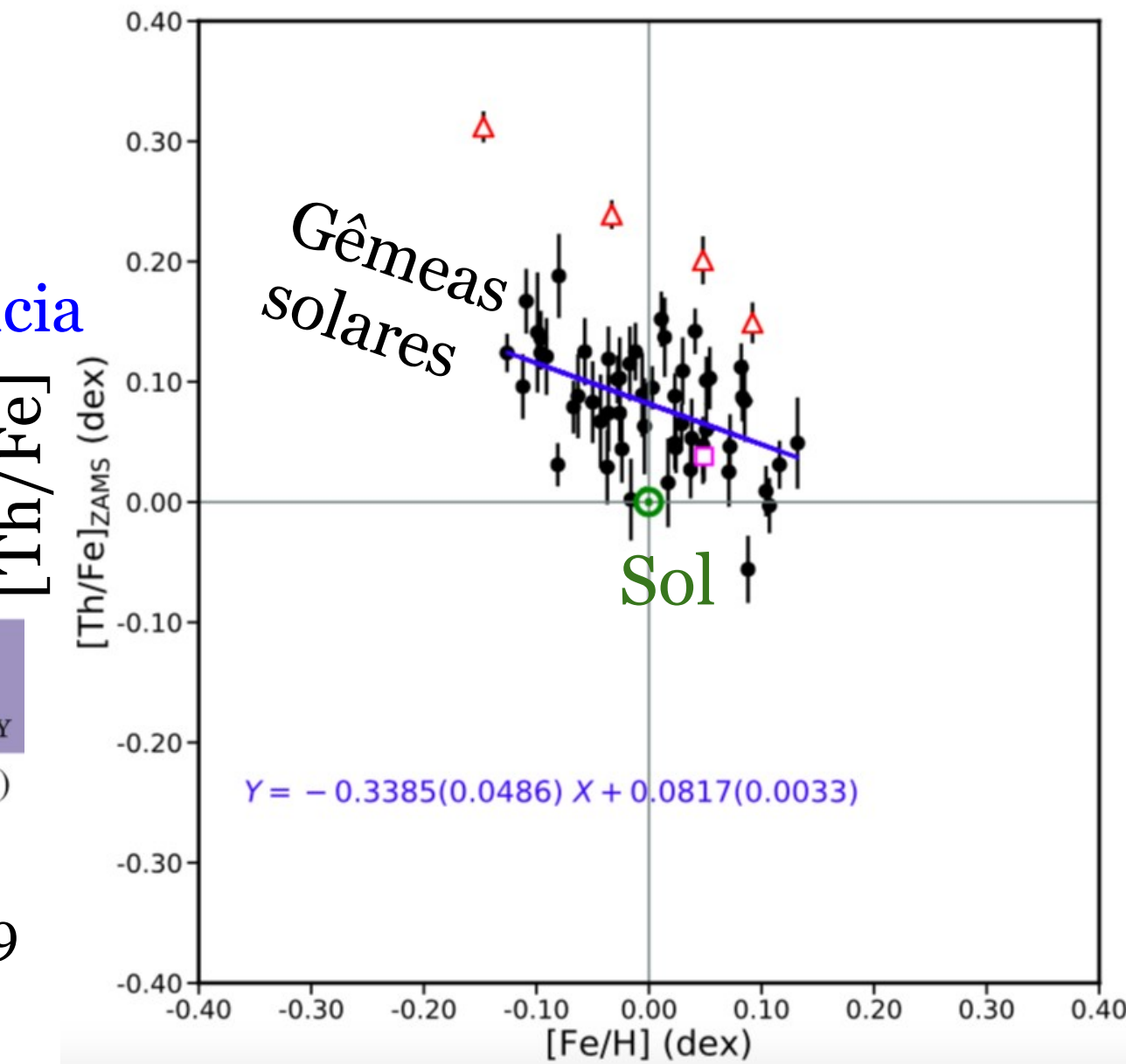
A abundância de tório em estrelas gêmeas solares é maior à abundância de Th no Sol

Monthly Notices  
of the  
ROYAL ASTRONOMICAL SOCIETY

MNRAS **482**, 1690–1700 (2019)

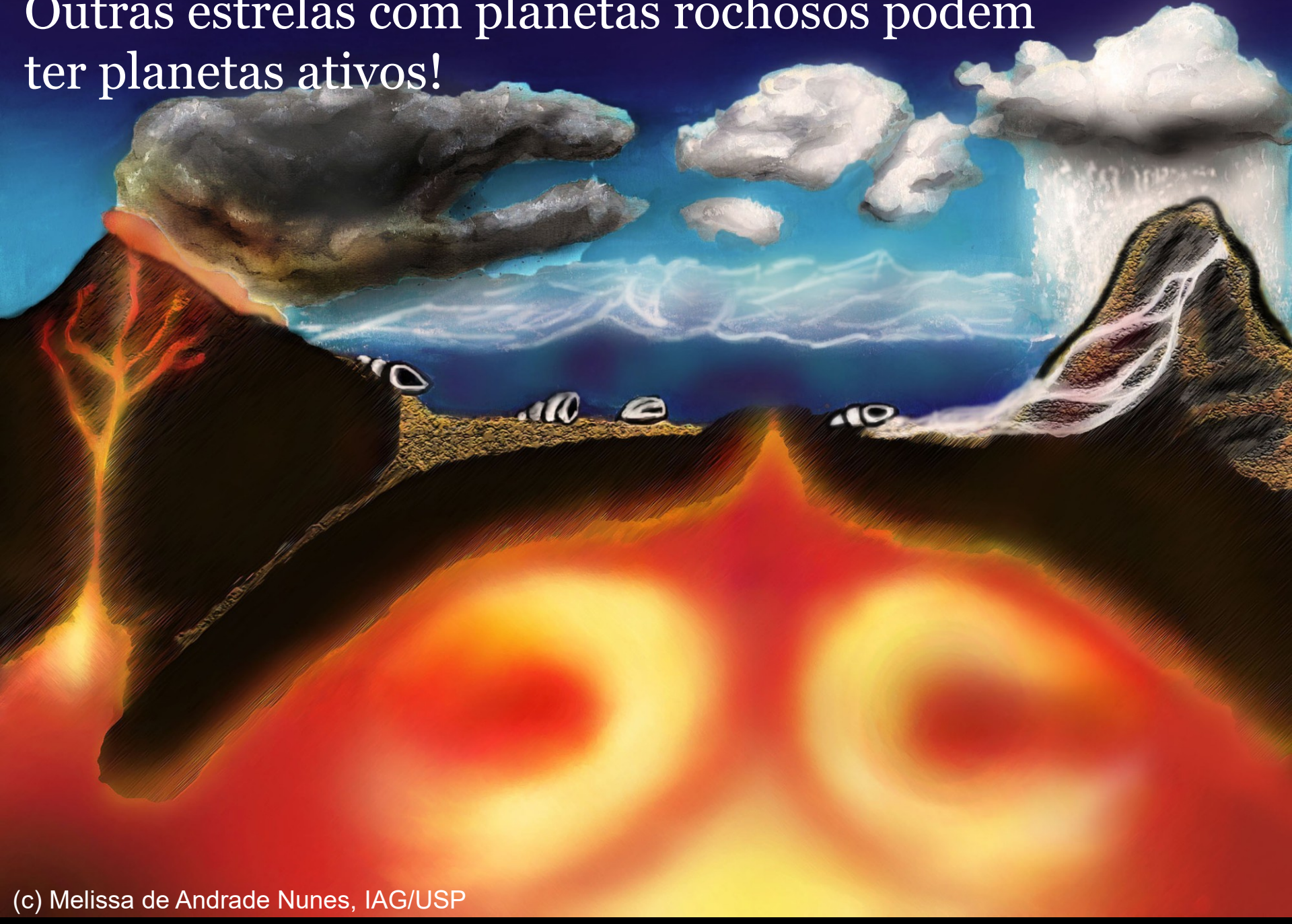
Botelho, Milone,  
Meléndez et al. 2019

Thorium in Solar Twins: implications for habitability

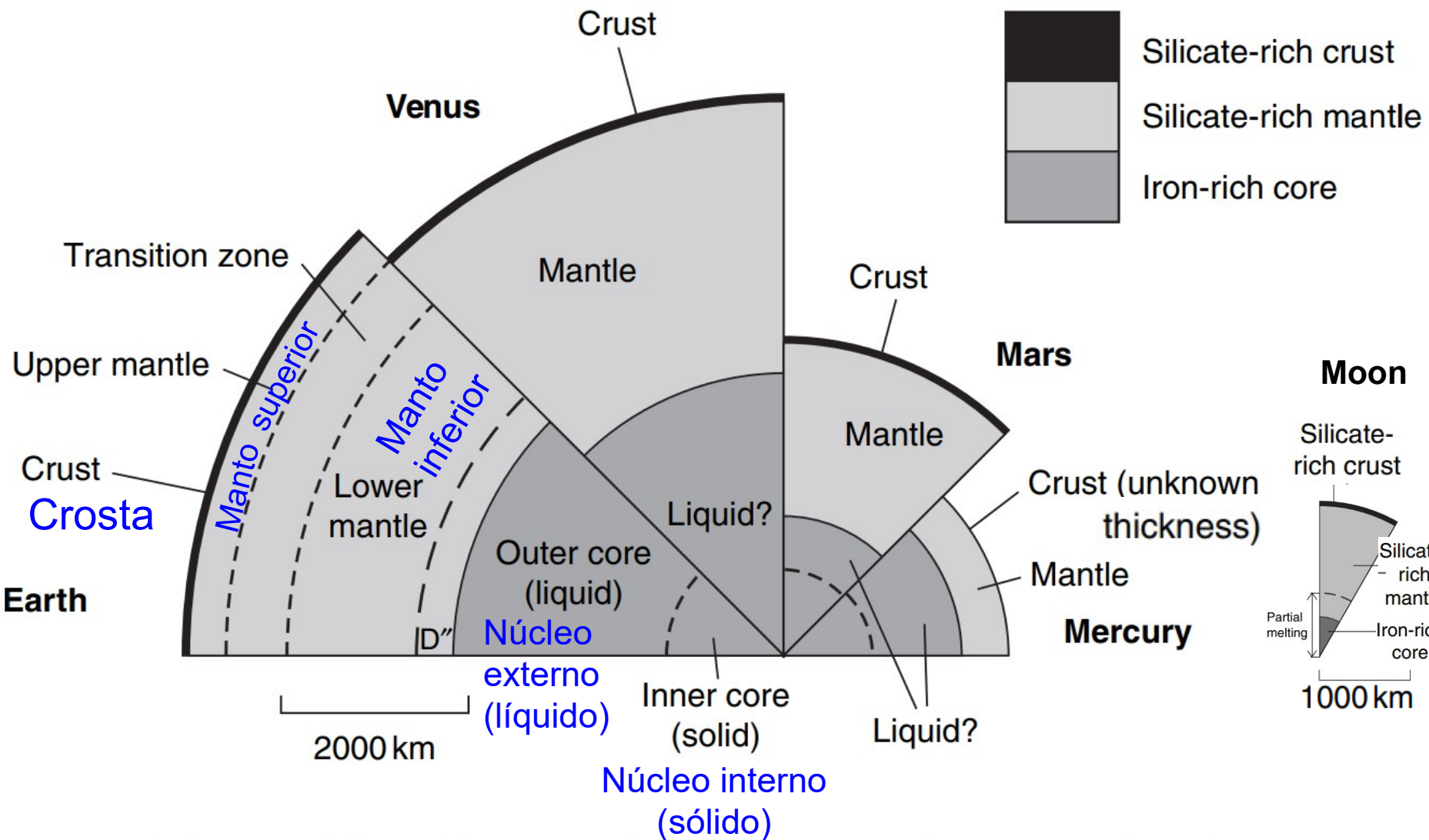


Metalicidad  $[{\rm Fe}/{\rm H}]$

Outras estrelas com planetas rochosos podem ter planetas ativos!

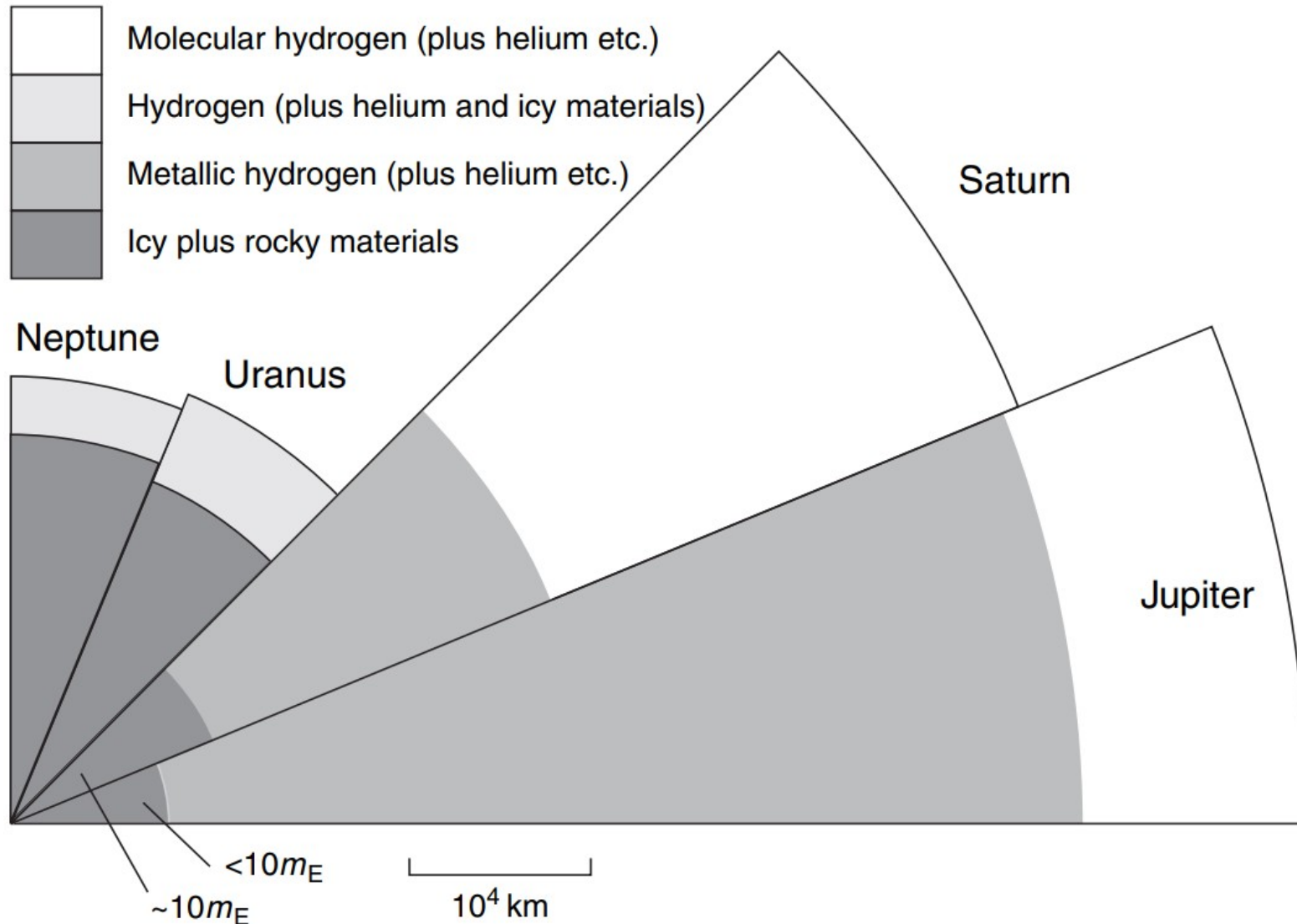


# Corte transversal nos planetas terrestres e a Lua



**Figure 5.1** Cross-sections through the terrestrial planets.

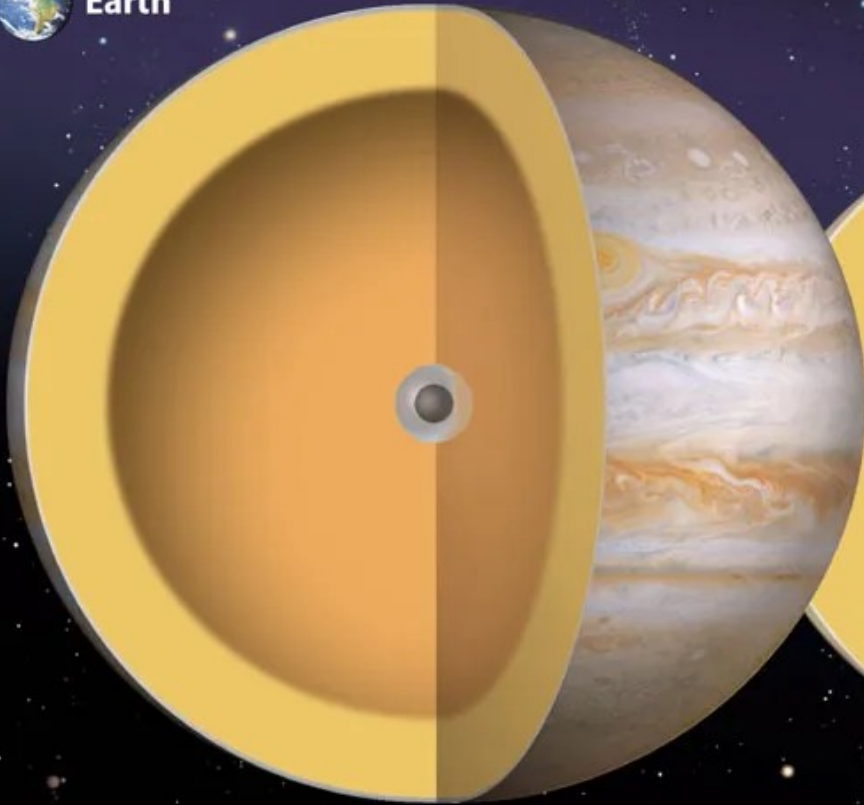
# Corte nos planetas gigantes gelados (Netuno e Urano) e gasosos (Saturno e Júpiter)



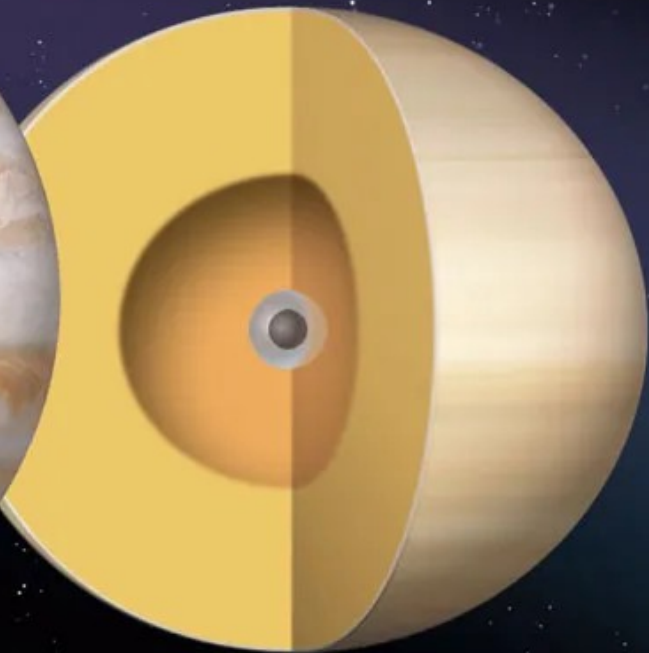


Earth

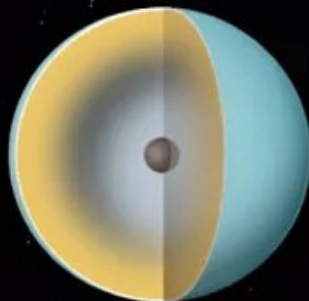
Jupiter



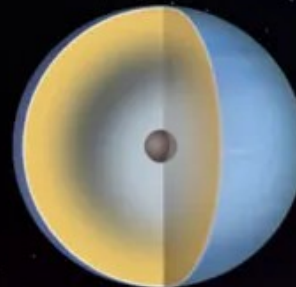
Saturn



Uranus



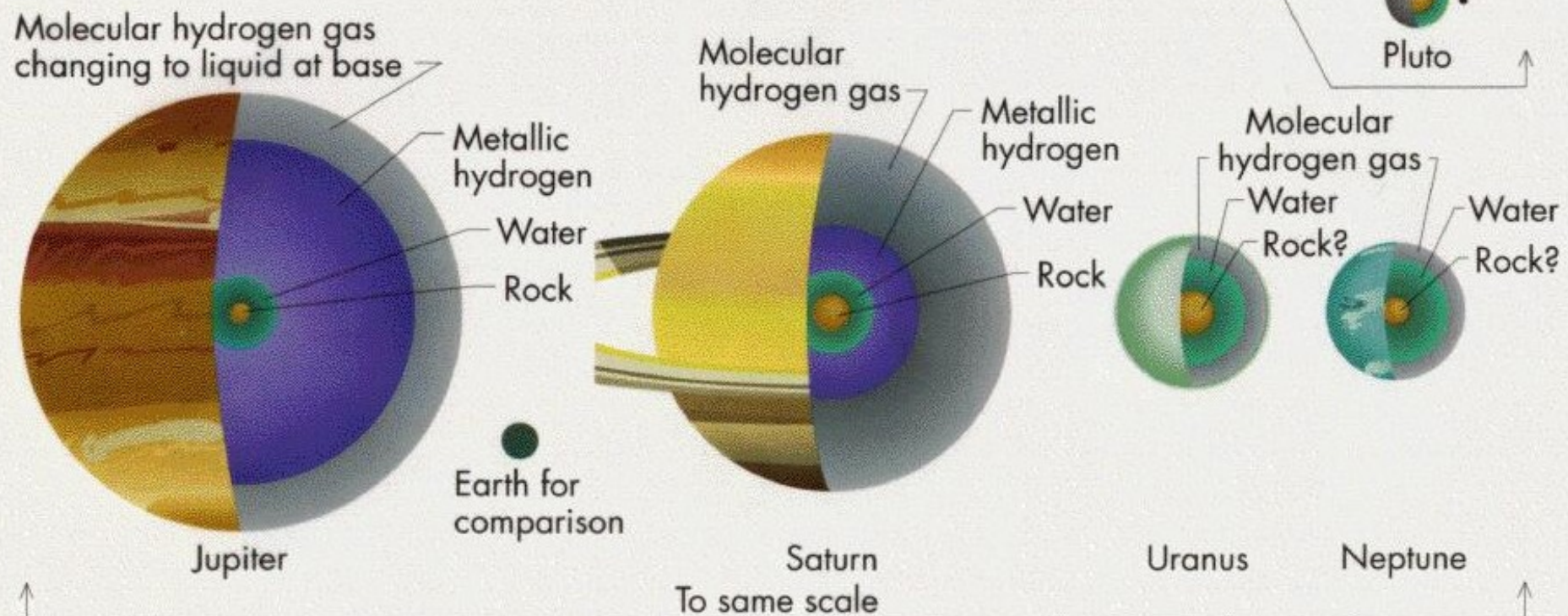
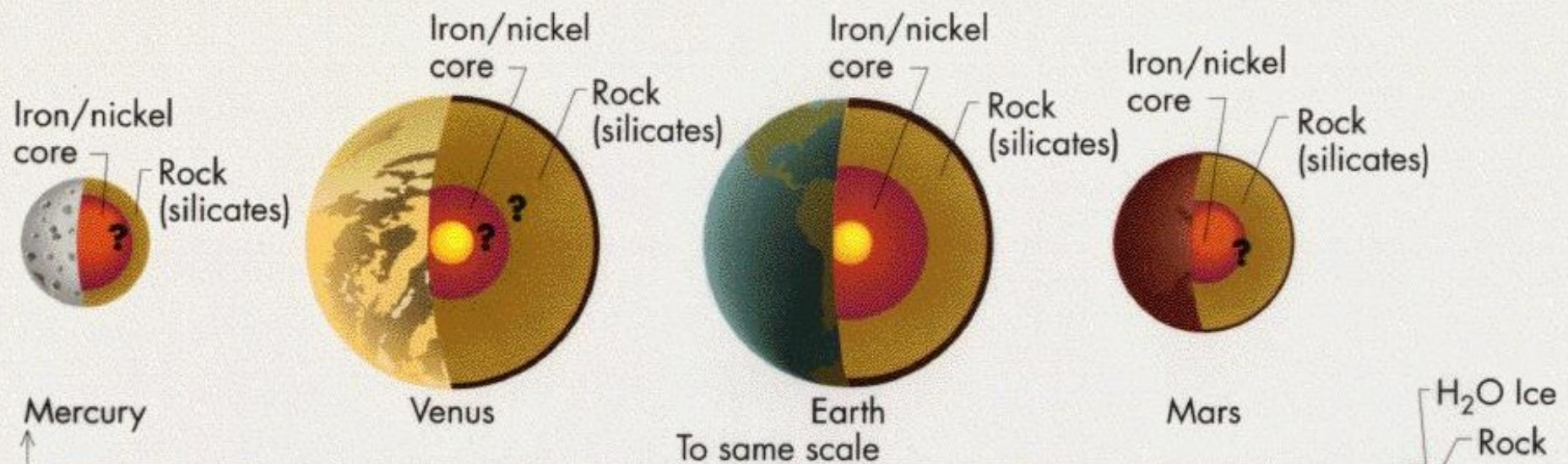
Neptune



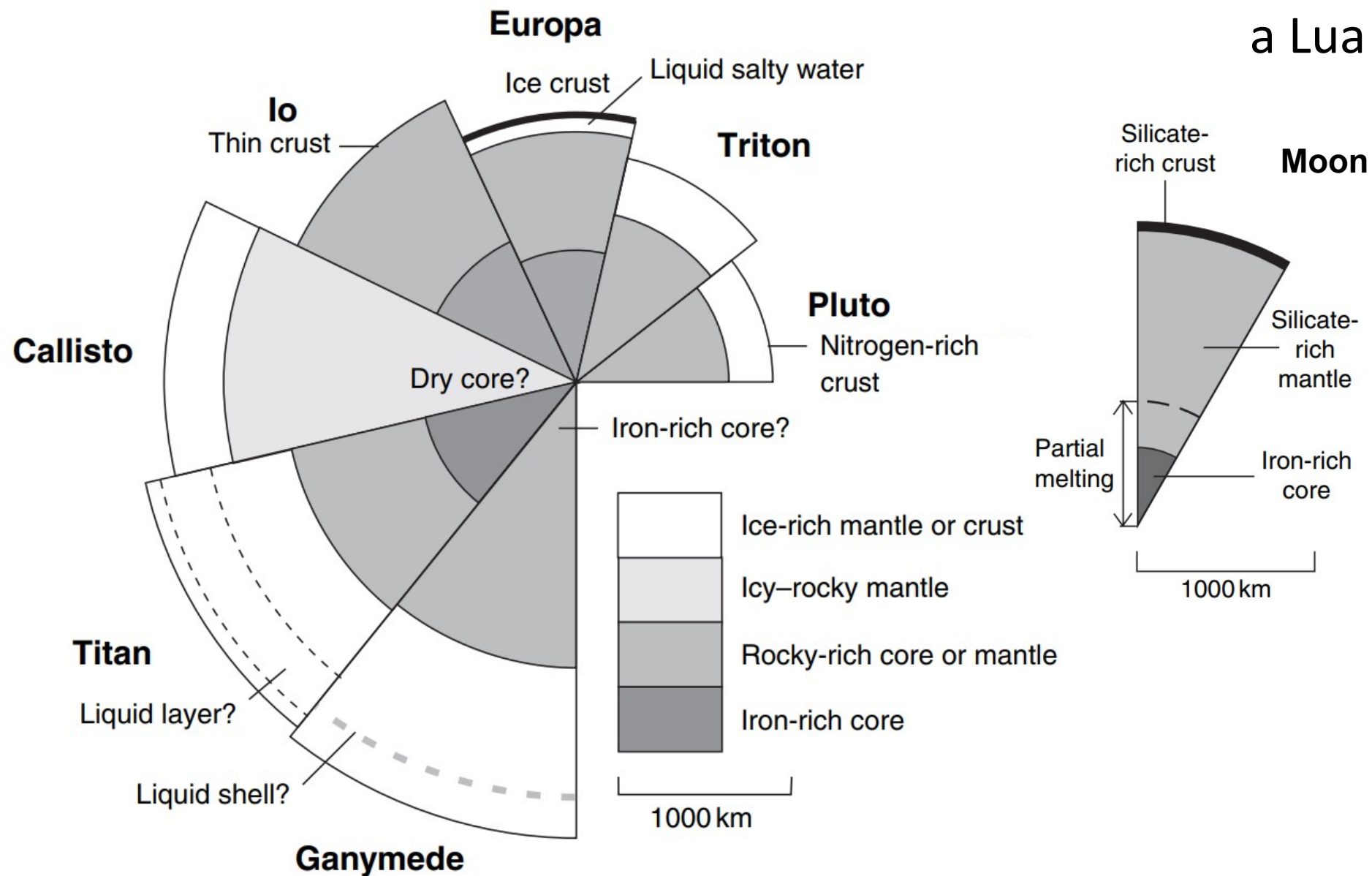
- Rock
- Ionized liquid water, ammonia, and methane
- Liquid metallic hydrogen and atomic helium
- Molecular hydrogen and atomic helium

100,000 kilometers

60,000 miles

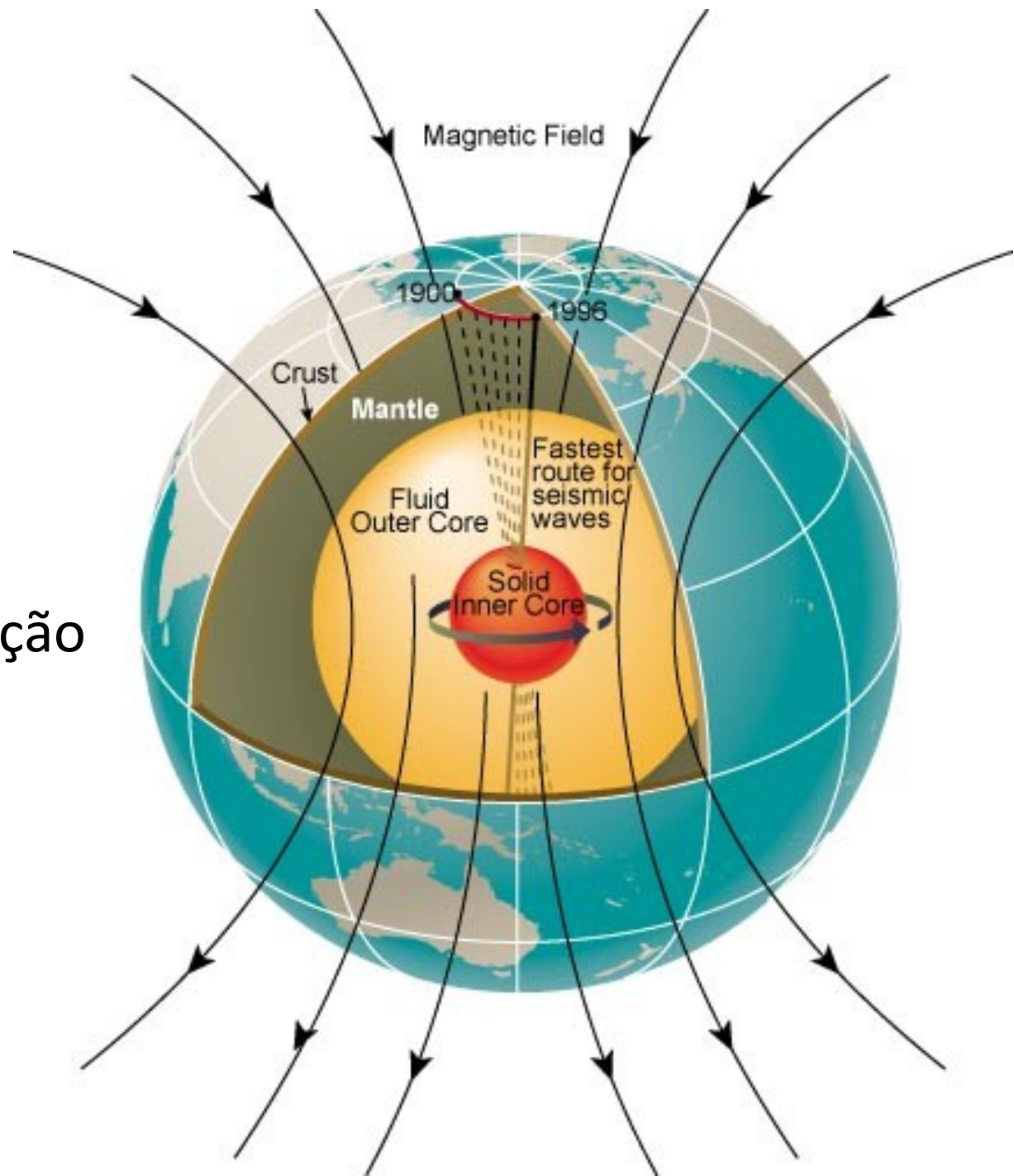


# Corte transversal em Plutão, satélites de planetas gigantes e a Lua



# Campo magnético

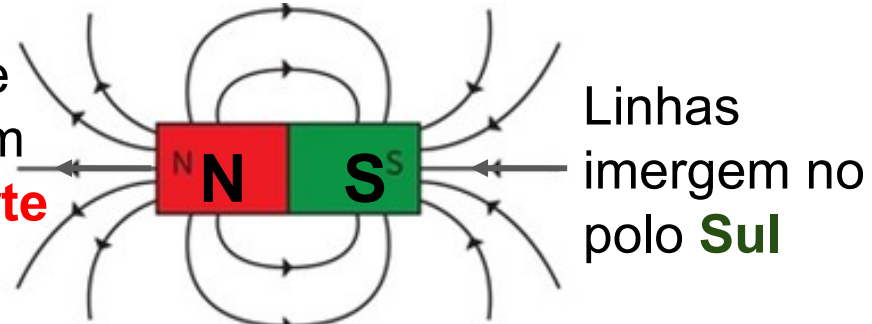
Medidas do campo magnético são importantes para estudos do interior planetário e a interação estrela-planeta



# Imãs (magnétos)

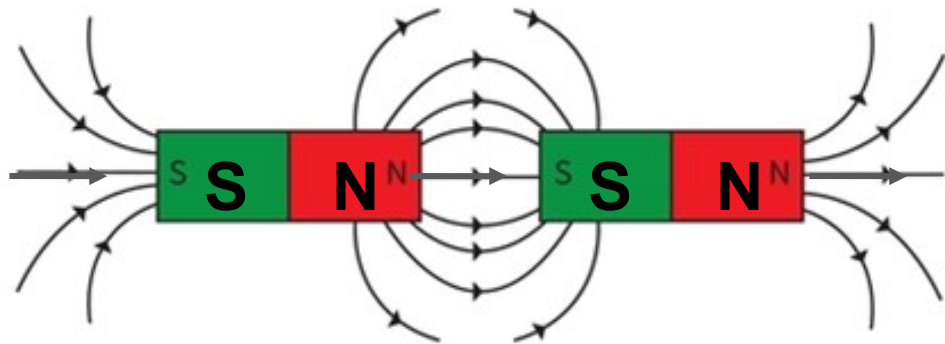
Campo magnético de um imã em barra

As linhas de campo saem do polo **Norte**

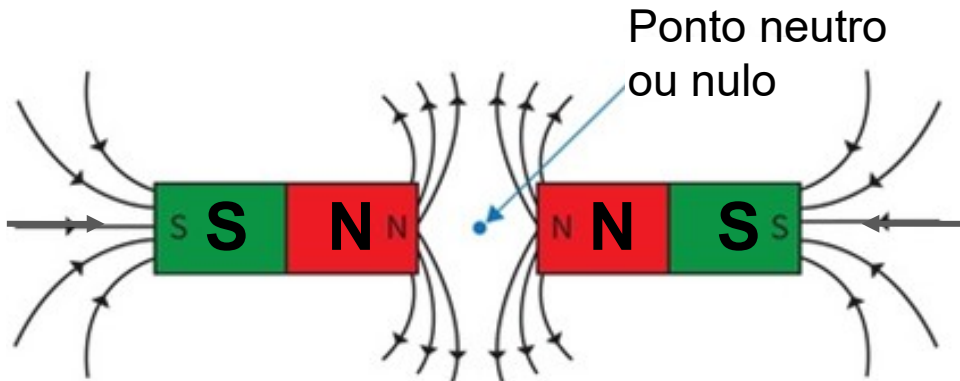


Linhas imergem no polo **Sul**

Atração entre polos opostos

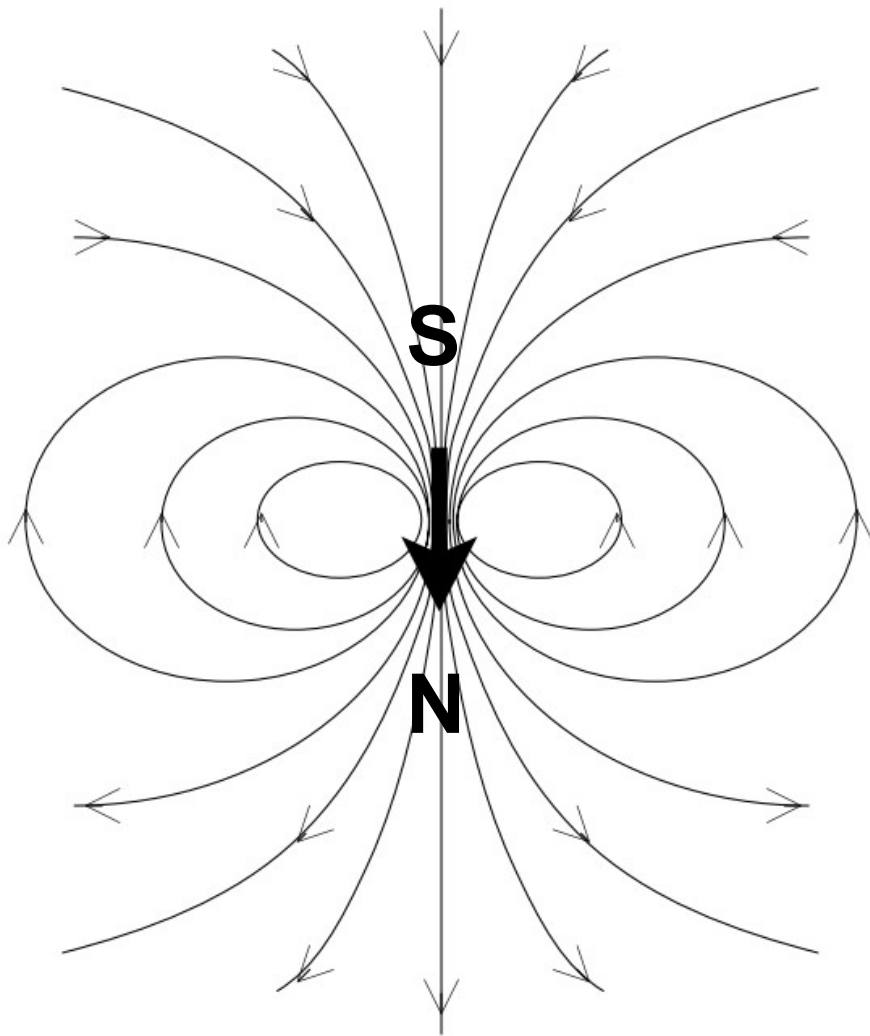


Repulsão entre polos iguais

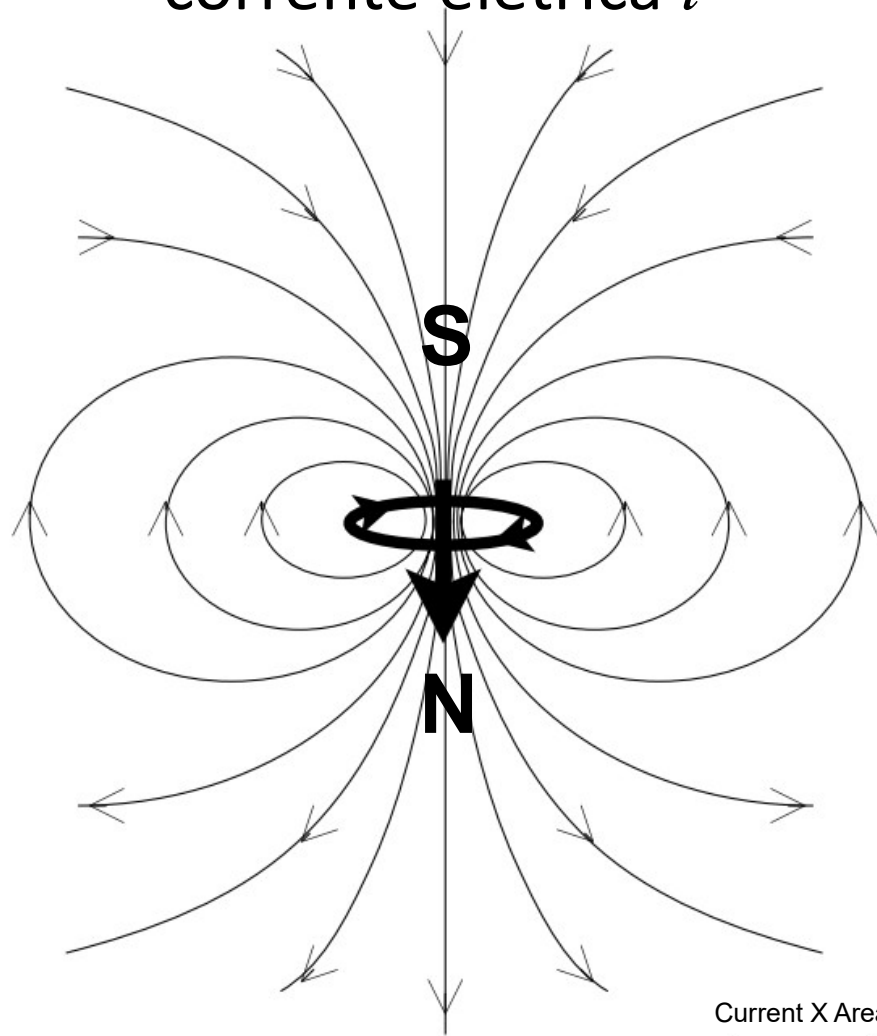


Linhas de campo de um dipolo magnético em torno de:

(a) um ímã de barra



(b) uma espira de corrente elétrica  $i$

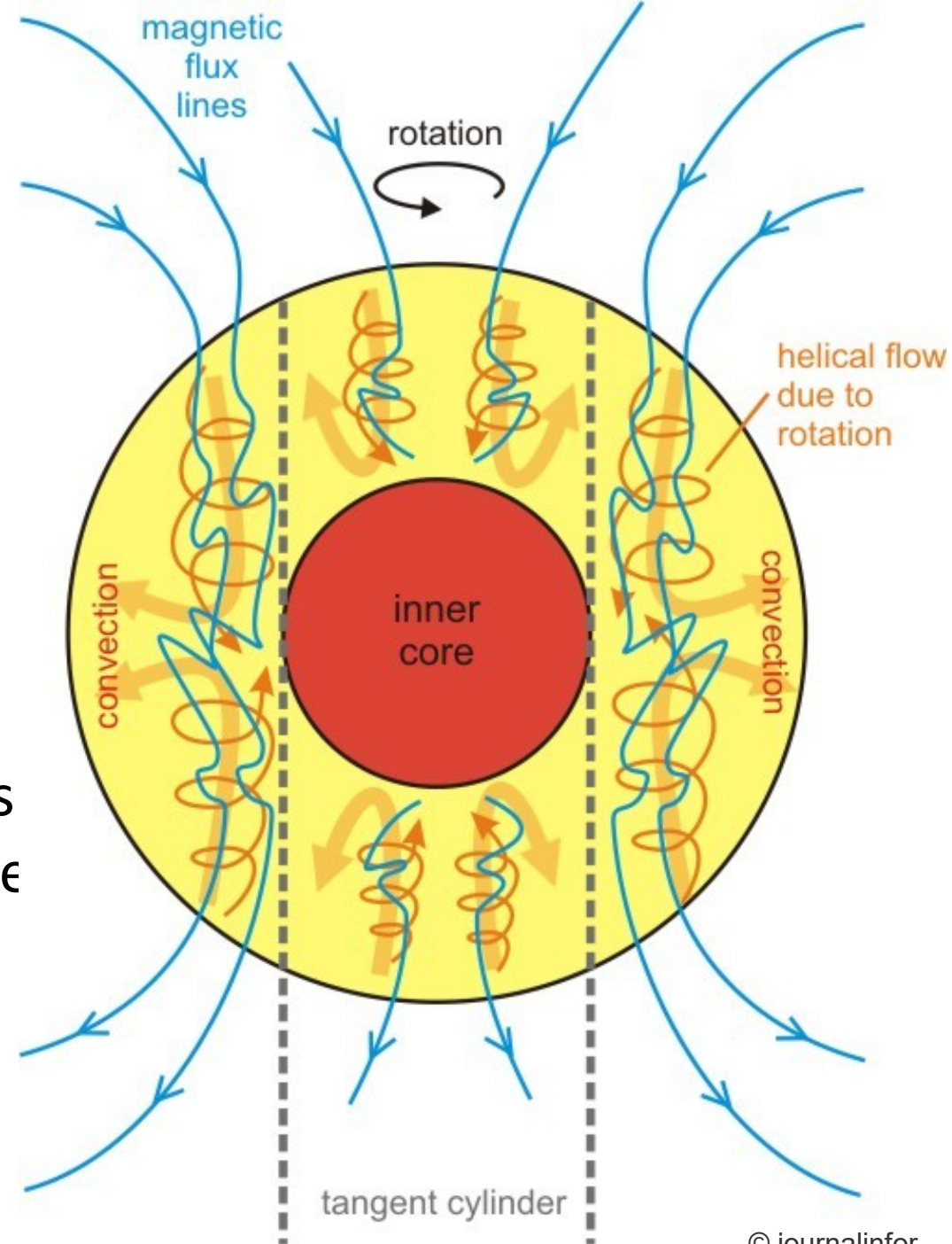


$$\text{magnetic dipole moment } \mu = i \times A$$

Current X Area

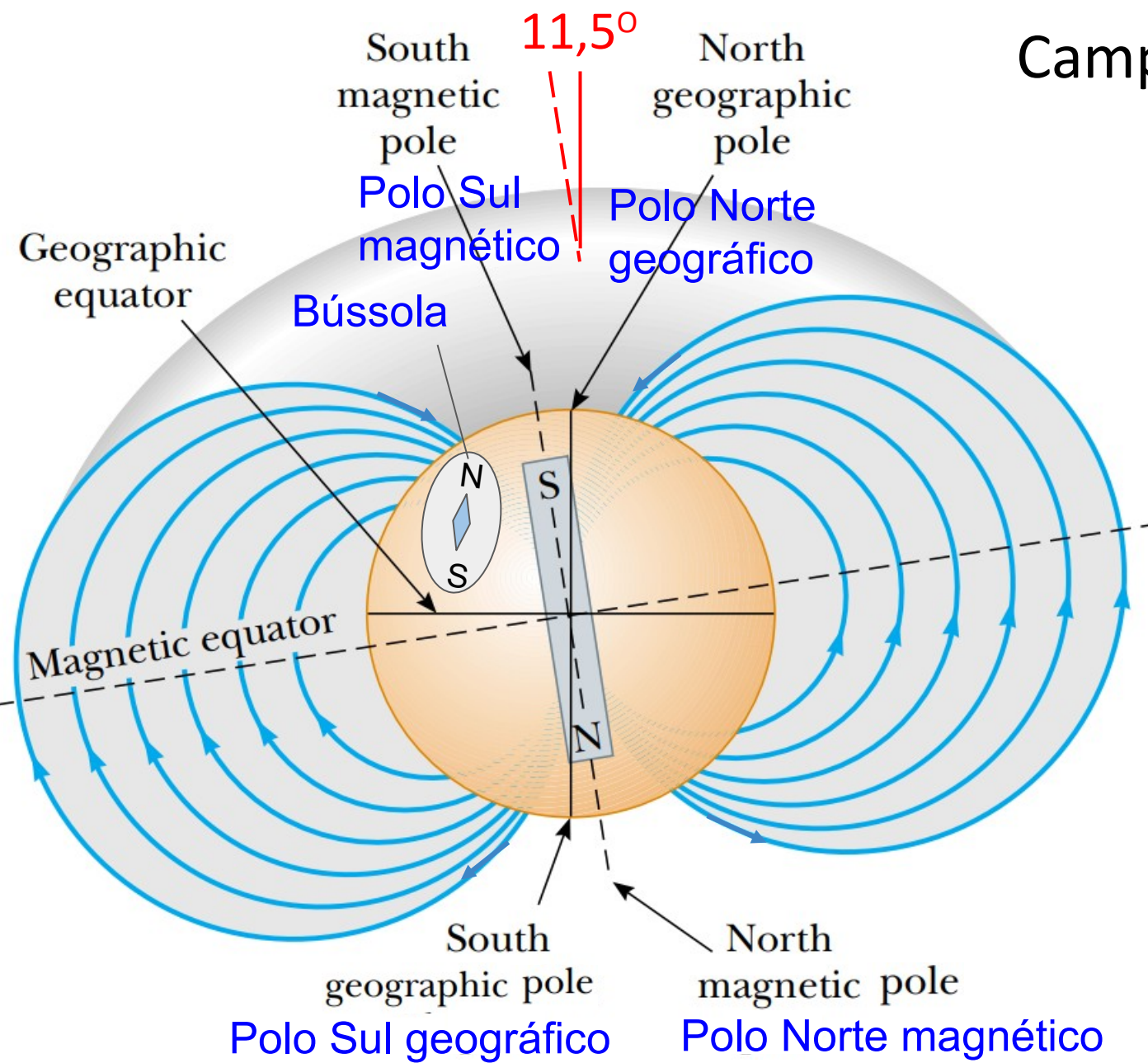
O “dínamo” é a fonte do campo magnético da **Terra, Mercúrio e os planetas gigantes** (Vênus e Marte não possuem dínamo global)

Correntes de convecção no núcleo fluido (externo) da Terra, impulsionadas pelo fluxo de calor e organizadas pela rotação, criam correntes elétricas circulantes, que geram o campo magnético com aparência dipolar



# Campo magnético da Terra

$B \sim 5 \times 10^{-5} \text{ T}$



1 Testa =  
1 Newton /  
Ampére x metro

1 gauss =  $10^{-4} \text{ T}$

# Força de Lorentz

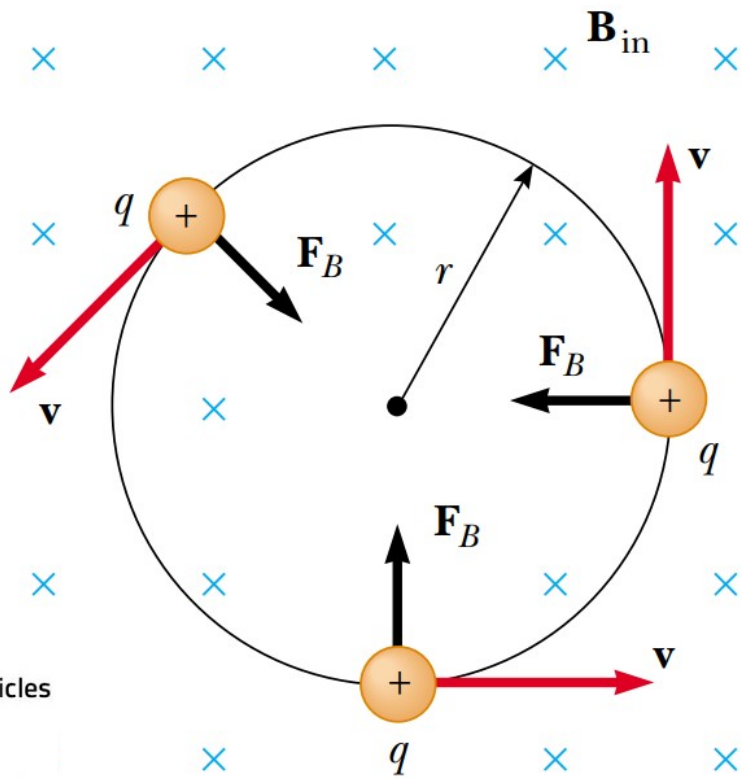
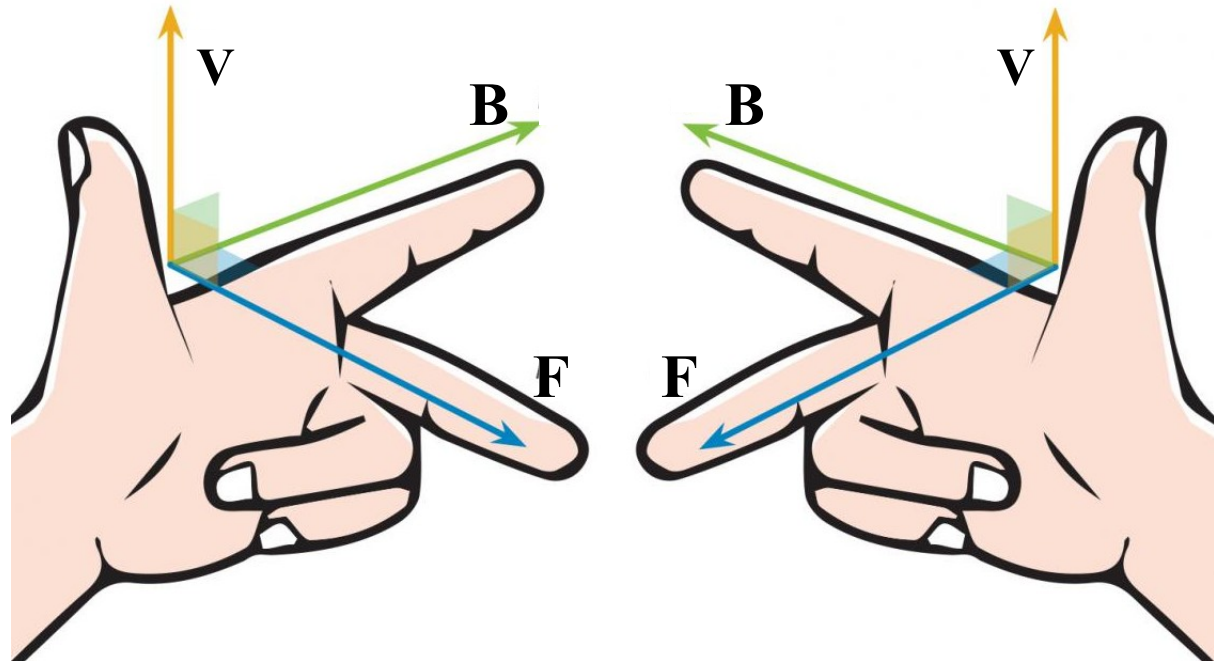
$$\vec{F} = q(\vec{v} \times \vec{B})$$

força  
carga  
velocidade  
campo magnético

© Enos Picazzio

Left-hand rule for negatively charged particles

Right-hand rule for positively charged particles



Quando a velocidade de uma partícula carregada é perpendicular a um campo magnético, a partícula se move numa trajetória circular em um plano perpendicular a  $\mathbf{B}$ . A força magnética  $\mathbf{F}_B$  agindo sobre a carga é direcionada para o centro

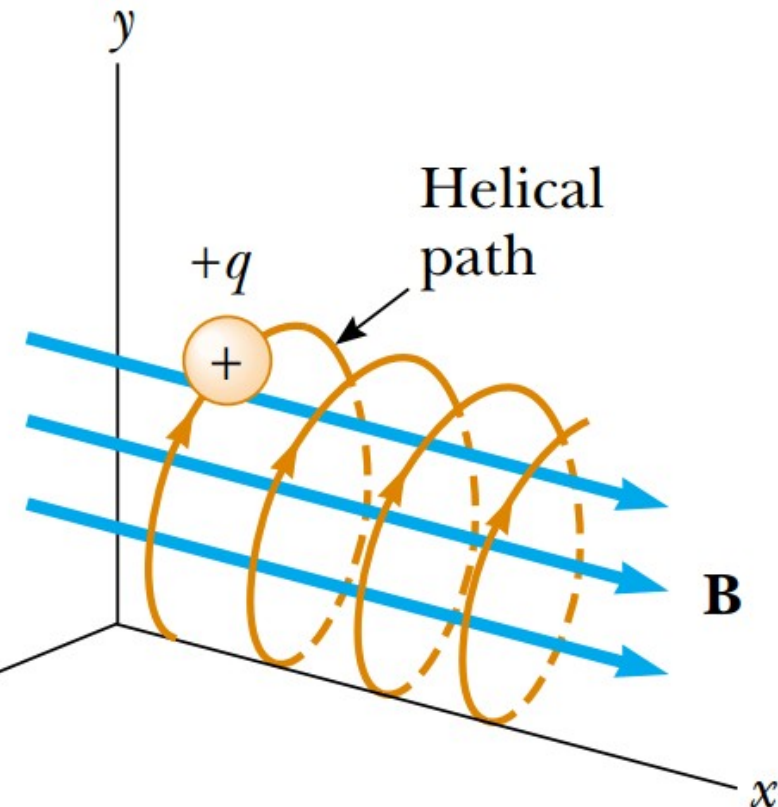
# Força de Lorentz

$$\vec{F} = q(\vec{v} \times \vec{B})$$

força  
carga  
velocidade  
campo magnético

© Enos Picazzio

Se o vetor velocidade  $v$  não é ortogonal ao campo  $B$ , a trajetória da partícula carregada será helicoidal



© Serway & Jewett, Physics for Scientists & Engineers, 6th ed.

Trabalho:  $\vec{F} \cdot d\vec{r} = (\underline{\vec{F} \cdot \vec{v}}) dt = 0$

$= 0; F \text{ e } v$   
 $\text{são ortogonais}$

© Enos Picazzio

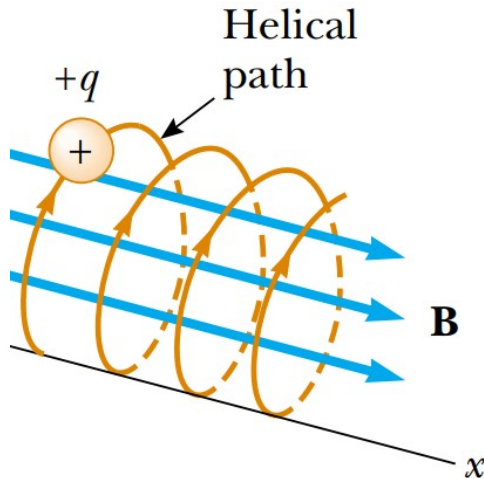
Não há trabalho  $\rightarrow$  partícula não perde energia ao espiralar

# Raio de partícula carregada ao longo de campo magnético:

Força de centrípeta = Força de Lorentz

$$\frac{mv^2}{r} = qvB \Rightarrow r = \frac{mv}{qB}$$

© Enos Picazzio



Exemplo: qual o raio orbital de um próton movendo-se com  $v \sim 10^8$  m/s, em campo magnético de intensidade  $B = 10^{-4}$  T ?

Para o próton,  $M = 1,67 \cdot 10^{-27}$  kg, e  $q = 1,6 \cdot 10^{-19}$  C. Substituindo estes valores na eq. acima obtém-se:  $r \sim 10$  km.

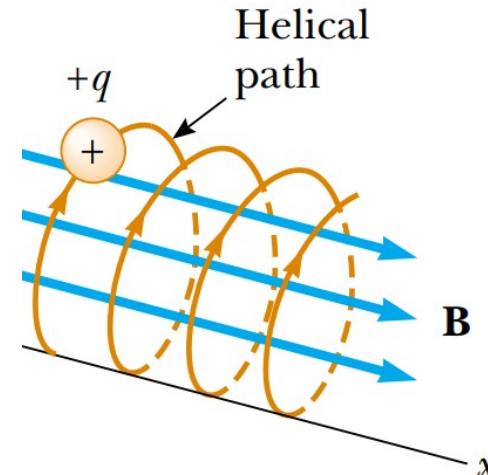
$$B = 10^{-4} \text{ T} \rightarrow r \sim 10 \text{ km},$$

$$B = 10^{-5} \text{ T} \rightarrow r \sim 100 \text{ km}$$

# Raio de partícula carregada ao longo de campo magnético:

Força de centrípeta = Força de Lorentz

$$\frac{mv^2}{r} = qvB \Rightarrow r = \frac{mv}{qB}$$



© Enos Picazzio

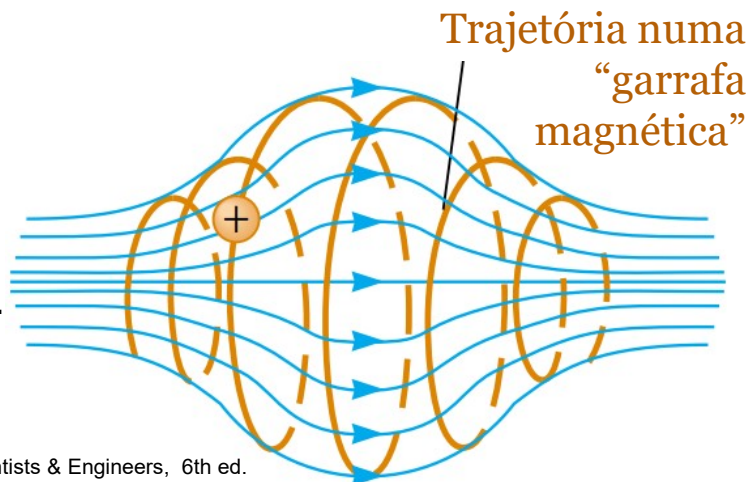
Exemplo: qual o raio orbital de um próton movendo-se com  $v \sim 10^8$  m/s, em campo magnético de intensidade  $B = 10^{-4}$  T ?

Para o próton,  $M = 1,67 \cdot 10^{-27}$  kg, e  $q = 1,6 \cdot 10^{-19}$  C. Substituindo estes valores na eq. acima obtém-se:  $r \sim 10$  km.

$$B = 10^{-4} \text{ T} \rightarrow r \sim 10 \text{ km},$$

$$B = 10^{-5} \text{ T} \rightarrow r \sim 100 \text{ km}$$

Uma partícula carregada movendo-se em um campo magnético não uniforme (uma garrafa magnética) espirala em torno do campo e oscila entre os extremos. A força magnética sobre a partícula perto de cada extremidade tem uma componente que faz com que a partícula seja “refletida”



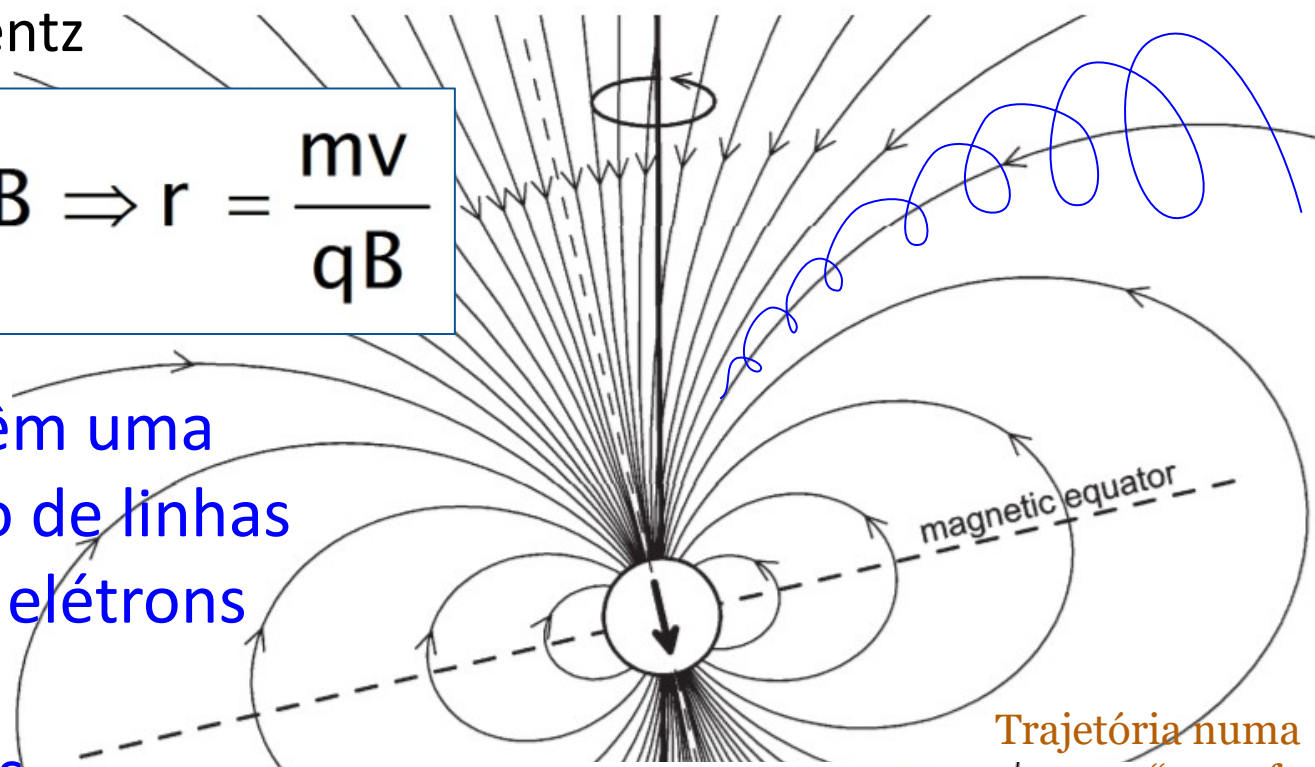
# Efeito de ‘espelho magnético’ nos polos magnéticos da Terra

Força centípeta = Força de Lorentz

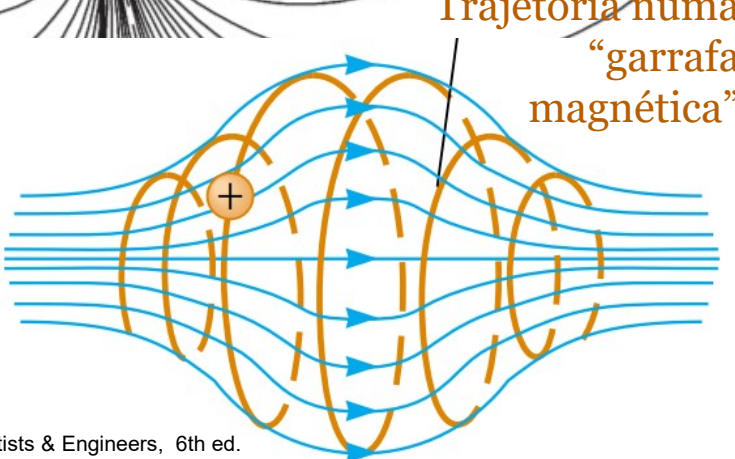
$$\frac{mv^2}{r} = qvB \Rightarrow r = \frac{mv}{qB}$$

Ulrich Hambach et al. 2008, Magnetic dating of Quaternary sediments, volcanites and archaeological materials: an overview

Os polos da Terra têm uma maior concentração de linhas de campo → íons e elétrons são refletidos ao se aproximar dos polos



Uma partícula carregada movendo-se em um campo magnético não uniforme (uma garrafa magnética) espirala em torno do campo e oscila entre os extremos. A força magnética sobre a partícula perto de cada extremidade tem uma componente que faz com que a partícula seja “refletida”

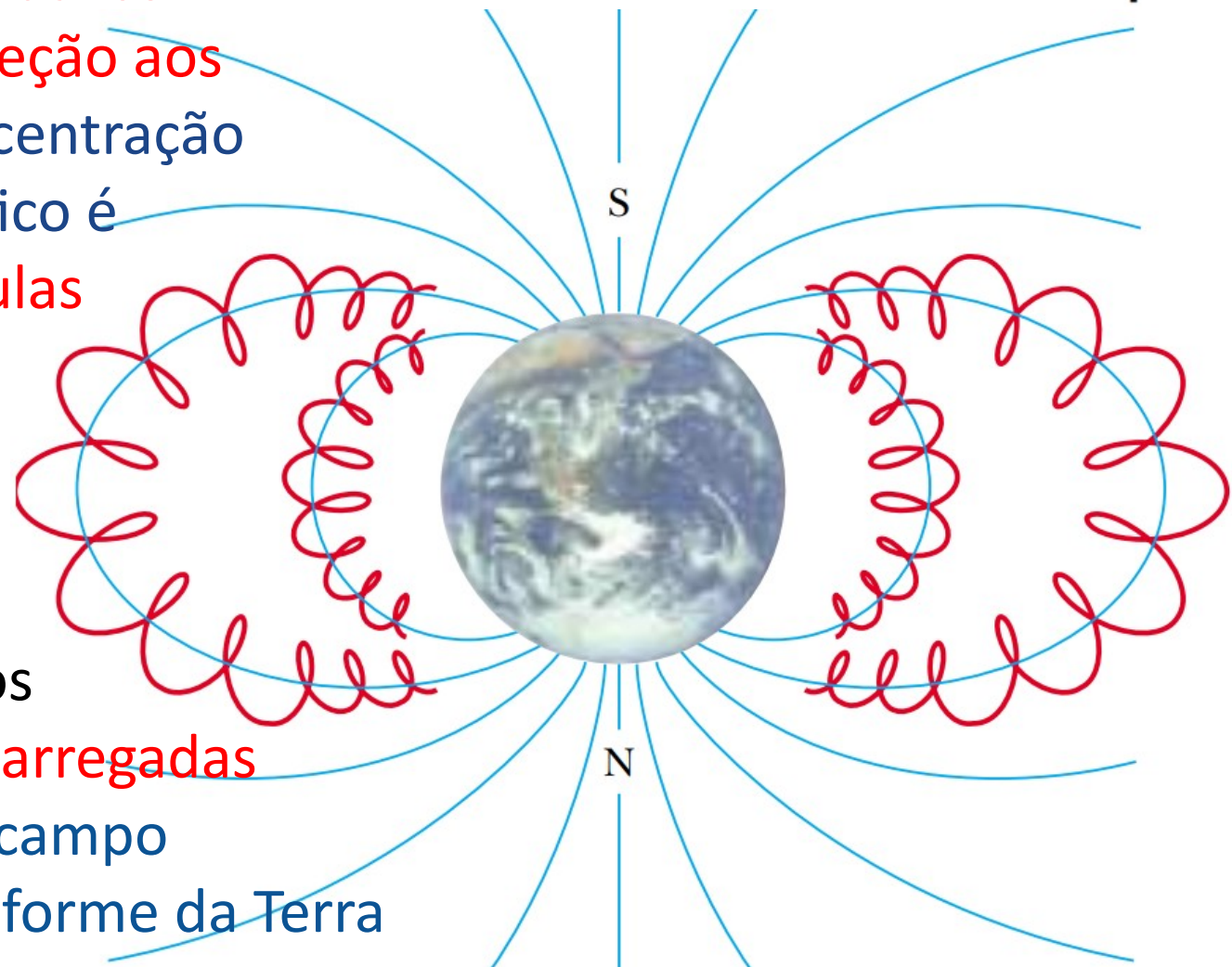


# Cinturões de Van Allen

$$r = \frac{mv}{qB}$$

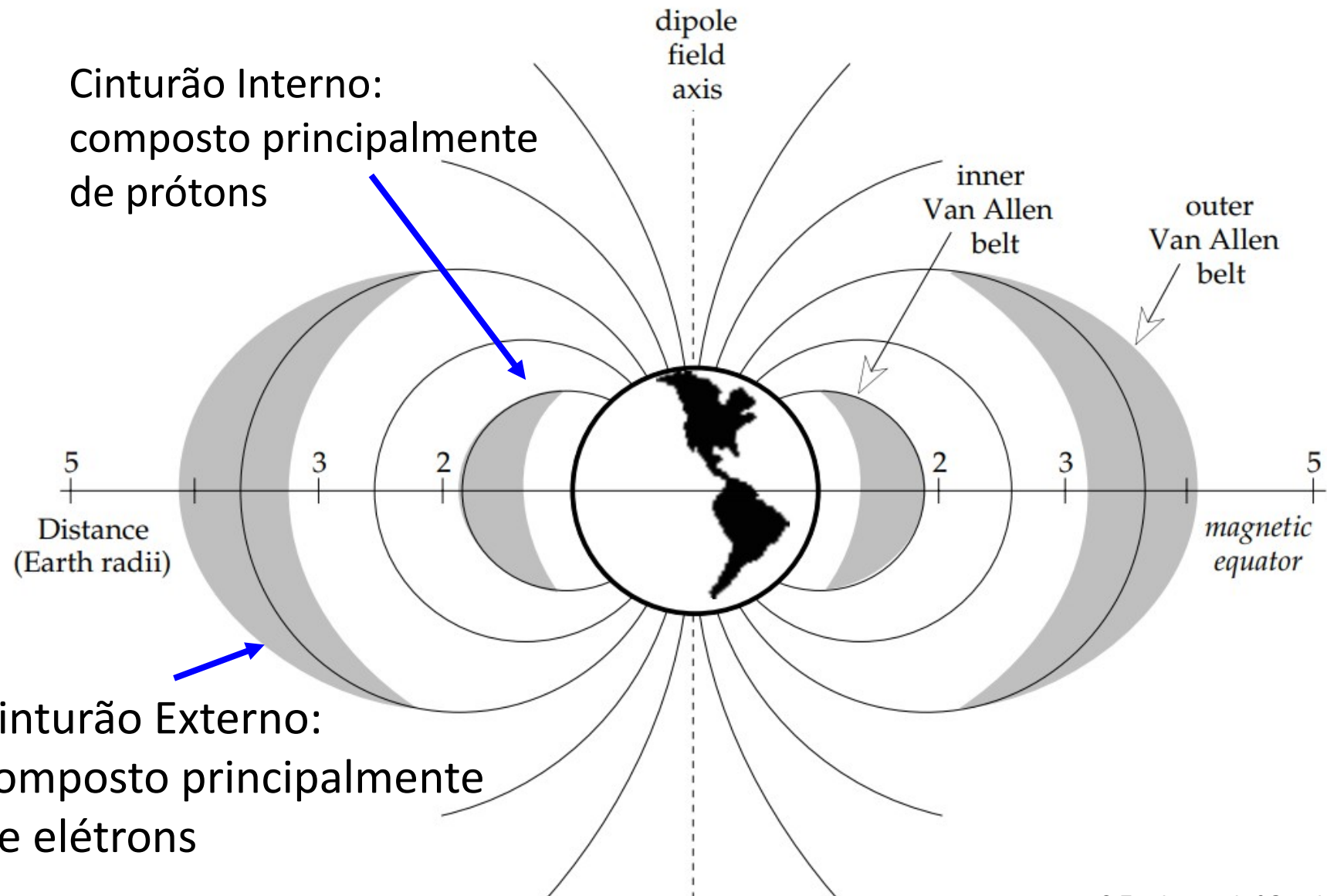
Movimento helicoidal com raio menor em direção aos polos (onde a concentração do campo magnético é maior) e as partículas carregadas são refletidas

Os cinturões de Van Allen são feitos dessas partículas carregadas aprisionadas pelo campo magnético não uniforme da Terra



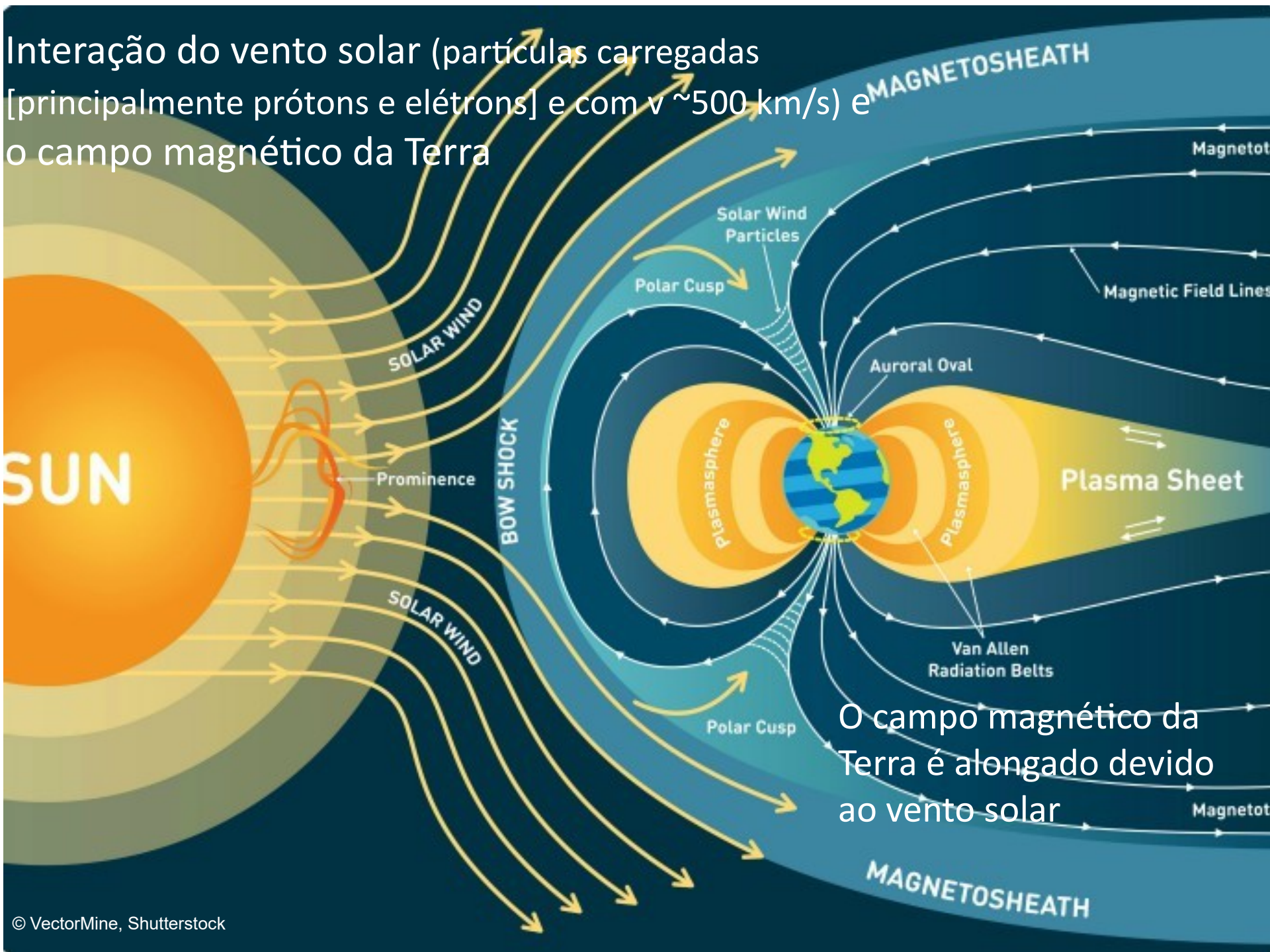
Cinturões de Van Allen: partículas (principalmente) do vento solar aprisionadas pelo campo magnético da Terra

Cinturão Interno:  
composto principalmente  
de prótons



Cinturão Externo:  
composto principalmente  
de elétrons

Interação do vento solar (partículas carregadas [principalmente prótons e elétrons] e com  $v \sim 500$  km/s) e o campo magnético da Terra

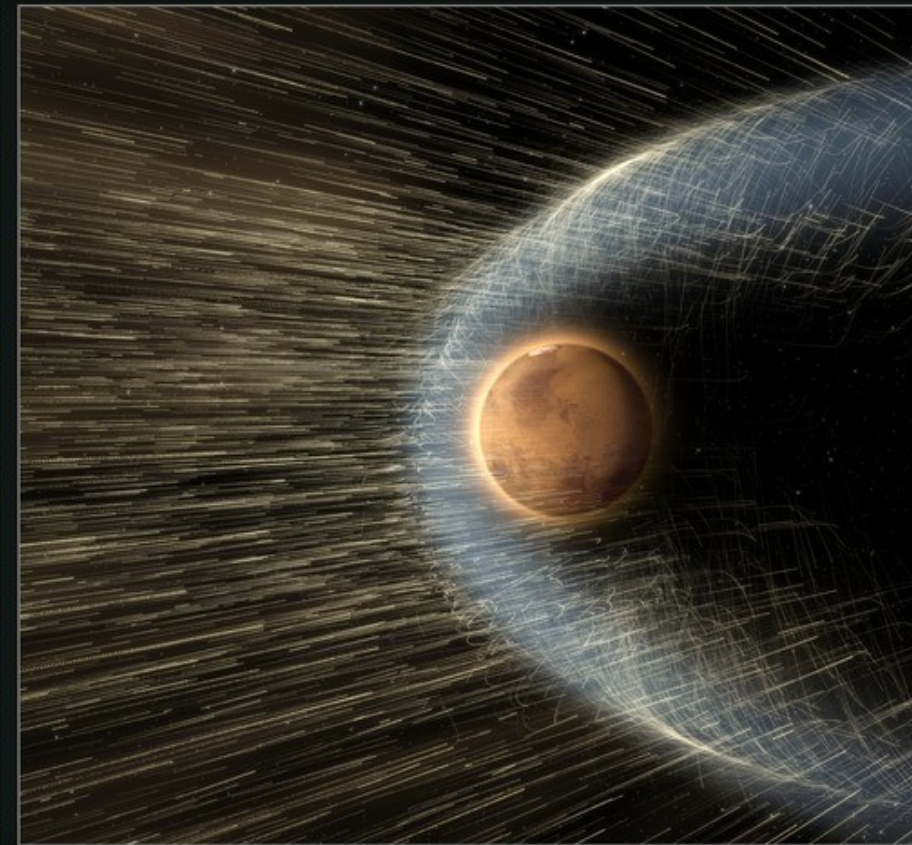


O campo magnético da Terra é alongado devido ao vento solar

O campo magnético da Terra protege o planeta do vento solar, sendo importante para preservar a atmosfera e minimizar perturbações às comunicações e linhas de transmissão de energia



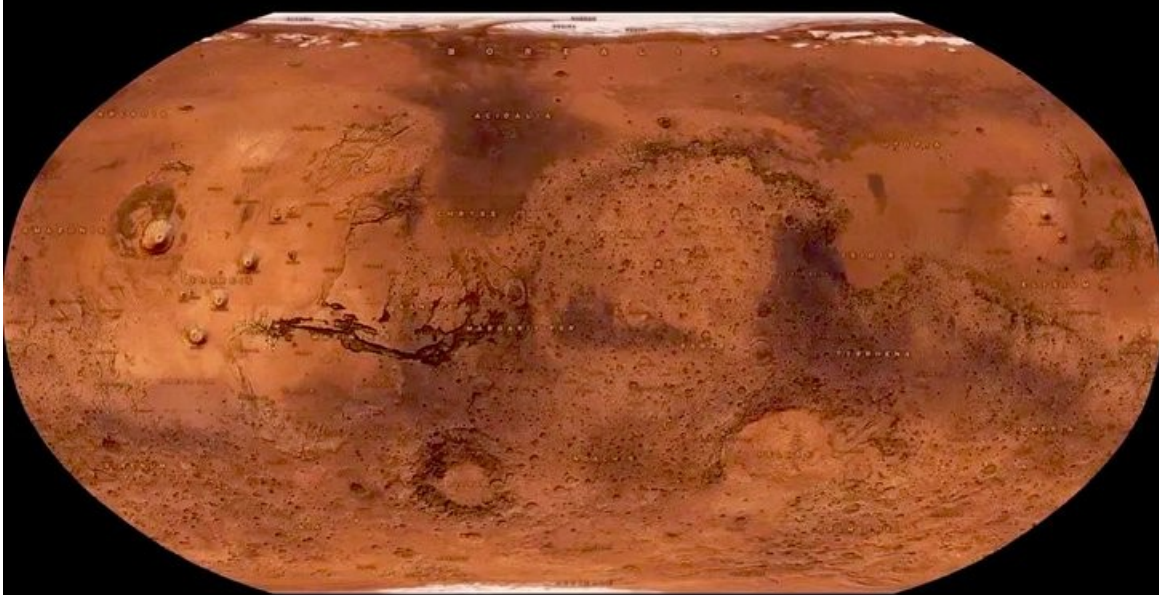
Marte não possui um campo magnético global, e a atmosfera do planeta vermelho pode ter sido varrida pelo vento solar



Interação do vento solar com a Terra (esq.) e Marte (direita)

<https://svs.gsfc.nasa.gov/4370>

# Current Mars Map



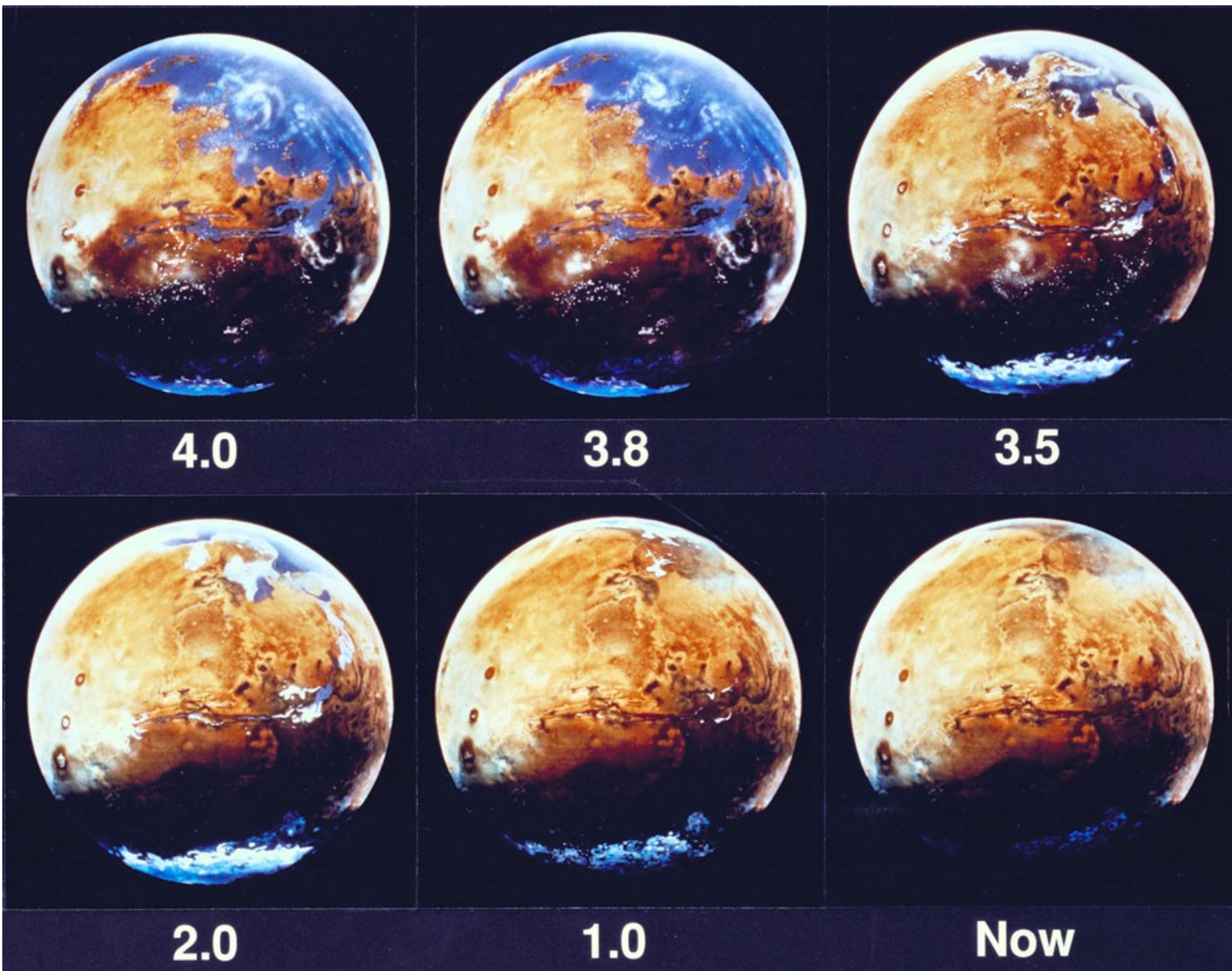
# Ancient Mars Map



Marte agora. A maior parte do oceano foi perdida há ~3,5 Gyr

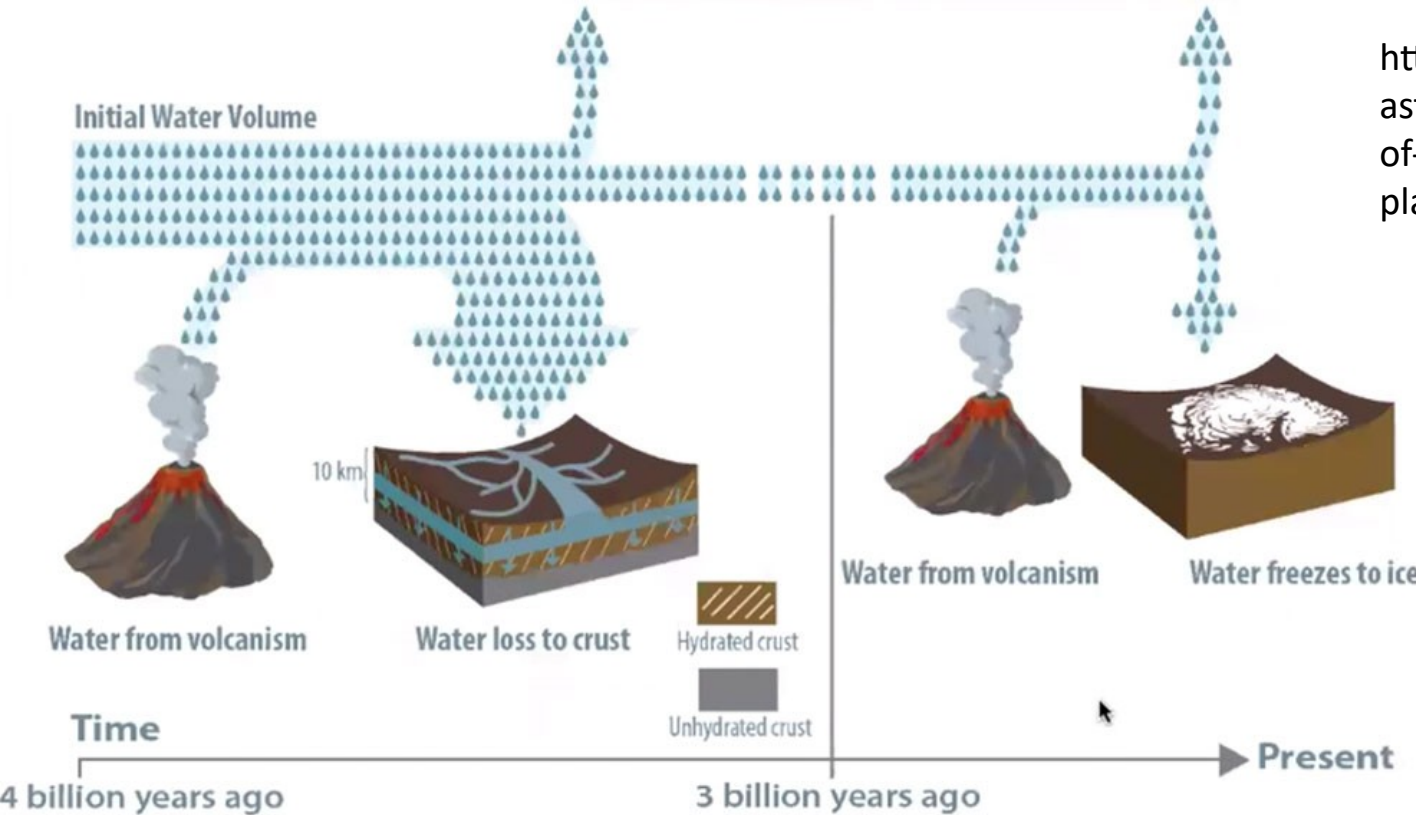
Marte há ~3,8 bilhões de anos, quando tinha uma atmosfera mais espessa, um ciclo hidrológico e água líquida na superfície, esculpindo canais de rios e formando deltas

# Marte pode ter tido um oceano até há ~3,5 Gyr



Água  
pode ter  
sido  
perdida  
para o  
espaço  
ou ficou  
presa no  
interior,  
ou  
ambos

<https://skyandtelescope.org/astronomy-news/is-an-ocean-of-mars-water-trapped-in-the-planets-crust/>

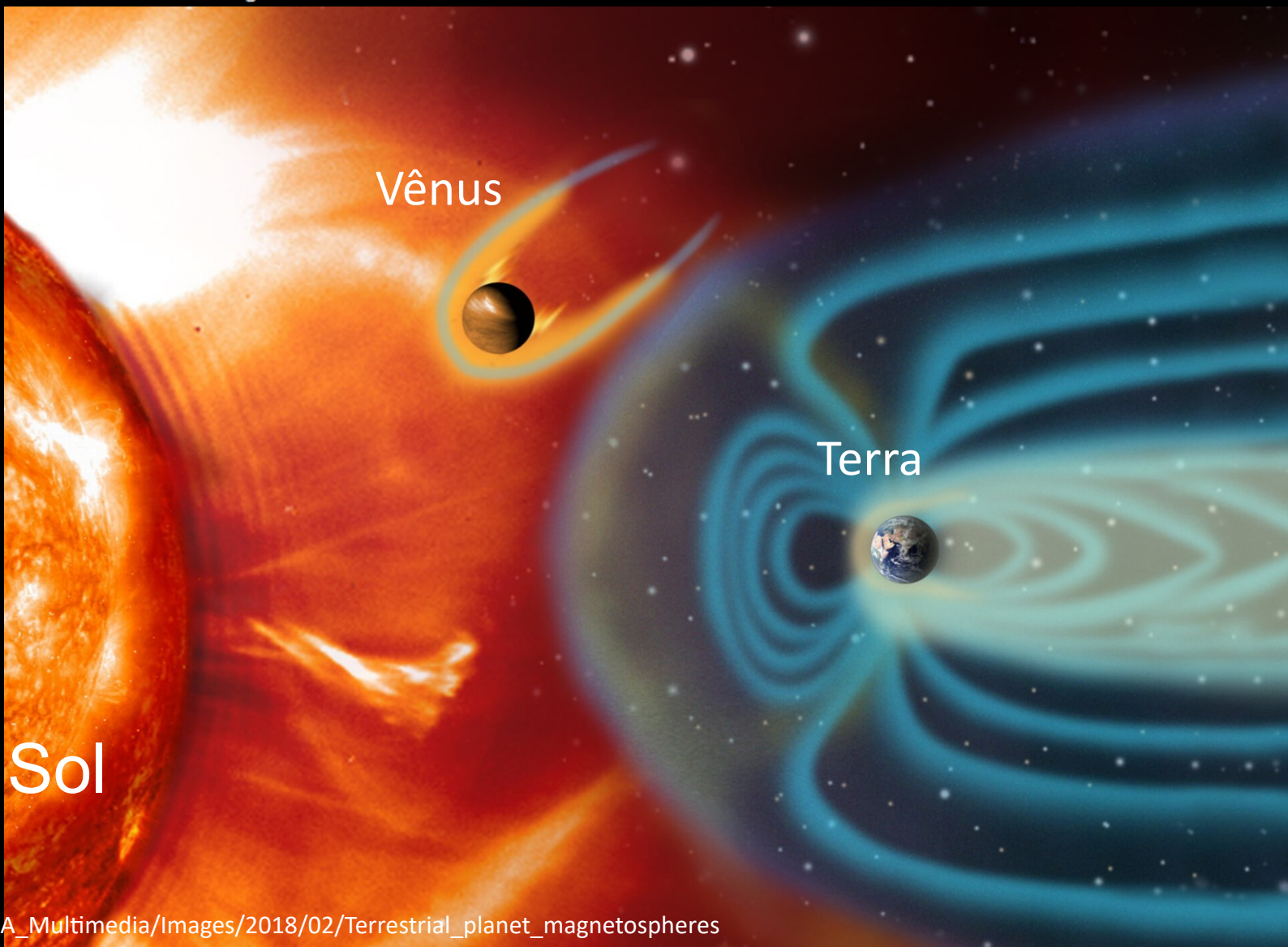


- 1) Marte é muito menor que a Terra → núcleo esfriou rapidamente (ou estratificação por materiais imiscíveis → sem convecção) → perdeu seu campo magnético global
- 2) Sem magnetosfera → vento solar varreu parte da atmosfera
- 3) Gravidade menor que na Terra → difícil reter sua atmosfera
- 4) A água ( $H_2O$ ) da atmosfera pode ter escapado para o espaço ou ficou retida em minerais

Se Vênus tem massa e raio similares ao nosso planeta, por que Vênus não tem um campo magnético como a Terra? Esse é um grande problema do Sistema Solar que ainda está sem solução.



Jorge Melendez  
@DrJorgeMelendez



# A magnetosfera é o limite da atmosfera superior ionizada do planeta, onde o campo magnético planetário domina

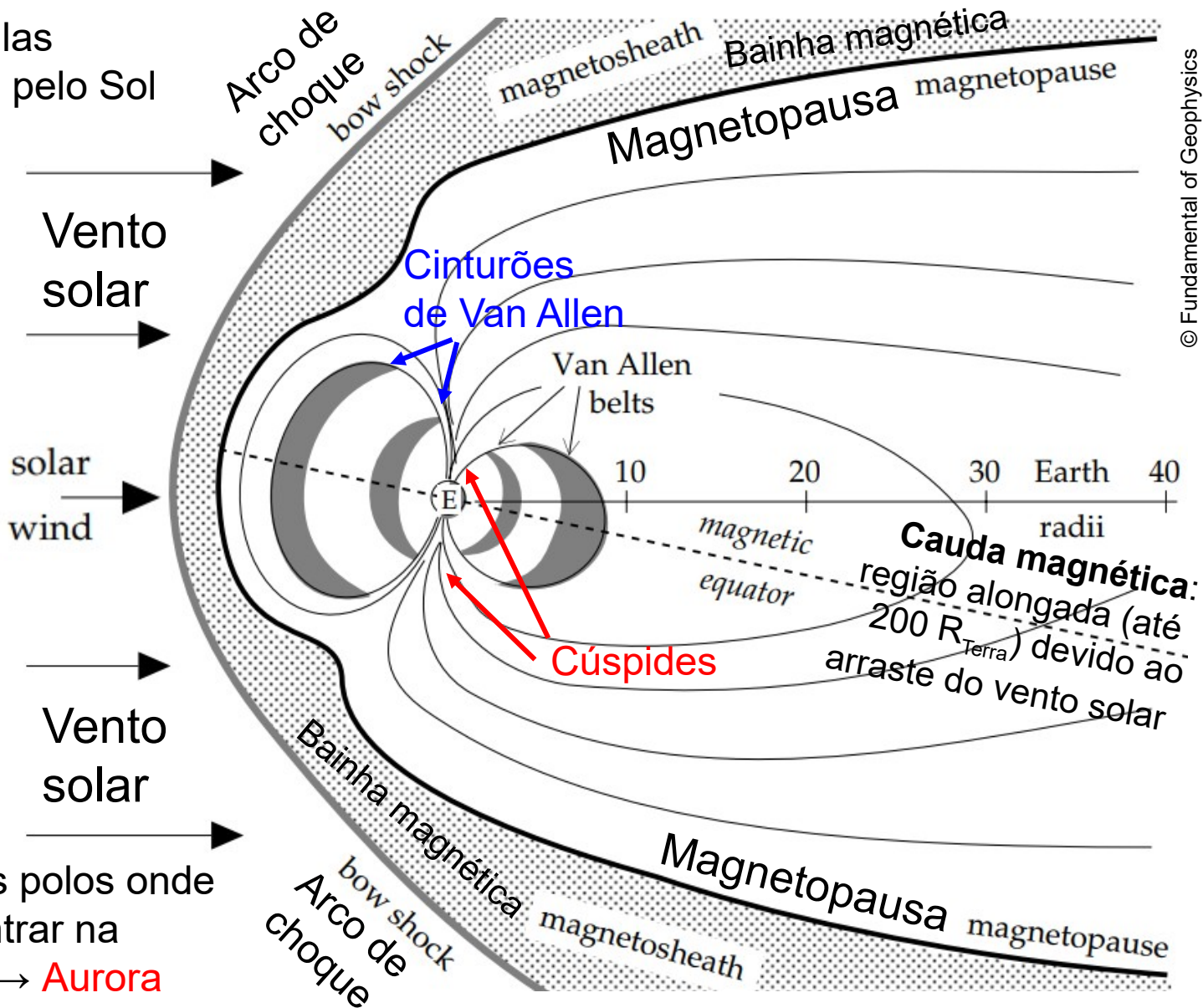
**Vento solar:** partículas carregadas emitidas pelo Sol

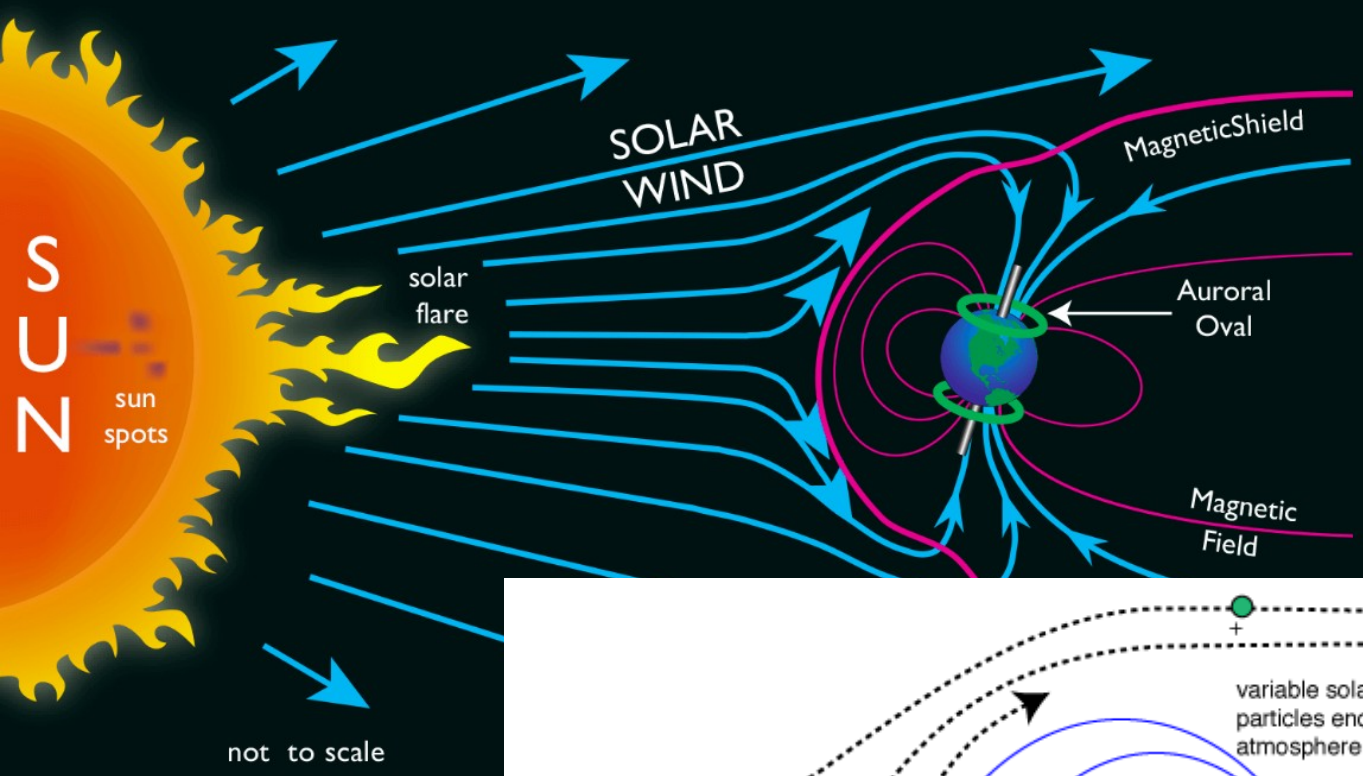
**Arco de choque:** região onde o vento solar é desacelerado

**Bainha magnética:** região turbulenta entre o arco de choque e a magnetosfera

**Magnetopausa:** região mais externa da magnetosfera

**Cúspide:** região nos polos onde partículas podem entrar na atmosfera terrestre → **Aurora**

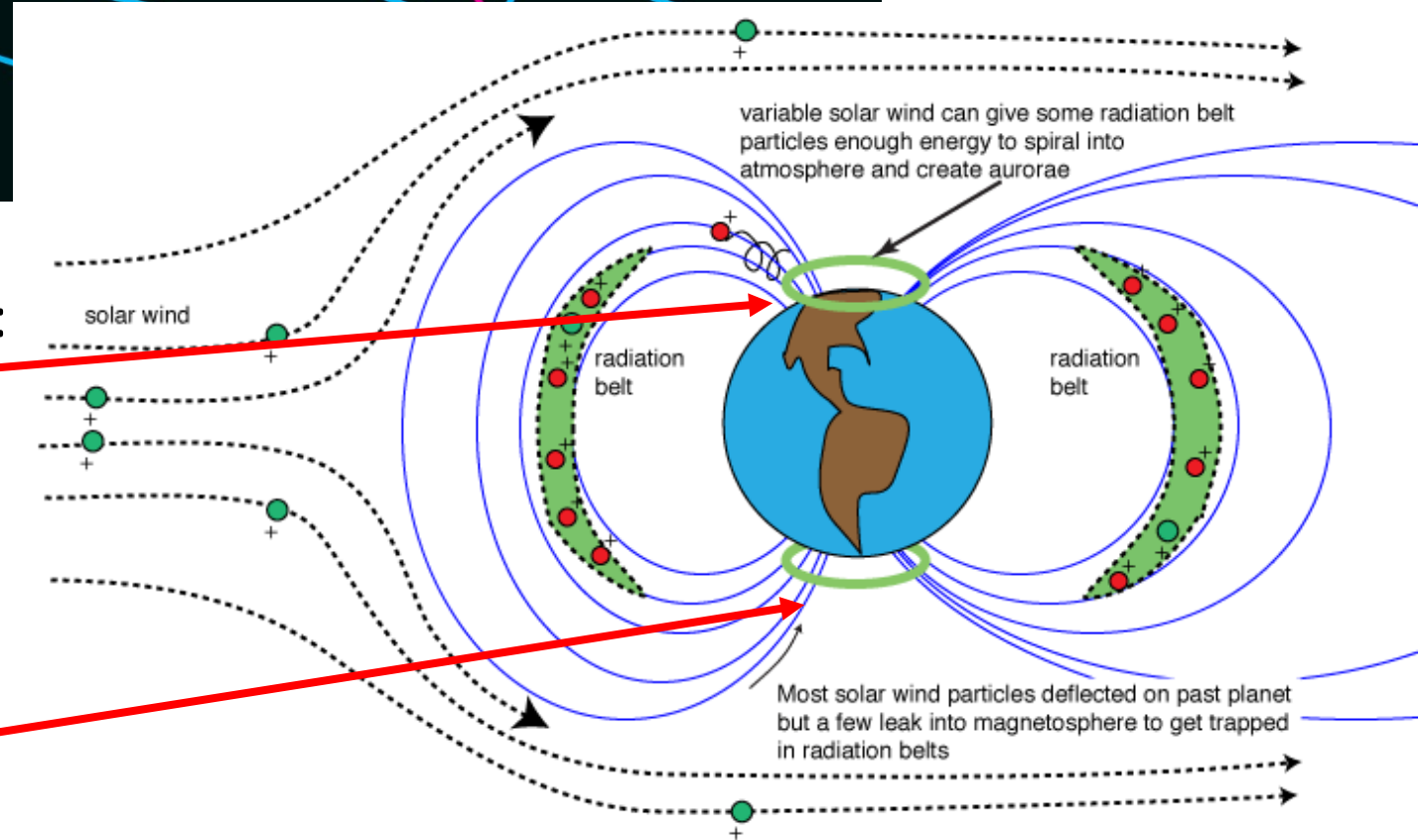


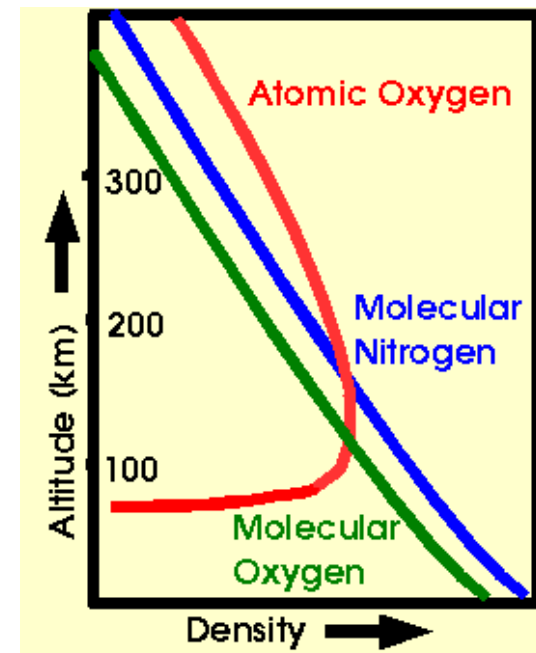
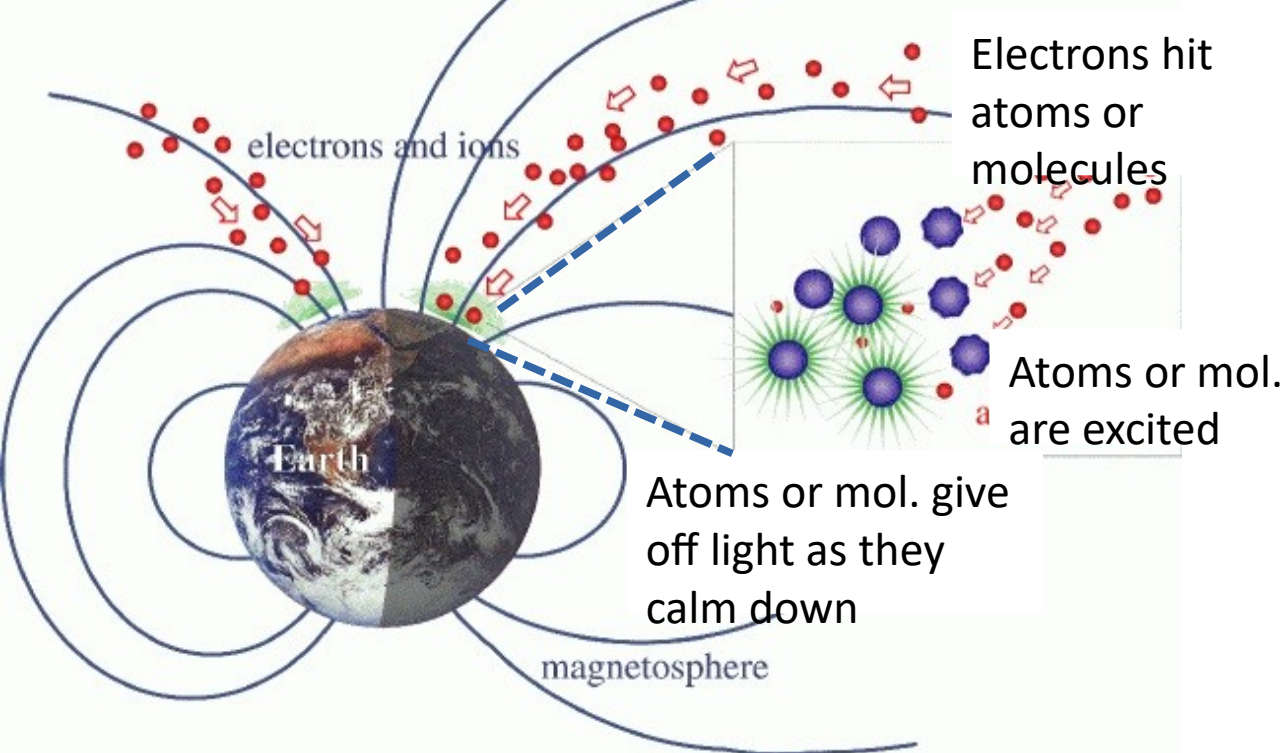


Partículas do vento solar espiralando na atmosfera superior da Terra ⇒ Auroras

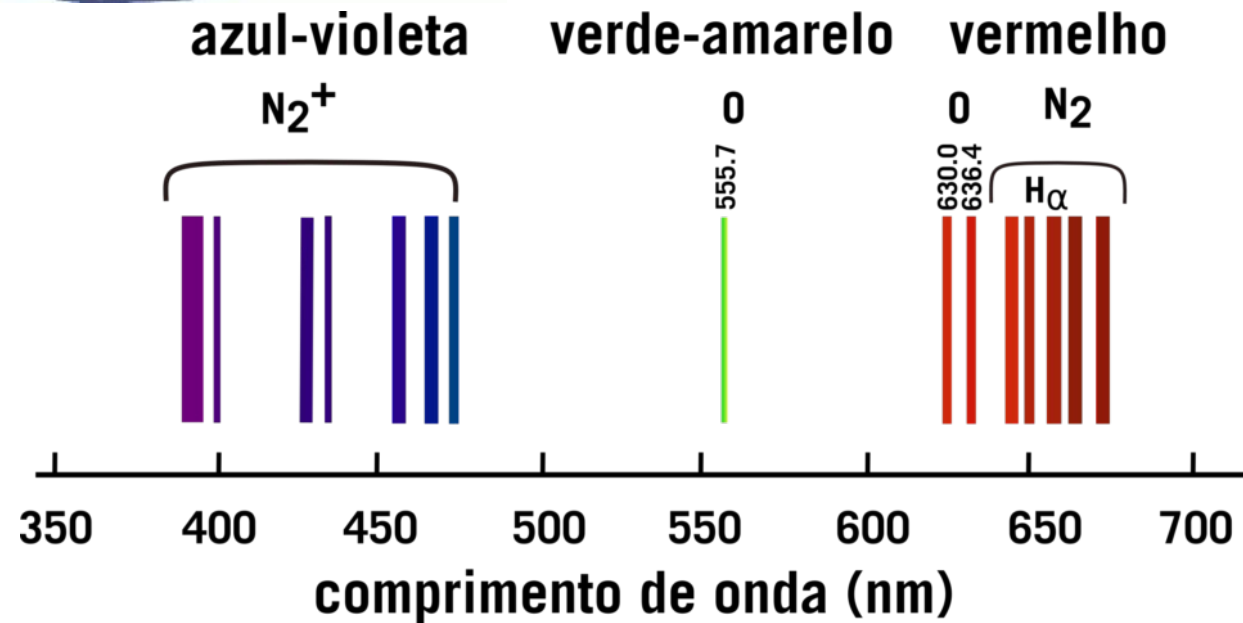
Hemisfério Norte:  
Aurora boreal

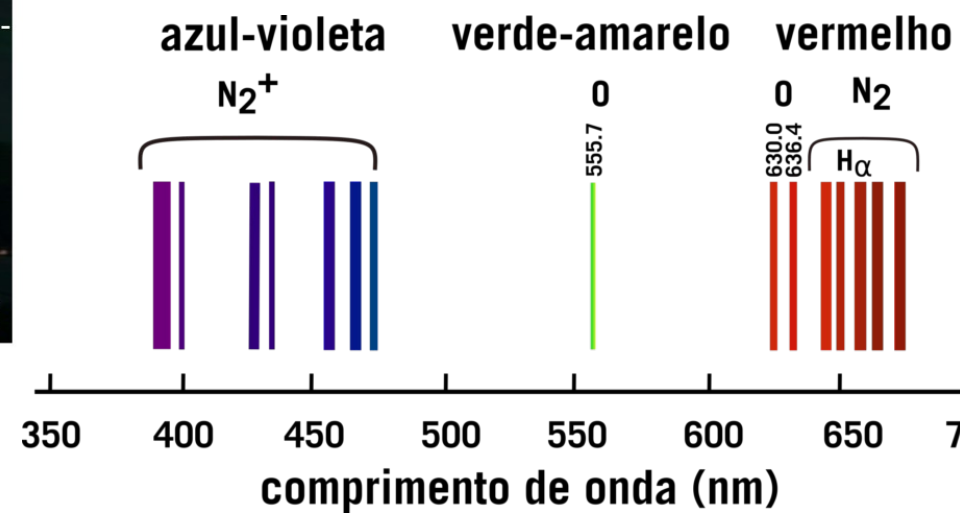
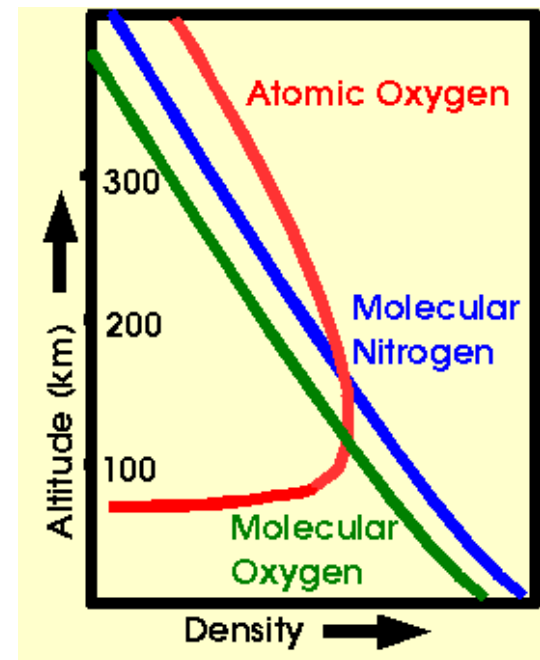
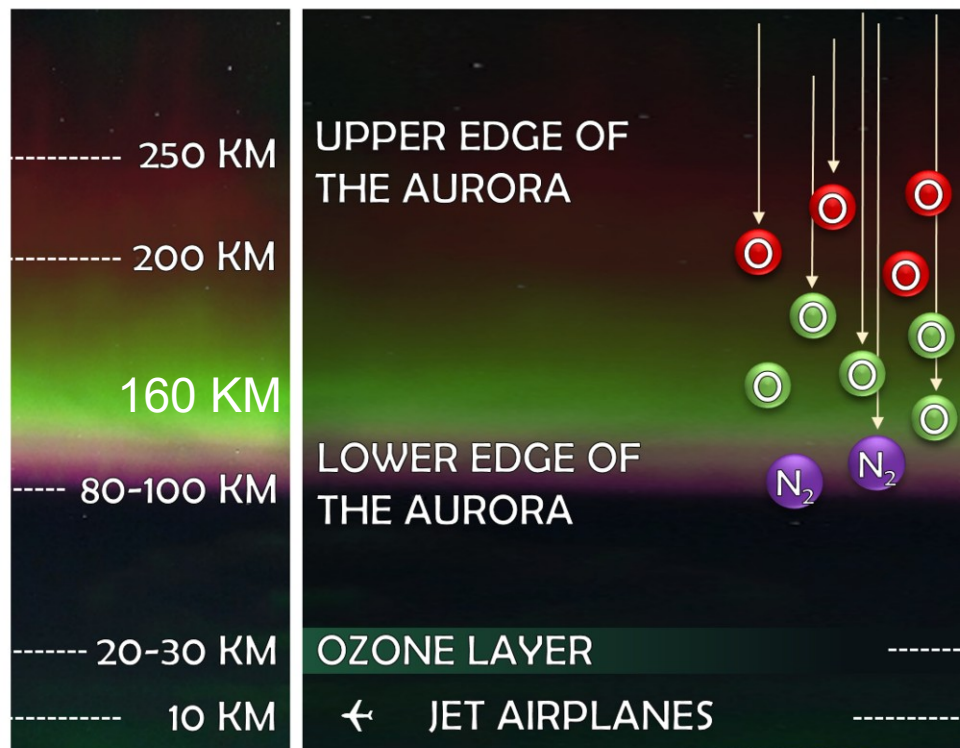
Hemisfério Sul:  
Aurora austral





Weatherby.Eth in Iceland @whereisweatherb · 31 de out de 2021  
Last night in Iceland 🌈🇮🇸





Suécia

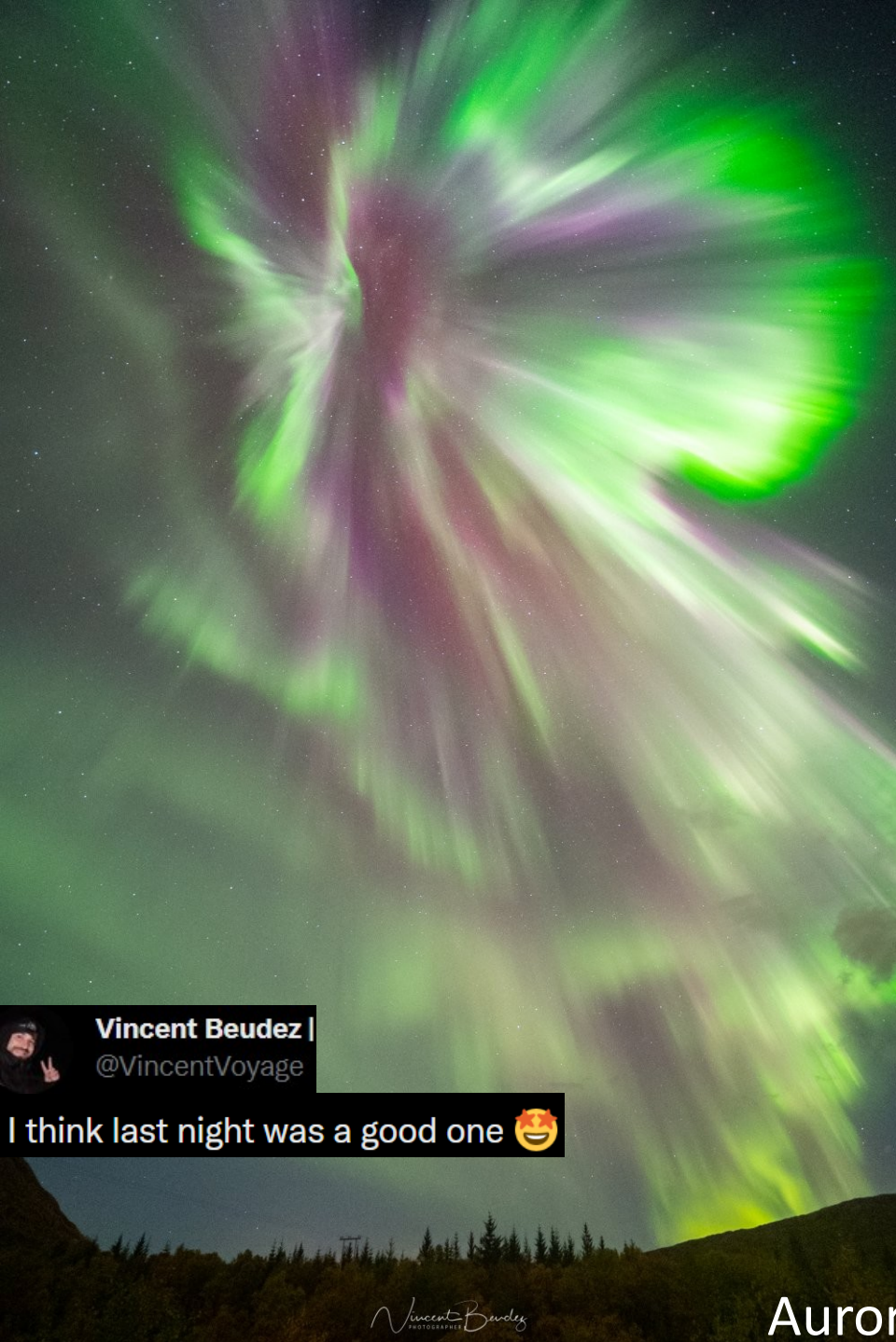


Aurora em Kiruna, 28/2/2019  
(c) Mia Stålnacke

Noruega



[www.arcticphoto.no](http://www.arcticphoto.no) 1/2012



**Vincent Beudez |**  
@VincentVoyage

I think last night was a good one 😊

Vincent Beudez  
PHOTOGRAPHIE



Nordiclightphoto @Nordiclightpho1 · 4 h

Gm 😊 oh what a Night Last Night in Northern Norway. The Aurora exploded. @NightLights\_AM @PolarNightStud1 @dartanner @Tamt

Auroras boreais, noite de 19 a 20/9/2022

# Nova Zelândia



Jack Burden, 2017

# Vídeo sobre o campo magnético terrestre

[https://www.youtube.com/watch?v=Gea4cEA5Ris&ab\\_channel=ArborScientific](https://www.youtube.com/watch?v=Gea4cEA5Ris&ab_channel=ArborScientific)



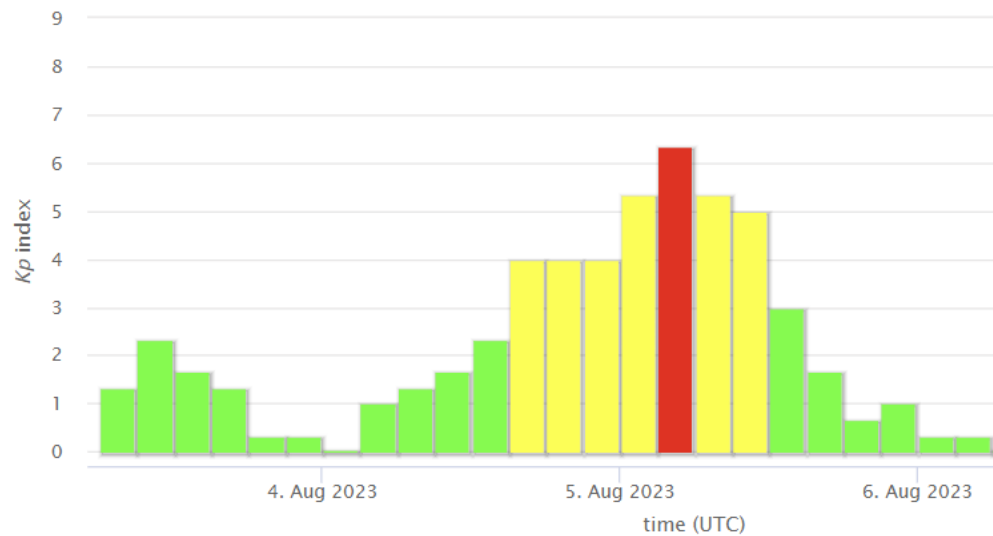
# Previsão de Auroras

<https://capturetheatlas.com/northern-lights-forecast/>

Depende principalmente do índice geomagnético Kp (índice K planetário),  $Kp > 4$

Most recent geomagnetic storm with  $K_p$  index  $> 6$

GFZ German Research Centre for Geosciences (CC BY 4.0)



<https://kp.gfz-potsdam.de/en/>

<b>KP0</b>	<b>KP1</b>
Quiet	Quiet
Very Low	Low
-	-
Faint Glow	Faint Glow
Faint Green	Faint Green
<b>KP2</b>	<b>KP3</b>
Quiet	Unsettled
Moderate	High
Very Low	Low
Glow/Arch	Small Movement
Green	Green/Possible Yellow
<b>KP4</b>	<b>KP5 (G1)</b>
Unsettled	Active
High	Very High
Low	Medium
Active Auroras and Movement	Multiple Substorms/Coronae
Green/Yellow/Pink	Green/Yellow/Purple/Blue
<b>KP6 (G2)</b>	<b>KP7 (G3)</b>
Very Active	Strong Storm
Very High	Extremely High
Medium/High	High
Multiple Substorms/Coronae	Longer Substorms
Active Green/Yellow/Purple/Blue	Active Green/Blue/Yellow/Purple
<b>KP8 (G4)</b>	<b>KP9 (G5)</b>
Strong Storm	Extreme Storm
Extremely High	Extremely High
Very High	Extremely High
Longer Substorms	Extremely Long Substorms
All the Previous + Red	All the Previous + Red

<https://www.swpc.noaa.gov/products/planetary-k-index>



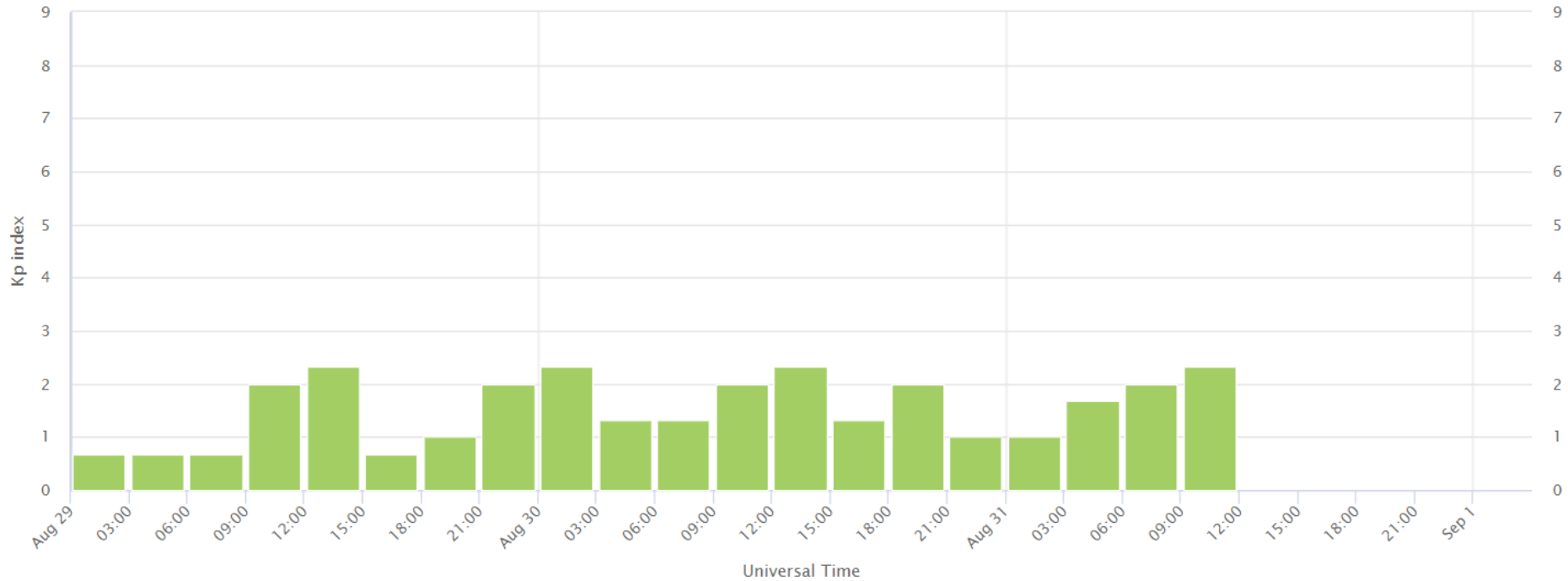
# SPACE WEATHER PREDICTION CENTER

## NATIONAL OCEANIC AND ATMOSPHERIC ADMINISTRATION

### PLANETARY K-INDEX

Estimated Planetary K index (3 hour data)

Begin: Tue, 29 Aug 2023 00:00:00 GMT



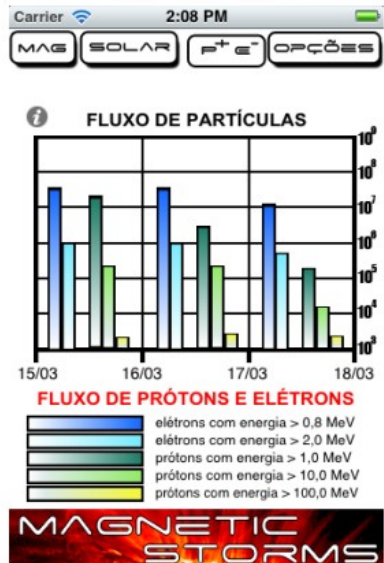
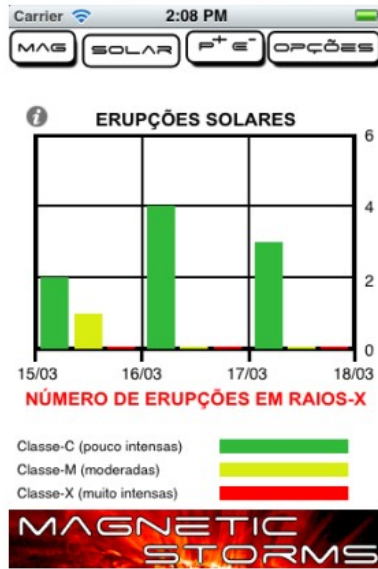
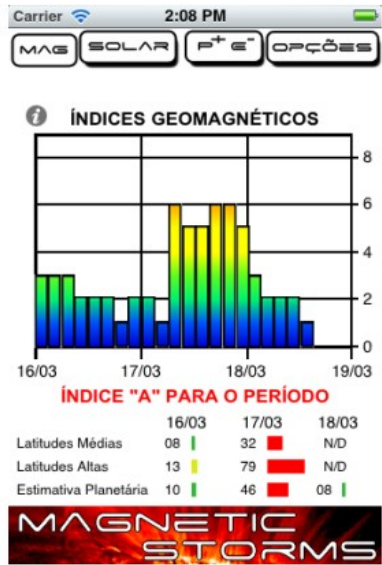
Space Weather Prediction Center

Updated Time: 2023-08-31T09:00:00.000Z

NOAA Scales Geomagnetic Storms

Kp < 5	Kp = 5 (G1)	Kp = 6 (G2)	Kp = 7 (G3)	Kp = 8, 9- (G4)	Kp = 9o (G5)
--------	-------------	-------------	-------------	-----------------	--------------

AURORA OBSERVADA NO "SAINT PATRICK'S DAY"  
 ORIGINADA PELA CHEGADA DA CME OCORRIDA EM  
 15/MAR/2013, E EFEITOS OBSERVADOS NO CAMPO  
 GEOMAGNÉTICO PELO APPLICATIVO "MAGNETIC  
 STORMS"



Entrevista de domingo: App brasileiro monitora as atividades solares

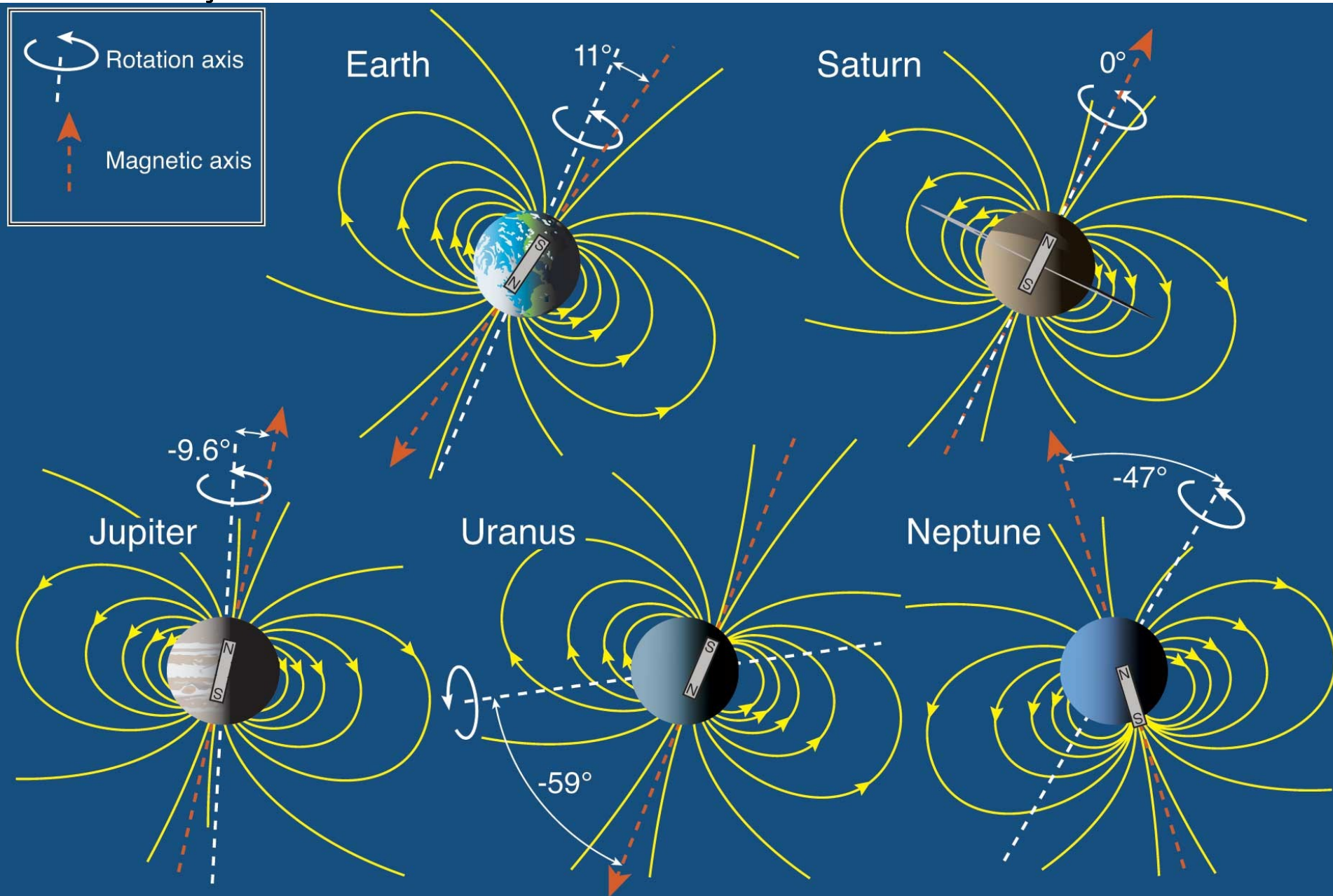


(c) Prof. Eder Molina (IAG-USP)

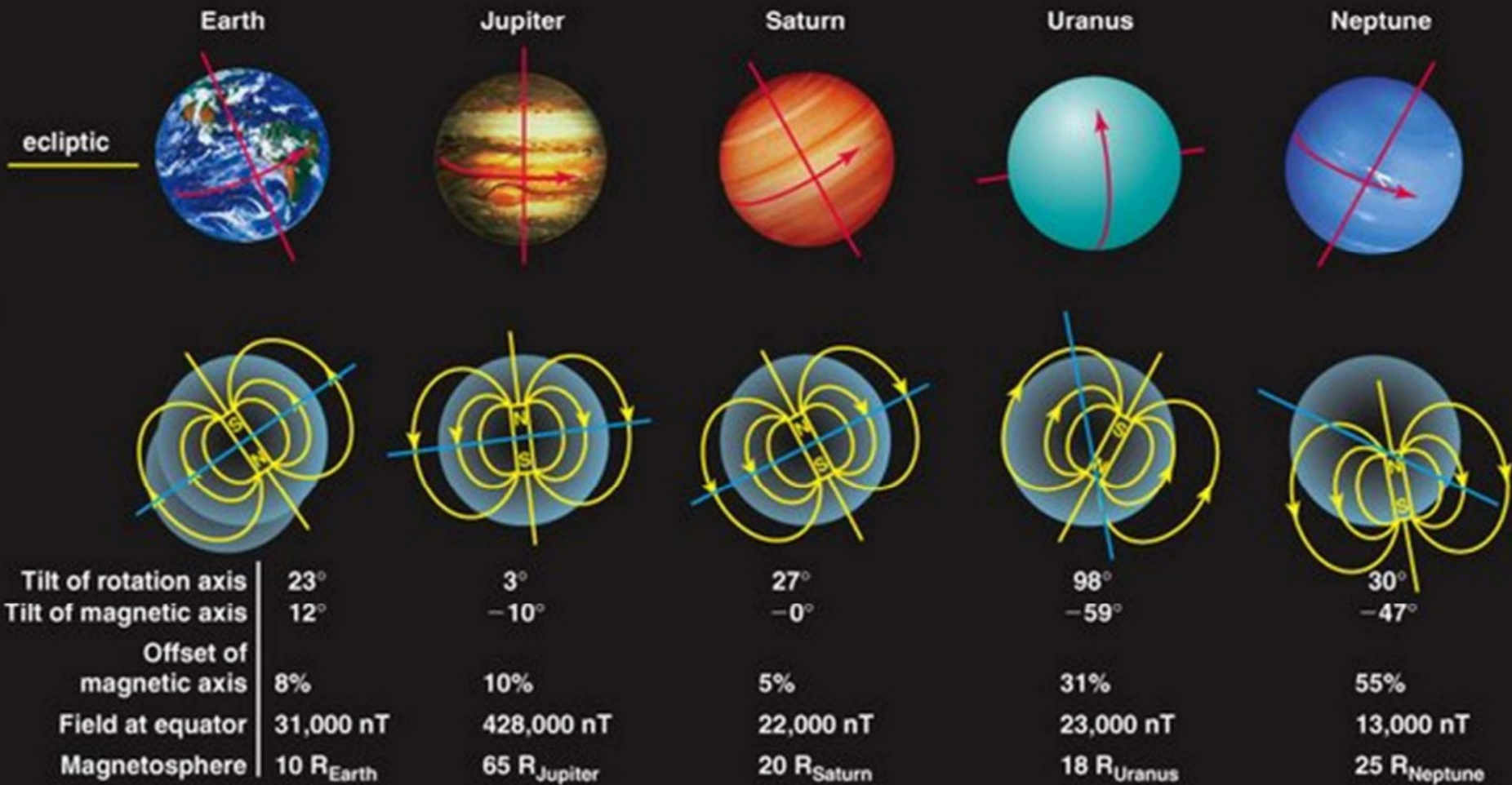


# Orientações do campo magnético da Terra e planetas gigantes, em relação ao seu eixo de rotação

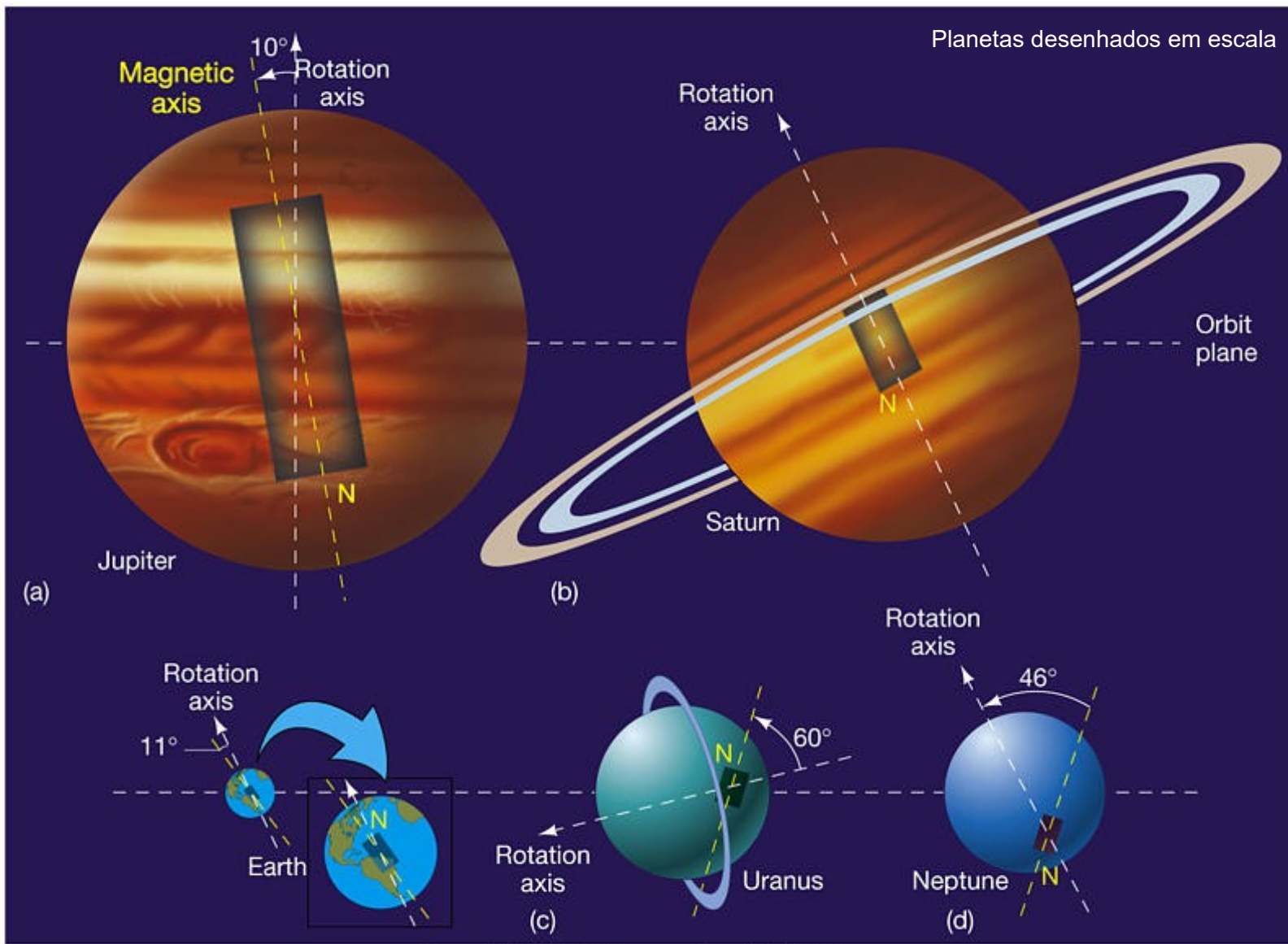
<https://lasp.colorado.edu/home/mop/resources/graphics/>



# Comparação dos campos magnéticos da Terra e planetas gigantes

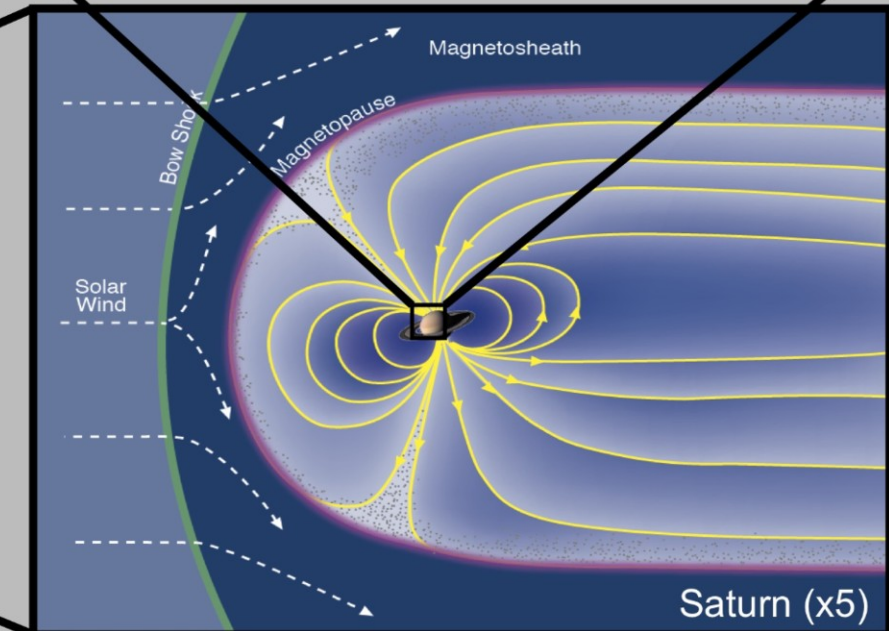
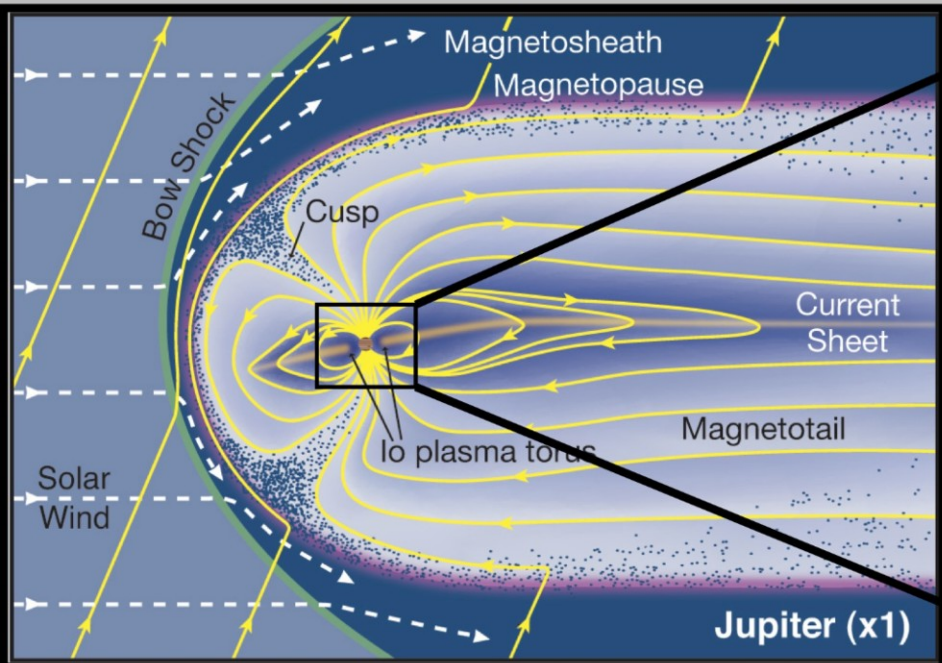
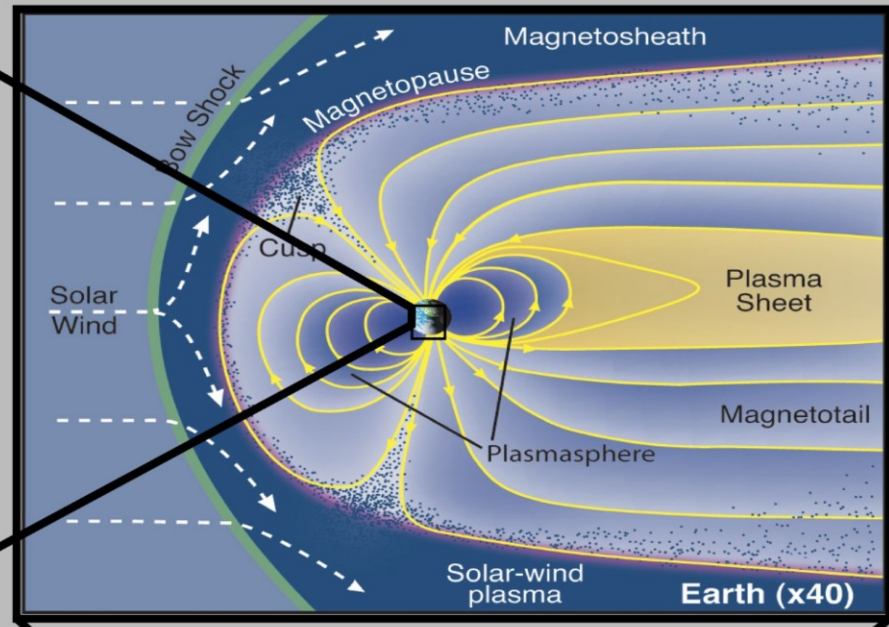
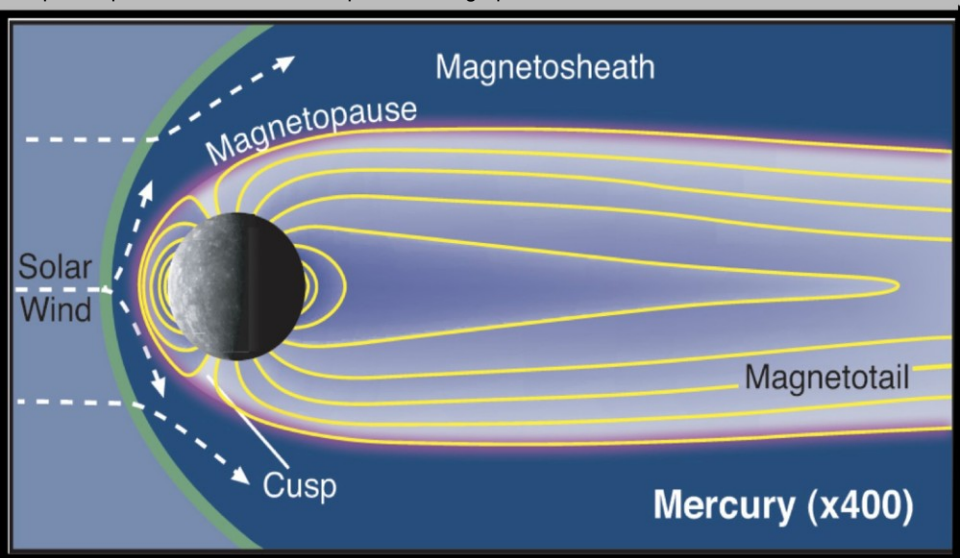


# Comparação das intensidades, orientações e deslocamentos do campo magnético da Terra e planetas gigantes



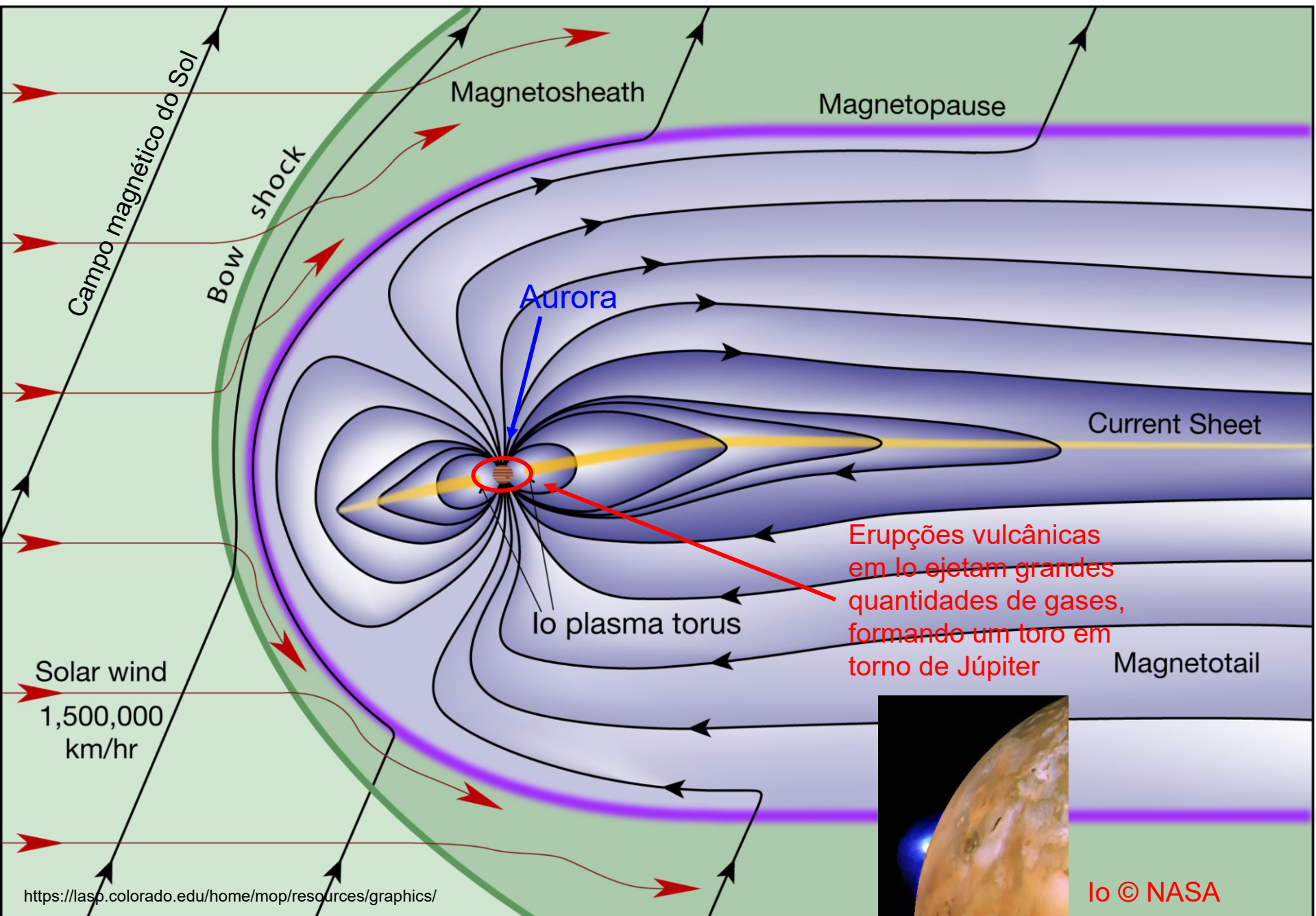
O campo magnético é representado como vindo de um imã (magneto); tamanho e localização representam a intensidade e orientação do campo.

Urano e Netuno estão significativamente deslocados do centro do planeta e significativamente inclinados em relação ao eixo de rotação do planeta.



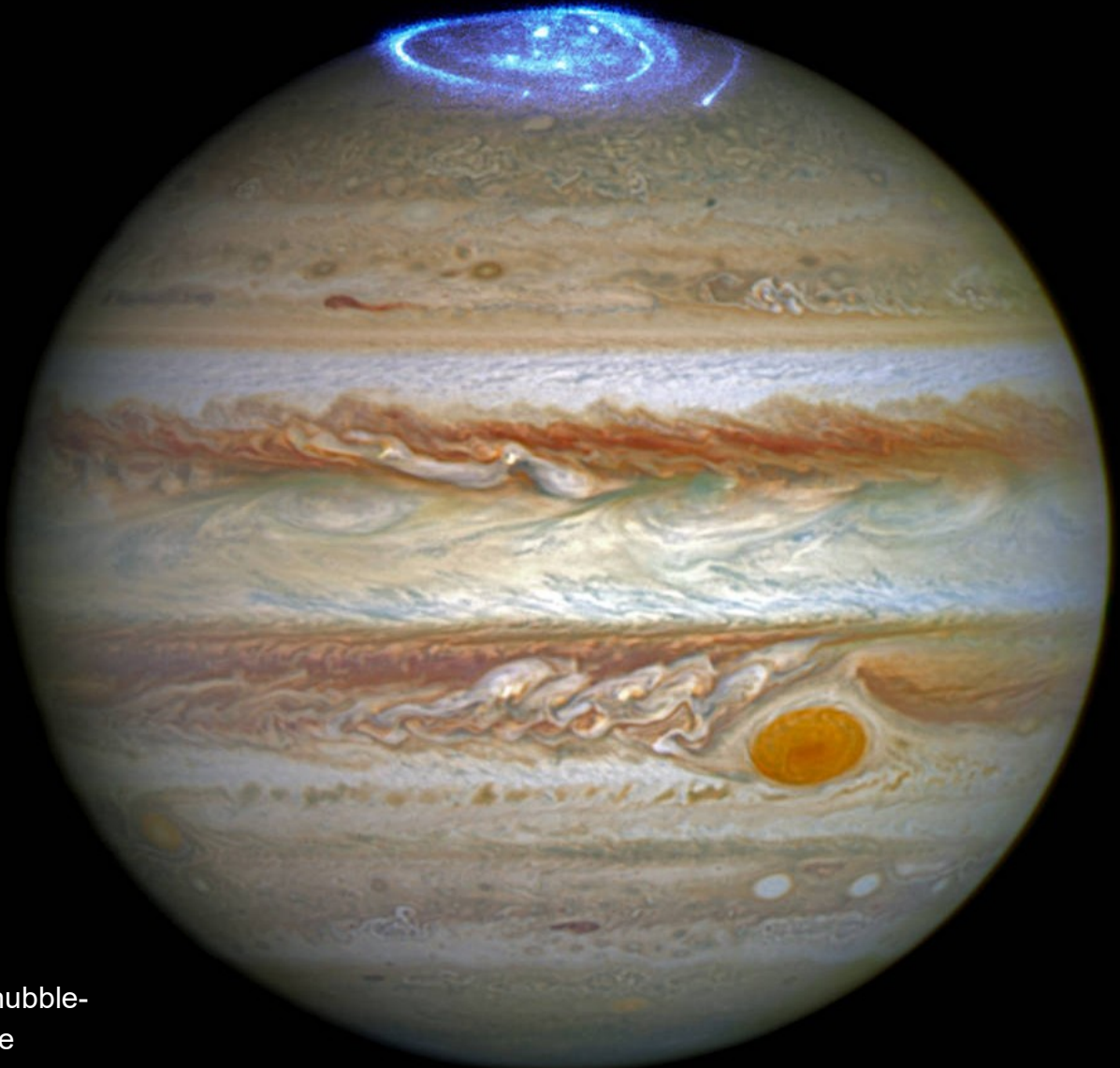
Comparação das magnetosferas de Mercúrio, Terra, Saturno e Júpiter

# Magnetosfera de Júpiter e **Toro de Plasma de Io** (lua galileana mais interna)



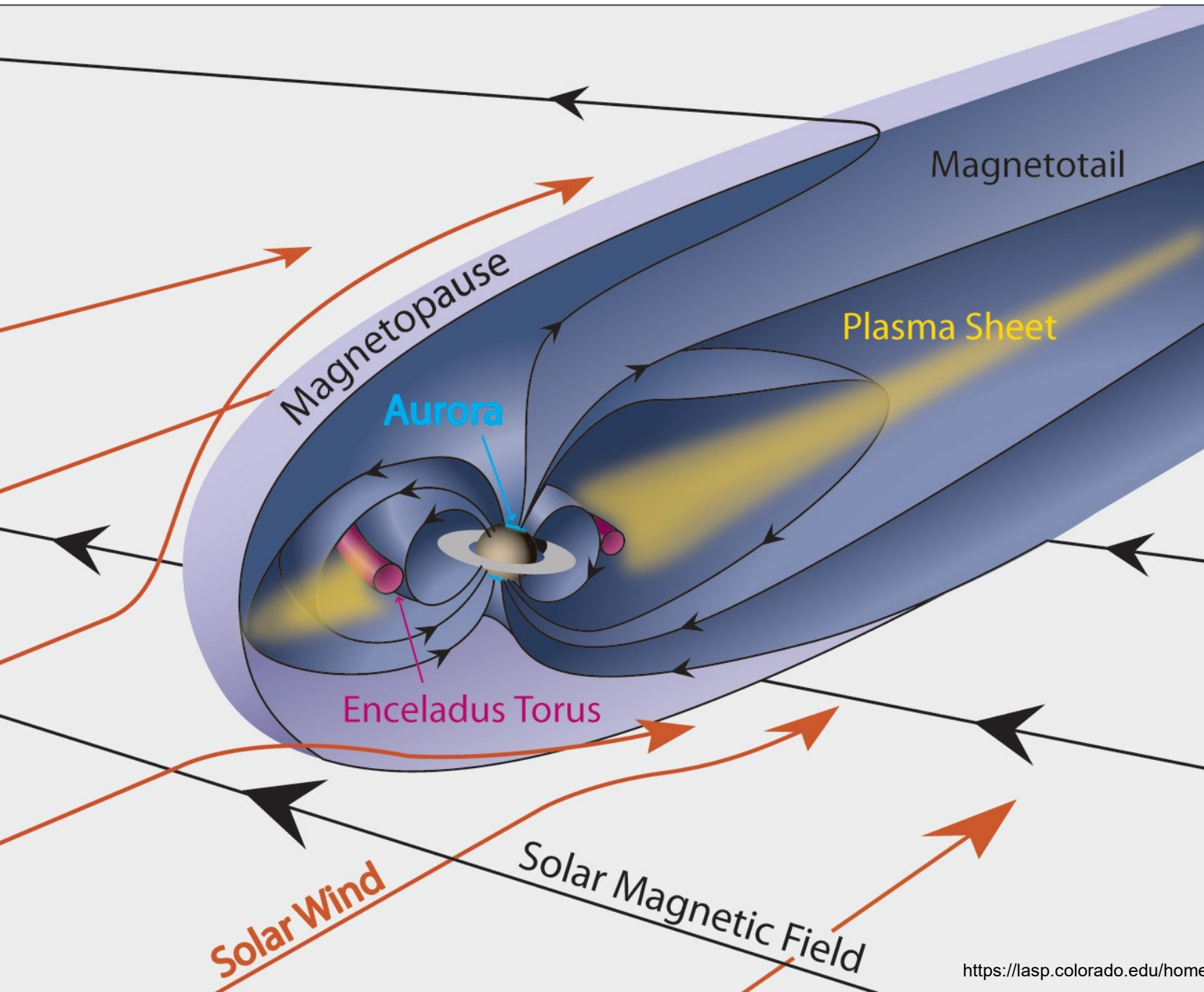
# Auroras em Júpiter

Imagen composta de duas observações do Telescópio Espacial Hubble: imagem do disco de Júpiter no visível e imagem da auroras em luz ultravioleta.



<https://www.nasa.gov/feature/goddard/2016/hubble-captures-vivid-auroras-in-jupiter-s-atmosphere>

# Magnetosfera de Saturno e Toro de Vapor de água de Encélado



Assim como na Terra, também são formadas auroras em Saturno

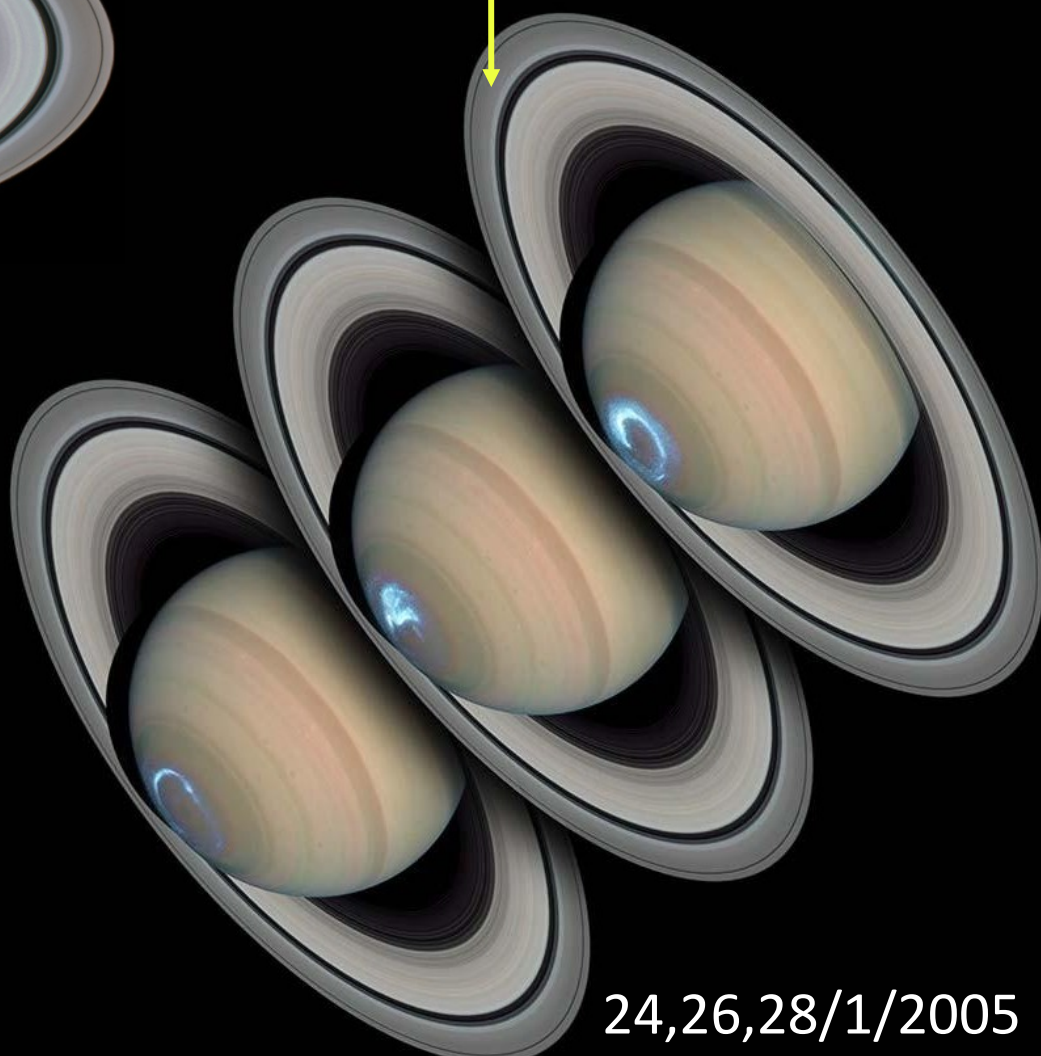
9/2017



<https://apod.nasa.gov/apod/ap180903.html>

Imagens compostas  
de duas observações  
do Telescópio  
Espacial Hubble:  
imagem do disco de  
Saturno no visível e  
imagem da auroras  
em luz ultravioleta.

Auroras no polo  
Norte e Sul de Saturno



24,26,28/1/2005

<https://www.nasa.gov/feature/goddard/2016/hubble-captures-vivid-auroras-in-jupiter-s-atmosphere>